

COMITETUL DE REDACȚIE

Redactor responsabil:

ACADEMICIAN EM. POP

Redactor responsabil adjunct:

ACADEMICIAN N. SĂLĂGEANU

Membri:

C. C. GEORGESCU, membru corespondent al Academiei R.P.R.;
 ACADEMICIAN ALICE SĂVULESCU;
 ACADEMICIAN T. BORDEIANU;
 I. POPESCU-ZELETIN, membru corespondent al Academiei R.P.R.;
 C. SANDU-VILLE, membru corespondent al Academiei R.P.R.;
 N. GIOSAN, membru corespondent al Academiei R.P.R.;
 GEORGETA FABIAN — *secretar de redacție.*

Pentru a vă asigura colecția completă și primirea la timp a revistei, renunoți abonamentul dv. pe anul 1965.

În țară, abonamentele se primesc la oficile poștale, agențiile poștale, factorii poștalii și difuzorii de presă din întreprinderi și instituții.

Comenzile de abonamente din străinătate se primesc la CARTIMEX, București, Căsuța poștală 134—135 sau la reprezentanții săi din străinătate.

Manuscisele, cărțile și revistele pentru schimb, precum și orice corespondență, se vor trimite pe adresa comitetului de redacție al revistei „Studii și cercetări de biologie — Seria botanică”.

APARE DE 6 ORI PE AN

ADRESA REDACTIEI:
 SPLAIUL INDEPENDENȚEI, NR. 206
 BUCUREȘTI

Studii și cercetări de BIOLOGIE

SERIA BOTANICĂ

TOMUL 16

1964

Nr. 6

SUMAR

	Pag.
GH. MIHAI, GH. VITĂLARU și TH. CHIFU, Contribuții la studiul florei Dobrogii	471
V. SANDA, I. R. CIOBANU și V. TUTUNARU, Cercetări floristice asupra Dealului Istrița	477
MARGARETA CSÚRÖS-KAPTÁLAN, Cercetări fitocenotice și ecologice în Valea Finăușului (r. Turda)	497
E. POP, V. SORAN, ROZALIA VINTILĂ și M. ȘTIRBAN, Cercetări statisticе privind mișcarea protoplasmei din celulele rizodermale de diferite dimensiuni	503
N. SĂLĂGEANU, Contribuții la metoda curentului de aer pentru determinarea pe teren a intensității fotosintizei	513
GEORGETA FABIAN-GALAN, Mersul intensității fotosintizei și al cantității unor substanțe din frunze în decursul zilei	521
VIORICA TĂNASE, Randamentul fotosintizei la unele plante de cultură	535
N. ANITIA, C. ILLE și MARIA VOICULESCU, Influența fosforului și azotului asupra speciei de zahăr	547
GH. BACSĂȘ, Contribuții la studiul biologic comparativ al comportării unor soiuri de bumbac	557
VERA BONTEA, Contribuții la studiul formării și dezvoltării picnidiorilor de <i>Phoma lingam</i> (Tode) Desm.	571
I. LAZĂR, Un nou agent fitopatogen pentru R.P.R., care produce ciuruirea frunzelor de prun (<i>Pseudomonas mors-prunorum</i>)	575
INDEX ALFABETIC	583

CONTRIBUȚII LA STUDIUL FLOREI DOBROGII

DE

GH. MIHAI, GH. VIȚALARU și TH. CHIFU

581(05)

In prezență nota autorii semnalează o specie nouă pentru flora R.P.R., *Astragalus haarbachii* Sprun. var. *macedonicus* Adam. Ei c tează de asemenea sase varietăți și șapte forme noi pentru flora Dobrogii, precum și cteva unități și subunități rare pentru flora Dobrogii și a țării.

Asupra florei și vegetației raionului Adamclisi situat în sud-vestul Dobrogii, s-au făcut cercetări relativ reduse. Din punct de vedere geomorfologic, acest teritoriu reprezintă o prelungire a podișului nord-est balcanic. În general, ne aflăm într-o regiune mai căldă și secetoasă; temperatura medie anuală variază între 10 și 12°C, iar precipitațiile medii anuale sunt cuprinse între 500 și 600 mm.

Podișul este fragmentat de văi adânci, întortochiate, stâncoase și în general în formă de „U”, numite canarale. Vegetația ierboasă cuprinde multe elemente mediteraneene. În acest teritoriu s-au mai păstrat trupuri izolate de păduri și tufărișuri pe sol schelet de pe peretele canaralelor, sau pe soluri superficiale de pe culmile mai înalte, în care se găsesc multe elemente central-europene.

În cercetările întreprinse de noi, s-au descoperit o serie de unități sistematice, din care o specie nouă pentru flora țării noastre, sase varietăți și șapte forme noi pentru flora Dobrogii, precum și unele unități și subunități rare sau foarte rare pentru flora Dobrogii și a țării.

Astragalus haarbachii Sprun., in Boiss. Diagn., I, II (1843), 50.
Phaca Bayeri Janka, in Verh. ZBG, Wien, VIII (1858), 431.

Specie răspândită în Peninsula Balcanică, R. S. F. Iugoslavia, Turcia, Grecia și R. P. Bulgaria (fig. 1). În aceste țări planta crește pe colinele aride din regiunile inferioare și submontane. Specia tipică nu crește la noi.

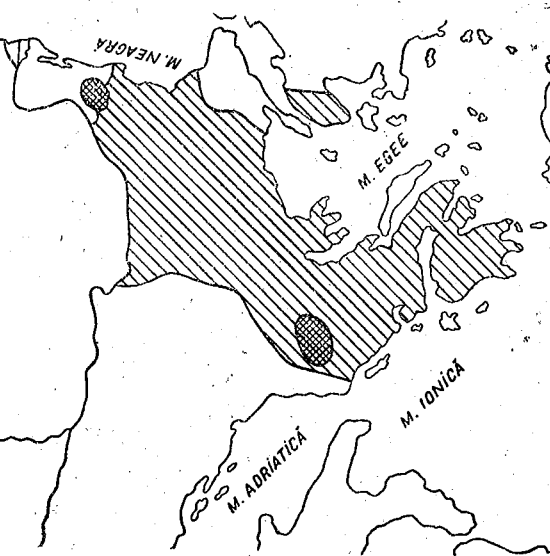


Fig. 1. — Aria de răspândire a speciei *Astragalus haarbachii* Sprun. și a var. *macedonicus* Adam.

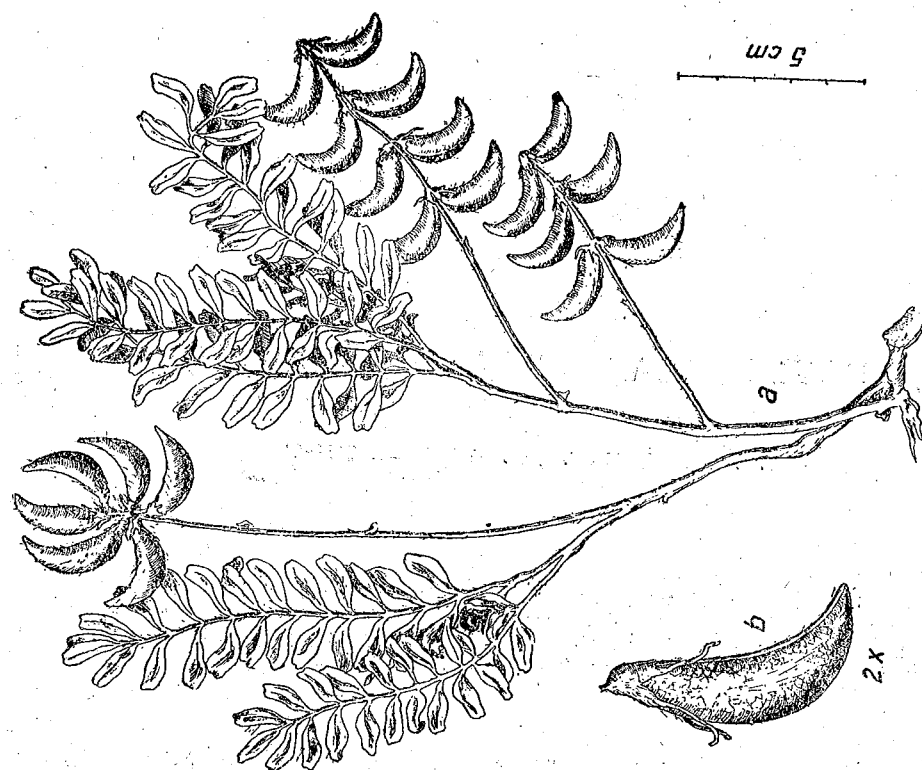


Fig. 2. — *Astragalus haarbachii* Sprun. var. *macedonicus* Adam.
a, Planta; b, păstă (original).

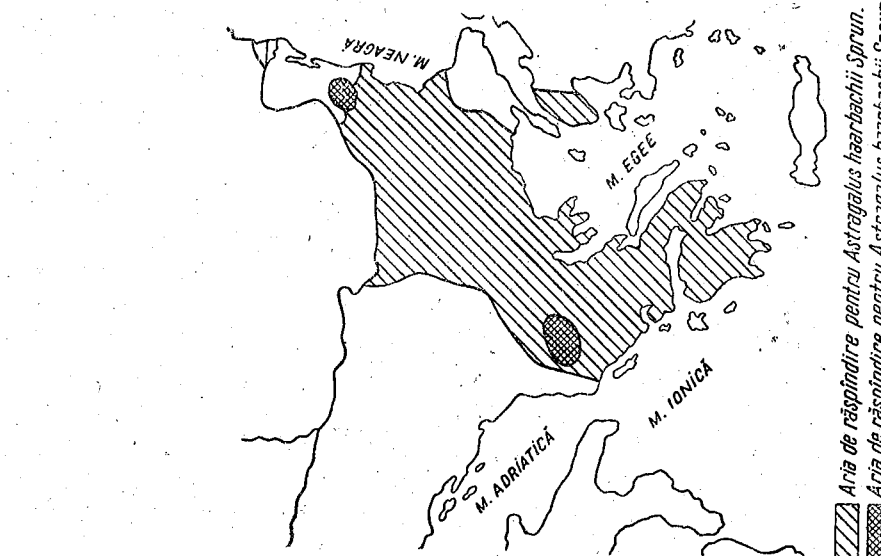


Fig. 2. — *Astragalus haarbachii* Sprun. var. *macedonicus* Adam.
a, Planta; b, păstă (original).

var. *macedonicus* Adam, in Denkschr. Akad. Wiss. Wien, LXXIV/1904, 131, tab. III, fig. 5 (fig. 2). Plantă cu frunze avînd 8–12 perechi de foliole mai mari decît la specia tipică. Menționăm că, în diagnoza varietății, planta este descrisă ca avînd 8–10 perechi de foliole.

Astragalus haarbachii Sprun. var. *macedonicus* Adam, specie nouă pentru flora R.P.R. (fig. 2), a fost găsită în punctul Dealul Morii, pădurea Canaraua Fetii, la sud-vest de satul Cărpiniș (r. Adamclisi).

Varietatea este foarte rară în Peninsula Balcanică (fig. 1), găsindu-se într-un singur loc, la Florina în Grecia de nord (Macedonia de sud), de aceea subunitatea a fost socotită ca un endemism al acestei provincii.

Prezenta plantei în Dobrogea de sud-vest face ca aria de răspîndire să fie împinsă mult spre nord, Dealul Morii din Dobrogea fiind considerat în prezent cel mai nordic punct al arealului său; totodată presupunem că subunitatea trebuie să se afle cu siguranță și în flora R. P. Bulgariei.

Planta a fost găsită într-un lăstăriș (în special de *Carpinus orientalis* și alte esențe lemnoase) cuprins într-o vegetație ierboasă abundantă.

Solul¹ de tip „cernoziom incipient levigat” nisipo-lutos pe material loessoid. Reacția slab acidă (5,8–6,4) spre neutră, structura mic grăuntoasă, pulverulentă, textura nisipo-lutoasă.

Dintre speciile lemnoase, în această stațiune s-au identificat următoarele: *Quercus cerris*, *Q. frainetto*, *Q. pubescens*, *Fraxinus ornus*, *Carpinus orientalis* (dominantă), *Padus mahaleb*, *Crataegus monogyna*, *Pirus piraster* și *Rhamnus cathartica*.

Exemplarele aflate vegeteză într-o asociație de *Andropogon ischaemum* cu *Chrysopogon gryllus*. Din relevul efectuat (27.VI.1962), rezultă că gradul de acoperire cu vegetație a stațiunii este de 80%, din care gramineele sunt în proporție de 75%, restul speciilor reprezentând 5%. Dăm mai jos fitocenoza în care s-a identificat planta:

Altitudinea 200 m
Expoziția SE
Inclinarea 15°

Gramineae

<i>Agropyrum intermedium</i>	++	<i>Koeleria gracilis</i>	1.3
<i>Andropogon ischaemum</i>	4.5	<i>Melica ciliata</i>	1.3
<i>Bromus squarrosum</i>	+1	<i>Phleum phleoides</i>	++
<i>Bromus sterilis</i>	1+	<i>Sorghum halepense</i>	++
<i>Chrysopogon gryllus</i>	2.3	<i>Stipa capillata</i>	++
<i>Eragrostis minor</i>	++	<i>Tragus racemosus</i>	++
<i>Festuca valesiaca</i> var. <i>banatica</i>	++		

¹ Analiza solului a fost făcută la laboratorul Institutului O.R.P.O.T., Iași.

Leguminoase

<i>Astragalus haarbachii</i>		<i>Trifolium arvense</i>	+1
var. <i>macedonicus</i>	++	<i>Vicia villosa</i>	++

Diverse specii

<i>Achillea coarctata</i>	++	<i>Potentilla argentea</i>	++
<i>Bupleurum rotundifolium</i>	++	<i>Potentilla hirta</i>	++
<i>Calamintha nepeta</i>	++	<i>Reseda lutea</i>	++
<i>Crucianella oxyloba</i>	1.3	<i>Salvia nemorosa</i>	++
<i>Dianthus</i> sp.	++	<i>Sedum hillebrandii</i>	++
<i>Eryngium planum</i>	++	<i>Senecio jacobaea</i>	++
<i>Euphorbia stepposa</i>	++	<i>Sherardia arvensis</i>	++
<i>Filago arvensis</i>	++	<i>Sideritis montana</i>	++
<i>Fumaria officinalis</i>	++	<i>Teucrium chamaedrys</i>	+1
<i>Gonioimon besserianum</i>	+1	<i>Teucrium polium</i>	++
<i>Helychrisum arenarium</i>	+1	<i>Thymus</i> sp.	1.1
<i>Herniaria incana</i>	+1	<i>Verbascum</i> sp.	++
<i>Linum austriacum</i>	++	<i>Veronica spicata</i>	1.1
<i>Marrubium peregrinum</i>	++		

Crucianella oxyloba Janka (*C. angustifolia* Auct. non L.), pădurea Canaraua Fetii, în locuri aride, defrișate, lîngă cariera de piatră. Specie rară pentru flora Dobrogii (5).

Oryzopsis virescens (Trin.) Beck, pădurea Canaraua Fetii, specie semnalată numai în pădurea Babadag.

Hieracium hoppeanum Schult. var. *osmanicum* (N.P.) Zahn, găsită în pădurea Făurei; subunitatea este nouă pentru flora Dobrogii.

Festuca valesiaca Schleich. var. *banatica* Degen, pădurea Canaraua Fetii; subunitatea este nouă pentru Dobrogea.

Myosotis arvensis (L.) Hill. var. *gymnosperma* Beck, pădurea Făurei, varietate nesemnalată pînă în prezent în Dobrogea.

Ranunculus arvensis L. var. *spinosus* Neirl., lîngă Băneasa pe marginea semănăturilor; subunitate citată pentru prima dată în flora Dobrogii.

Quercus cerris L. var. *austriaca*² (Willd.) Loud. f. *cycloloba* Borb.; subunitățile sunt noi pentru flora Dobrogii.

Helianthemum nummularium (L.) Mill. var. *nummularium* f. *discolor* (Rehb.) Janchen, pe marginea de sud a pădurii Făurei și prin poieni; subunitățile sunt noi pentru Dobrogea.

Potentilla argentea L. var. *dissecta* Wallr. f. *viridescens* Th. Wolf, pădurea Canaraua Fetii; microunitatea este citată pentru prima dată în Dobrogea.

² După *Monografia genului Quercus* de prof. C. C. Georgescu.

Alyssum alyssoides L. f. *depressum* (Schur) Soó, pădurea Băneasa și prin finețe. Forma este nouă pentru Dobrogea.

Carpinus orientalis Mill. f. *banatica* Karpati, pădurea Canaraua Fetii, lîngă cariera de piatră; subunitatea este semnalată numai în Banat (Băile-Herculane) (11).

Sideritis montana L.f. *bracteata* Nyár., pădurea Canaraua Fetii, prin locuri desfelenite. Forma se citează pentru prima dată în Dobrogea.

Trifolium arvense L. var. *arvense* f. *agrestinum* (Jord). Săv. et Rayss, pădurea Canaraua Fetii; microunitate necitată pînă acum în Dobrogea.

În cele ce urmează, vom prezenta cîteva din speciile rare pentru flora țării sau pentru Dobrogea, ca și o serie necitată în părțile de sud și sud-vest ale Dobrogii.

Ononis columnae All., plantă foarte rară în flora țării, se semnalizează în Dobrogea, și anume în pădurea Canaraua Fetii.

Asperula tenella Heuff., Făurei, plantă rară în țară, în Dobrogea este cunoscută numai la Măcin (11).

Veronica spicata L. var. *prodani* (Deg.) Ghișa, pădurea Canaraua Fetii; subunitate cunoscută în flora țării numai la Jurilovca (11).

— *Parietaria seibica* Panc., pădurea Canaraua Fetii, în crăpăturile stîncilor calcaroase. Plantă citată în flora țării numai din valea Dunării la Gura Turcului, iar în Dobrogea în cavernele stîncilor de la Mangalia (11).

Herniaria incana Lam. și var. *besseri* (Fisch.) Gürke, pădurea Cărpiniș și Canaraua Fetii.

Minuartia glomerata Deg., pădurile Băneasa și Canaraua Fetii. *Convolvulus cantabricus* L., pădurea Canaraua Fetii.

Knautia macedonica Gris. var. *lyrophylla* (Panc.) Szabó, Băneasa, în finăț de coastă și var. *indivisa* Vis. et Panc., pădurea Făurei.

Hypericum elegans Steph. var. *stepposum* Săv. et Rayss, pădurea Canaraua Fetii.

Heliotropium europaeum L., Băneasa pe marginea drumului și prin locuri ruderale; citată în Dobrogea numai pe litoralul maritim.

Vicia striata M. B., Băneasa pe marginea drumului, specie menționată în Dobrogea numai la Agigea.

Ruscus aculeatus L., pădurea Vilcele, cunoscută în Dobrogea numai la Niculițel.

Gonioimon besserianum (R. et Sch.) Kusn. împreună cu var. *pseudocollinum* Novak, pădurea Canaraua Fetii.

Onobrychis gracilis Bess., pădurea Canaraua Fetii.

Quercus cerris L. var. *vulgaris* Loud. f. *laciniata* Loud., pădurea Făurei.

Toate plantele critice au fost revizuite și confirmate de către acad. E. I. Nyárády. Materialul botanic privind *Astragalus haarbachii* Sprun. var. *macedonicus* Adam și *Crucianella oxyloba* Janka a fost confirmat anterior de către prof. A. I. Borza și C. Dobrescu. Tuturor le aducem și pe această cale respectuoase mulțumiri.

Pentru determinare s-a mai consultat Herbarul general al Muzeului Grădinii botanice din Cluj și Iași.

BIBLIOGRAFIE

1. ASCHERSON P.-GRAEBNER P., *Synopsis der Mitteleuropäischen Flora*, Leipzig, 1906—1910, 6.
2. BOISSIER E., *Flora orientalis*, 1872.
3. — *Flora orientalis*, Supplimentum, 1888.
4. BORZA A., *Die Exkursionsroute durch die Dobrogea und Donaudelta*, Guide VI-ème I.P.E.XI, Cluj, 1931.
5. — *Conspectus Flora Româniae Regionumque affinum*, Cluj, 1947—1949.
6. BRANDZA D., *Prodromul Florii României*, București, 1879—1883.
7. — *Flora Dobrogii*, București, 1898.
8. — An. Acad. Rom., 1884, serile II și IV, secția a II-a.
9. BURDUJA C., St. și cerc. șt., Acad. R.P.R., Filiala Iași, 1954, 5, 1—2.
10. DOBRESCU C., St. și cerc. șt. biol. și șt. agr., Acad. R.P.R., Filiala Iași, 1959, 10.
11. * * *Flora R.P.R.*, Edit. Acad. R.P.R., București, 1952—1961, 1—8.
12. GEORGESCU C. C., Rev. păd., 1928, 40, 10; 1929, 41, 2.
13. GRECESCU D., *Conspectul florei României*, București, 1898.
14. HALACSY E., *Conspectus florae graecae*, 1901—1904.
15. HAYEK A., *Prodromus florae peninsulae Balcanicae*, 1927, 1.
16. MORARIU I., B. științ. Acad. R.P.R., Secția de biologie și științe agricole (Seria botanică), 1957, 9, 4.
17. — St. și cerc. biol., Seria biol. veget., 1959, 11, 4.
18. NYÁRÁDY I. E., *Despre flora și vegetația nisipurilor litoralului nostru din Capul Midia și Costinești*, în *Omagiu lui Tr. Săvulescu*, Edit. Acad. R.P.R., București, 1959.
19. PETEESCU C., Ann. Sci. Univ. de Jassy, 1915, 9, 3, 4.
20. — Bull. Acad. Roum., 1916, 4.
21. PRODAN I., *Flora României*, Cluj, 1939, 1—2.
22. — Bul. Acad. agr., 1934, partea I, 5, 1; 1935—1936, partea a II-a, 6; 1938, partea a III-a, 7.
23. RĂVARUT M., MĂITELU D. și PASCAL P., St. și cerc. șt. biol. și șt. agr. Acad. R.P.R., Filiala Iași, 1961, 12, 1.
24. СТОЯНОВ Н. и СТЕФАНОВ Б., *Флора на България*, София, 1948.
25. TUCRA I., *Plante noi și rare pentru flora Dobrogii*, în *Comunicări de botanică*, 1957—1959, București, 1960.
26. VELENOVSKY J., *Flora Bulgarica*, 1891.

*Universitatea „Al. I. Cuza”, Iași,
Facultatea de științe naturale-geografie,
Laboratorul de sistematică plantelor.*

Primită în redacție la 16 ianuarie 1963.

(52)

CERCETĂRI FLORISTICE ASUPRA DEALULUI ISTRIȚA

DE

V. SANDA, I. R. CIOBANU și V. TUTUNARU

581(05)

Poziția geografică și condițiile pedoclimatice ale dealului determină existența unei flori spontane foarte variate. Pe baza cercetărilor efectuate în anii 1962 și 1963 se citează 368 de specii de cormofite. Versantul sud-estic este puternic stepizat și caracterizat prin prezența a numeroase specii xerofite. Versantul nordic aparține zonei forestiere și este alcătuit din gorunete, goruneto-făgete și făgete. Din analiza elementelor fitogeografice se observă că predomină cele eurasiatice (33,69%) și europene (22,11%). Elementele submediteraneene participă într-o proporție însemnată (8,42%). Formele biologice *Hemikryptophyta* (51,60%) și *Therophyta* (17,93%) reprezintă procentul cel mai mare.

Prin poziția sa geografică Dealul Istrița este așezat la granița dintre Cîmpia Română și Subcarpați, încadrindu-se în grupa dealurilor din zona de geosinclinal, ca un tip aparte, dezvoltat pe depozite neogene, cutate intens și faliate. Este alcătuit din roci calcaroase, sarmatice, care ies pe alocuri la suprafața solului, puternic erodate.

Versantul sud-estic este înclinat înspre Cîmpia Română, abrupt și puternic stepizat; el aparține subzonei antesteppei (14). Versantul nordic, mai puțin abrupt, este împădurit cu gorunete, goruneto-făgete și făgete curate, aparținând zonei forestiere (14).

Altitudinea maximă a dealului este de 754 m (3), (15).

Din punct de vedere climatic, Dealul Istrița este situat la întrețierea a două provincii climatice (după sistemul Köppen). Partea sud-estică a dealului se încadrează în regiunea climatică D f a x, caracterizată prin luna cea mai căldă cu peste 22°C, iar partea nordică se încadrează în provincia climatică D f k, cu temperatură lunii celei mai calde sub 18°C (14).

Temperatura medie anuală este de 10,6°C cu amplitudinea de 25,0. Temperaturile medii lunare anuale calculate între anii 1896 și 1955 au

înregistrat un maximum în iulie ($22,5^{\circ}\text{C}$) și un minimum în ianuarie ($-2,5^{\circ}\text{C}$) (15).

Precipitațiile atmosferice înregistrate pe versantul sud-estic al Dealului Istrița sunt sub 500 mm anual, ajungând însă pe versantul nordic la 600 mm anual.

Tabelul nr. 1
Repartiția speciilor pe familii

Nr. crt.	Familia	Nr. speciilor	Nr. crt.	Familia	Nr. speciilor
1	Aceraceae	4	36	Liliaceae	11
2	Alismataceae	1	37	Linaceae	1
3	Anacardiaceae	1	38	Loranthaceae	1
4	Apocynaceae	1	39	Lythraceae	1
5	Araliaceae	1	40	Malvaceae	3
6	Aristolochiaceae	1	41	Oleaceae	3
7	Asclepiadaceae	1	42	Onagraceae	3
8	Berberidaceae	1	43	Orchidaceae	4
9	Betulaceae	3	44	Papaveraceae	2
10	Boraginaceae	9	45	Plantaginaceae	1
11	Campanulaceae	6	46	Pিrolaceae	1
12	Caprifoliaceae	3	47	Polygonaceae	3
13	Caryophyllaceae	12	48	Polygonaceae	5
14	Celastraceae	1	49	Polygalaceae	2
15	Chenopodiaceae	2	50	Primulaceae	3
16	Compositae	30	51	Ranunculaceae	13
17	Convolvulaceae	3	52	Resedaceae	1
18	Cornaceae	2	53	Rhamnaceae	1
19	Crassulaceae	1	54	Rosaceae	17
20	Cruciferae	13	55	Rubiaceae	12
21	Cuscutaceae	1	56	Salicaceae	3
22	Cyperaceae	18	57	Santalaceae	1
23	Dipsacaceae	3	58	Serrulariaceae	18
24	Dioscoreaceae	1	59	Simarubaceae	1
25	Eleagnaceae	1	60	Solanaceae	4
26	Euphorbiaceae	9	61	Sparganiaceae	1
27	Equisetaceae	5	62	Staphyleaceae	1
28	Fagaceae	7	63	Tiliaceae	2
29	Genianaceae	3	64	Typhaceae	1
30	Geraniaceae	2	65	Ulmaceae	1
31	Gramineae	25	66	Umbelliferae	10
32	Hypericaceae	2	67	Urticaceae	1
33	Juncaceae	4	68	Valerianaceae	1
34	Labiate	26	69	Verbenaceae	1
35	Leguminosae	30	70	Violaceae	1
TOTAL =					368

Printre primii cercetători care au studiat flora și vegetația regiunii Buzău, se numără I. Șerbănescu (10), (11), (12), (13).

Într-o lucrare recentă, I. Șerbănescu și colaboratorii (14) fac considerații fitogeografice asupra teritoriului subcarpatic cuprins între râurile Dâmbovița și Șușita, incluzând și Dealul Istrița, asupra căruia dau unele date de climă, sol, floră și vegetație.

S. Pașcovschi într-o lucrare publicată în 1935 (8) dă aria de răspândire a 66 de specii lemnoase din regiunea Nișcov, dintre care 13 pentru Dealul Istrița.

I. Morariu (7) publică în 1941 pe *Cypripedium calceolus* L. din locul zis „Calul alb”, dind indicații asupra elementelor floristice ale locului.

C. Dobrescu (3) efectuează studii amănunțite asupra regiunii Nișcov, citind un număr de 386 de specii. Autorul dă indicații asupra florei versantului sud-estic al Dealului Istrița, caracterizând-o ca „săracă în specii și indivizi cu semne evidente de o dezvoltare în condiții neprielnice” (p. 377). Majoritatea plantelor sunt recoltate de pe dealurile învecinate: Ciuhoiul, Vlădimir, Plaiul Sărății etc., citind numai pe *Asperula odorata* L. *Ceratocephalus orthoceras* DC. și *Euphorbia cyparissias* L. de pe Dealul Istrița.

Flora Republicii Populare Române (2) menționează un număr de 36 de plante pentru Dealul Istrița.

Lucrarea de față cuprinde rezultatele cercetărilor efectuate în cursul anilor 1962 și 1963 asupra florei spontane a Dealului Istrița de pe versantul sud-sud-estic în dreptul comunei Pietroasele, cuprins între satele Ochiul-Boului și Istrița, iar de pe versantul nordic pînă la comuna Valea-Rea.

Materialul recoltat cuprinde 368 de specii, aparținind la 70 de familii (tabelul nr. 1).

Listă speciilor

Fam. Aceraceae DC.

Acer campestre L. — M¹, E; *A. tataricum* L. — M, Ct; *A. platanoides* L. — MM, E;

A. pseudoplatanus L. — MM, E.

Fam. Alismataceae R. Br.

Alisma plantago L. — HH, Cs.

Fam. Anacardiaceae Juss.

Cotinus coggygria Scop. — M, P-M.

Fam. Apocynaceae R. Br.

Vinca herbacea W. et K. — H, P.

Fam. Araliaceae Juss.

Hedera helix L. — E, At.

Fam. Aristolochiaceae Lindl.

Aristolochia clematitis L. — H, Sm.

Fam. Asclepiadaceae Jacq.

Cynanchum vincetoxicum (L.) Pers. — H, Ea.

Fam. Berberidaceae Vent.

Berberis vulgaris L. — M, E.

Fam. Betulaceae Rich.

Carpinus betulus L. — MM, E; *Betula verrucosa* Ehrh. — MM, Ea; *Corylus avellana* L. — M, E.

¹ Semnificația prescurtărilor identică cu cea din tabelul nr. 3.

Fam. Boraginaceae Desv.

Rochebia disperma (L. f.) K. Koch — Th, Ea; *Cerinthe minor* L. — H, P—M; *Lithospermum purpureo-caeruleum* L. — H, Sm; *L. officinale* L. — H, Ea; *L. arvense* L. — Th, Ea; *Asperugo procumbens* L. — Th, Ea; *Pulmonaria officinalis* L. — H, E; *Nonea pulla* (L.) Th, P; *Echium vulgare* L. — Th, Ea.

Fam. Campanulaceae Juss.

Campanula sibirica L. — H, Ct; *C. bononiensis* L. — H, Ea; *C. cervicaria* L. — H, Eb; *C. persicifolia* L. f. *dasyarpa* Kit. — H, Ea; *C. trachelium* L. f. *dasyarpa* W. et K. — H, E; *C. rapunculoides* L. — H, E.

Fam. Caprifoliaceae Juss.

Viburnum lantana L. — M, Sm; *Sambucus ebulus* L. — H, Sm; *S. nigra* L. — MM, E.

Fam. Caryophyllaceae Juss.

Behen vulgaris Mnch. — H, Ea; *Stellaria holostea* L. — H, Ea; *S. media* (L.) Cyr. — Th, Cs; *S. aquatica* (L.) Scop. — Th, Ea; *Herniaria incana* Lam. — H, Ea; *Lychnis flos-cuculi* L. — H, Ea; *Moehringia trinervia* (L.) Clairv. — Th, Ea; *Dianthus rehmannii* Blocki — H, B(I); *Arenaria serpyllifolia* L. f. *scabra* (Tenzl.) — Th, Cp; *Scleranthus annuus* L. — Th, E; *Silene chlorantha* (Willd.) Ehrh. — H, Ct; *Minuartia fasciculata* (L.) Hiern. — Th, E.

Fam. Celastraceae R. Br.

Evonymus verrucosa Scop. — M, E.

Fam. Chenopodiaceae Vent.

Chenopodium album L. — Th, Cs; *C. polyspermum* L. — Th, Ea.

Fam. Compositae Adans

Senecio vulgaris L. — Th, Cs; *S. jacobaea* L. — H, Ea; *Chrysanthemum leucanthemum* L. — H, Ea; *C. corymbosum* L. — H, Ct; *Taraxacum officinale* Web. — H, Ea; *T. xerotinum* (W. et K.) Poir — H, P; *Tussilago farfara* L. — G, Ea; *Jurinea mollis* (L.) Reichb. — H, B(I); *Hieracium pratense* Tausch. — H, Ct; *H. bauhini* Schult. — H, Ct; *H. umbellatum* L. — H, Cp; *Artemisia austriaca* Jacq. — H, Ea; *A. absinthium* L. — H, Ea; *Tragopogon pratensis* L. — TH, Ea; *Xanthium spinosum* L. — Th, Adv; *Xeranthemum annuum* L. — Th, P—M; *Carthamus lanatus* L. — H, P—M; *Solidago virga-aurea* L. — H, Cp; *Centaurea calcitrapa* L. — Th, At.; *C. micrantha* Gmel. — Th, P; *C. rhenana* Bor. — Th, E; *C. orientalis* L. — Adv.; *C. solstitialis* L. — Th, Ea; *C. spinulosa* Roch. — H, Pn — B; *Mycelis muralis* (L.) Rehb. — H, E; *Inula britannica* L. — H, Ea; *Aster amellus* L. — H, Ct; *Achillea setacea* W. et K. — H, Ct; *Lactuca saligna* L. — Th, Sm; *Cichorium intybus* L. — H, Ea.

Fam. Convolvulaceae Juss.

Convolvulus arvensis L. — H, Cs; *C. cantabricus* L. — H, Sm; *Calystegia silvatica* (W. et K.) Choisy. — H, Sm;

Fam. Cornaceae DC.

Cornus mas L. — M, Sm; *C. sanguinea* L. — M, Sm.

Fam. Crassulaceae DC.

Sedum acre L. — Ch, Ea.

Fam. Cruciferae Juss.

Lepidium perfoliatum L. — Th, Ct; *L. draba* L. — Th, Ea; *L. campestre* (L.) R. Br. — Th, E; *Sisymbrium sophia* L. — Th, Ea; *Calepina irregularis* (Asso) Thell. — Th, Sm; *Arabis hirsuta* (L.) Scop. — Th, Cp; *Alyssum alyssoides* L. — Th, Ct; *A. desertorum* Stapf. — Th, Ct; *Erysimum pannonicum* Cr. — H, P; *E. diffusum* Ehrh. — Th, Ct; *Dentaria bul-*

bifera, L. — H, E; *Rorippa austriaca* (Cr.) Bess. — H, P; *Gapsella bursa-pastoris* (L.) Medic. — Th, Cs.

Fam. Cuscuteaceae Dumort.

Cuscuta trifoliae Babington (pe *Dorycnium herbaceum* Vill.) — Th, Ea.

Fam. Cyperaceae Juss.

Carex montana L. — H, Ct; *C. remota* L. — H, Ea; *C. praecox* Schreb. — G, E; *C. flacca* Schreb. — G, E; *C. vulpina* L. — H, Ea; *C. contigua* Hoppe — H, Ea; *C. leporina* L. — H, Cp; *C. pallescens* L. — H, Cp; *C. tomentosa* L. — H, E; *C. pseudocyperus* L. — HH, Cp; *C. pendula* Huds. — H, At; *C. gracilis* Curt. — HH, Ea; *C. divulsa* Good. — H, E; *C. silvatica* Huds. — H, Ea; *C. hirta* L. — G, E; *C. pairaei* F. Schulz. var. *leersii* Fr. Schulz — H, Ea; *Heleocharis palustris* (L.) R. Br. — G, Ea; *Scirpus sylvaticus* L. — G, Cp.

Fam. Dipsacaceae Juss.

Dipsacus laciniatus L. — Th, E; *Knautia arvensis* Coult. — H, E; *Scabiosa ochroleuca* L. — H, Ea.

Fam. Dioscoreaceae R. Br.

Tamus communis L. — G, At.

Fam. Eleagnaceae R. Br.

Hippophaë rhamnoides L. — M, Ea.

Fam. Euphorbiaceae Juss.

Euphorbia helioscopia L. — Th, Ea; *E. agraria* M. B. — H, P; *E. stepposa* Zoz. — H, E; *E. cyparissias* L. — H, Ea; *E. polychroma* Kerner — H, E; *E. amygdaloidea* L. — Ch, E; *E. stricta* L. — Th, E; *Mercurialis perennis* L. — H, E; *M. ovata* Sternb. — H, E.

Fam. Equisetaceae DC.

Equisetum maximum Lam. — G, Cp; *E. arvense* L. — G, Cs; *E. hiemale* L. — G, Cp; *E. palustre* L. — G, Cp; *E. ramosissimum* Desf. — G, Cs.

Fam. Fagaceae Engl.

Fagus sylvatica L. — MM, E; *Quercus robur* L. — MM, E; *Q. petraea* (Matt.) Liebl. 1) f. *platyphylla* (Lam.) Schwz., sbf. *platyphylla*, 2) f. *laciniflora* (Lam.) Schwz. sbf. *pinnata* (Schneid.) Schwz., sbf. *labilosa* Schwz. — MM, E; *Q. dalechampii* Ten. — f. *lanceifolia* (Vuk.) Schwz. — MM, A—B; *Q. polycarpa* Schur. — MM, D; *Q. pubescens* Willd. 1) var. *lanuginosa* (Lam.) Schur. f. *pinnatifida* (Gmel.) Schwz., 2) var. *undulata* (Kit.) Schwz. f. *dissecata* (Vuk.) Schwz., 3) var. *lanuginosa* (Lam.) Schur. f. *pubescens* (Loud.) Schwz. — MM, E; *Q. virgiliana* Ten. var. *tenorei* (DC.) Schwz. — MM, Sm.

Fam. Gentianaceae B. Juss.

Gentiana ciliata L. — H, Sm; *G. cruciata* L. — H, Ea; *Centaurium umbellatum* Gilib. — Th, Cp.

Fam. Geraniaceae DC.

Erodium cicutarium (L.) L'Herit — Th, Cs; *Geranium phaeum* L. — H, E.

Fam. Gramineae Juss.

Festuca vallesiaca Schleich. — H, Ct; *F. sulcata* (Hack.) Nym. — H, E; *Bromus tectorum* L. — Th, Ea; *B. sterilis* L. — Th, Ea; *B. hordeaceus* L. — Th, Ea; *Dactylis glomerata* L. — H, Ea; *Poa bulbosa* L. monstr. *vivipara* Koel. — H, Ct; *P. nemoralis* L. — H, Cp; *Aegilops cylindrica* Host. — Th, Ct; *Lolium perenne* L. — H, Ea; *Malica ciliata* L. — H, P—M; *Briza media* L. — H, Ea; *Cynosurus cristatus* L. — H, E; *Stipa joannis* Čelak. — H, Ct; *Phleum pratense* L. var. *nodosum* (L.) — H, Cp; *Glyceria aquatica* (L.) Whlb. — HH, Cp; *Brachypodium silvaticum* (Huds.) E. et Sch. — H, Ea; *Setaria viridis* (L.) R. et Sch. — Th,

Ea; *Cynodon dactylon* (L.) Pers. — G, Cs; *Calamagrostis epigeios* (L.) Roth. — H, Ea; *Phragmites communis* Trin. — HH, Cs; *Hordeum murinum* L. — Th, Sm; *Agrostis alba* L. — H, Cp; *Andropogon tschaemum* L. — H, Cs; *Koeleria gracilis* Pers. — H, Cp.

Fam. **Hypericaceae** Lindl.

Hypericum perforatum L. — H, Ea; *H. hirsutum* L. — H; Ea.

Fam. **Juncaceae** Barth.

Luzula silvatica (Huds.) Gaud. — H, E; *Juncus glaucus* Ehrh. — H, Ea; *J. bufonius* L. — Th, Cs; *J. articulatus* L. — H, Cp.

Fam. **Labiatae** Juss.

Marrubium peregrinum L. — H, P.; *M. vulgare* L. — H, Ea; *Salvia nemorosa* L. — H, Ea; *S. pratensis* L. — H, E; *S. verticillata* L. — H, Sm; *Stachys recta* L. — H, P—M; *S. sylvatica* L. — H, Ea; *Calamintha acinos* (L.) Clairv. — Th, E; *C. vulgaris* (L.) Druce — H, Cp; *Ajuga chamaepitys* (L.) Schreb. — Th, Sm; *A. laxmanni* (L.) Benth. — H, P; *Glechoma hirsuta* W. et K. — H, P—M; *Galeobdolon luteum* Huds. — Ch, E; *Thymus pannonicus* All. — Ch, E; *T. marschallianus* Willd. — Ch, Ea; *Lycopus europaeus* L. — HH, Ea; *Teucrium polium* L. — Ch, E; *T. chamaedrys* L. — Ch, E; *Phlomis tuberosa* L. — H, Ct; *Sideritis montana* L. — Th, Ct; *Mentha longifolia* (L.) Nath. 1) ssp. *incana* (Willd.) M. Guș, var. *retinervis* (Borb.) M. Guș., 2) ssp. *mollissima* (Borkl.) Bom. — H, E; *Mentha pulegium* L. — H, Sm; *Lamium amplexicaule* L. — Th, Ea; *Origanum vulgare* L. — H, Ea; *Betonica officinalis* L. — H, E; *Nepeta pannonica* L. — H, Sm;

Fam. **Leguminosae** Juss.

Lathyrus tuberosus L. — H, Ea; *L. niger* (L.) Bornh. — H, E; *L. vernus* (L.) Bornh. — H, Ea; *L. pratensis* L. — H, Ea; *L. nissolia* L. — Th, Sm; *Trifolium alpestre* L. — H, E; *T. pratense* L. — H, Ea; *T. montanum* L. — H, Ct; *T. medium* L. — H, Ea; *T. campestre* Schreb. — H, Eb; *T. fragiferum* L. — H, Ea; *T. repens* L. — H, Ea; *Medicago lupulina* L. — Th, Ea; *M. minima* (L.) Grufb. — Th, P—M; *M. falcata* L. — H, Ea; *Vicia pisiformis* L. — H, E; *V. villosa* Roth. — H, E; *Cytisus leucotrichus* Schur — N, Ct; *Cytisus nigricans* L. var. *genuinus* (Briq.) Posp. f. *comosus* (Beck.) A. et G. — N, E; *Lotus corniculatus* L. — H, Ea; *Trigonella coerulescens* (L.) Ser. — Th, P; *Onobrychis viciifolia* Scop. — H, Ct; *Coronilla varia* L. — H, P—M; *Dorycnium herbaceum* Vill. — H, Sm; *Astragalus glycyphylloides* L. — H, Ea; *A. onobrychis* L. — H, Ct; *A. cicer* L. — H, P—M; *Melilotus albus* Desv. — Th, Ea; *M. officinalis* (L.) Lam. — Th, Ea; *Ononis hircina* Jacq. var. *spinescens* (Ldb.) — H, Ct.

Fam. **Liliaceae** DC.

Allium ursinum L. — G, E; *A. sphaerocephalum* L. — G, Sm; *A. scordoprasum* L. — G, E; *A. rotundum* L. — G, Sm; *Lilium martagon* L. — G, Ea; *Polygonatum officinale* All. — G, Ea; *Polygonatum multiflorum* (L.) All. — G, Cp; *P. latifolium* (Jacq.) Desf. — G, Pn—B; *Ornithogalum tenuifolium* Guss. — G, P—M; *Convalaria majalis* L. — G, Cp; *Muscari racemosum* Mill. — G, P—M.

Fam. **Linaceae** DC.

Linum tenuifolium L. — Th, P—M.

Fam. **Loranthaceae** Don.

Loranthus europaeus Jacq. — E, Sm.

Fam. **Lythraceae** Lindl.

Lythrum salicaria L. — H, Cs.

Fam. **Malvaceae** A. Juss.

Althaea officinalis L. — H, Ct; *A. cannabina* L. — H, P—M; *Malva silvestris* L. var. *hispidula* Beck. — TH, Ea.

Fam. **Oleaceae** Lindl.

Ligustrum vulgare L. — M, E; *Fraxinus ornus* L. var. *rotundifolia* Lam. — MM, Sm; *F. oxyacarpa* Willd. — MM, P—M.

Fam. **Onagraceae** Lindl.

Ciræa lutetiana L. — G, Cp; *Epilobium parviflorum* (Schreb.) Wither. — H, Ea; *E. hirsutum* L. — H, Ea.

Fam. **Orchidaceae** Juss.

Cephalanthera rubra (L.) Rich. — G, Ea; *Platanthera bifolia* (L.) Rich. — G, Ea; *Orchis morio* L. — G, Ea; *O. maculatus* L. — G, Ea.

Fam. **Papaveraceae** Juss.

Corydalis cava (L.) Schweigg. — G, E; *Chelidonium majus* L. — H, Ea.

Fam. **Plantaginaceae** Juss.

Plantago media L. — H, Ea.

Fam. **Pirolaceae** Lindl.

Pirola secunda L. — Ch, Cp.

Fam. **Polygalaceae** Juss.

Polygala major Jacq. — H, P—M; *P. vulgaris* L. — H, Ea; *P. comosa* Schkuhr. — H, Ea.

Fam. **Polygonaceae** Juss.

Rumex crispus L. — H, Ea; *R. acetosella* L. — H, Cs; *R. conglomeratus* Murray f. *atropurpureus* Aschers. — H, Cp; *Polygonum aviculare* L. — Th, Cs; *Fagopyrum convolvulus* (L.) Gross. — Th, Cp.

Fam. **Polypodiaceae** R. Br.

Asplenium trichomanes L. — H, Cs; *Cystopteris fragilis* (L.) Bernh. — H, Cs.

Fam. **Primulaceae** Vent.

Primula officinalis (L.) Hill. — H, E; *Lysimachia punctata* L. — H, P; *L. nummularia* L. — Ch, E.

Fam. **Ranunculaceae** Juss.

Ranunculus cassubicus L. — H, Ct; *R. acer* L. — H, Ea; *R. repens* L. — H, Ea; *Thalictrum aquilegiifolium* L. — H, E; *T. minus* L. — H, Ct; *Anemone ranunculoides* L. — G, E; *Adonis vernalis* L. — H, Ea; *A. aestivalis* L. — Th, Ea; *Ceratocephalus orthoceras* DC. — Th, Ct; *Batrachium tricophyllum* (Chaix) Bossche — HH, E; *Pulsatilla montana* (Hoppe) Rchb. — H, A—B; *Delphinium orientale* J. Gay. — Th, Adv.; *Clematis vitalba* L. — N, E.

Fam. **Resedaceae** DC.

Reseda lutea L. — Th, Ea.

Fam. **Rhamnaceae** Lindl.

Rhamnus cathartica L. — M, Ea.

Fam. **Rosaceae** Engl.

Filipendula hexapetala Gilib. — H, Ct; *Potentilla argentea* L. — H, Cp; *P. micrantha* Ram. — H, Sm; *P. recta* L. — H, Ct; *Sorbus torminalis* (L.) Cr. — MM, E; *Fragaria viridis* Duch. — H, Ct; *F. vesca* L. — H, Ea; *Malus silvestris* (L.) Mill. — MM, E; *Pirus piraster* (L.) Medik. — MM, E; *Geum urbanum* L. — H, Cp; *Agrimonia eupatoria* L. — H, Ea; *Crataegus monogyna* L. — M, Ea; *C. oxyacantha* L. — M, E; *Rosa canina* L. — M, E; *Prunus spinosa* L. — M, E; *Sanguisorba minor* Scop. — H, Sm; *Rubus tomentosa* Borkh. — H, Sm.

- Fam. Rubiaceae Juss.
Gallium mollugo L. — H, Ea; *G. boreale* L. — H, Cp; *G. cruciata* (L.) Scop. — H, Eb; *G. schultessii* Vest. — H, Ea; *G. verum* L. — H, Ea; *G. aparine* L. — Th, Ea; *G. sylvaticum* L. — H, Sm; *rubroides* L. — H, Ct; *Asperula taurina* L. — G, Sm; *A. glauca* (L.) Bess. — H, Ct; *A. humifusa* (M. B.) Bess. — H, E; *A. cynanchica* L. ssp. *cynanchica* var. *hirsuta* Heuff. — H, P-M.
- Fam. Salicaceae Rich.
Populus alba L. — MM, Ea; *P. tremula* L. — MM, Ea; *Salix caprea* L. — M, Ea.
- Fam. Santalaceae R. Br.
Thesium dollineri Murb. — TH, B (I)
- Fam. Scrophulariaceae R. Br.
Veronica jacquinii Baumg. — H; *P. prostrata* L. — Th; Ea; *V. chamaedrys* L. — H, Ea; *V. didyma* Ten. — Th, Ea; *V. serpyllifolia* L. — H, Cs; *C. crinita* Kit. — Th, B (I); *V. orchidea* Cr. — H, B (I); *V. scardica* Gris. — HH, E; *V. beccabunga* L. — HH, Ea; *V. officinalis* L. — Ch, Ea; *Linaria dalmatica* (L.) Mill. — H, E; *L. vulgaris* Mill. — H, Ea; *Digitalis grandiflora* Mill. — H, E; *D. lanata* Ehrh. — TH, B (I); *Scrophularia scopolii* Hoppe — H, P — M; *S. nodosa* L. — H, Ea; *Verbascum nigrum* L. — TH, Ea; *V. phlomoides* L. — TH, E.
- Fam. Simarubaceae Engl.
Ailanthus altissima (Mill.) Swingle — MM, Adv.
- Fam. Solanaceae Pers.
Lycium halimifolium Mill. — M, Adv; *Physalis alkekengi* L. — H, E; *Solanum dulcamara* L. — Ch, Ea; *Hyoscyamus niger* L. — TH, Ea.
- Fam. Sparganiaceae Engl.
Sparganium ramosum Huds. — HH, Ea.
- Fam. Staphyleaceae Bartl.
Staphylea pinnata L. — M, Sm.
- Fam. Tiliaceae Juss.
Tilia tomentosa Mnch. — MM, B (I); *T. plathiphylos* Scop. — M, E.
- Fam. Typhaceae Juss.
Thypa angustifolia L. — HH, Cp.
- Fam. Ulmaceae Mirb.
Ulmus foliacea Gilib. var. *genuina* Beldie f. *suberosa* (Henry) Beldie — MM, Ea.
- Fam. Umbelliferae Juss.
Sanicula europaea L. — H, Cs; *Ferulago silvatica* (Bess.) Rehm. — H, P-M; *Caucalis lapulla* (Web.) Grande — Th, Sm; *Peucedanum cervaria* (L.) Cuss. — H, P-M; *Aegopodium podagraria* L. — H, Ea; *Chaerophyllum aromaticum* L. — H, E; *C. temulum* L. — Th, Ea; *Falcaria sioides* (Wob.) Aschers. — TH, Ea; *Torilis arvensis* (Huds.) Link. — Th, Sm; *Laser trilobum* (L.) Bornk. — H, Ct.
- Fam. Urticaceae Endl.
Urtica dioica L. — H, Ea.
- Fam. Valerianaceae DC.
Valerianella dentata Poll. f. *dasyarpa* (Rchb.) Nyár. — Th, Sm.
- Fam. Verbenaceae Juss.
Verbena officinalis L. — H, Cs.
- Fam. Violaceae DC.
Viola hirta L. — H, Ea.

Speciile principalelor familii ca: *Boraginaceae*, *Caryophyllaceae*, *Compositae*, *Gramineae*, *Labiatae*, *Leguminosae*, *Ranunculaceae* etc. (în număr de 14) reprezintă în total 65,5% din flora întregului deal (tabelul nr. 2).

Tabelul nr. 2

Procentul ocupat de speciile principalelor familii în flora Dealului Istrija

Nr. crt.	Familia	Procente
1	<i>Boraginaceae</i>	2,45
2	<i>Caryophyllaceae</i>	3,26
3	<i>Compositae</i>	8,15
4	<i>Cruciferae</i>	3,53
5	<i>Cyperaceae</i>	4,89
6	<i>Gramineae</i>	6,97
7	<i>Labiatae</i>	7,06
8	<i>Leguminosae</i>	8,15
9	<i>Liliaceae</i>	2,99
10	<i>Ranunculaceae</i>	3,53
11	<i>Rosaceae</i>	4,62
12	<i>Rubiaceae</i>	3,26
13	<i>Scrophulariaceae</i>	4,89
14	<i>Umbelliferae</i>	2,72

Total = 65,5

Procentul cel mai mare revine speciilor din familiile: *Compositae* și *Leguminosae* (8,15%), *Labiatae* (7,06%), *Gramineae* (6,97%), *Scrophulariaceae* (4,89%), *Rosaceae* (4,62%) etc.

Compoziția floristică prin diversitatea să în ansamblu și variație de la un versant la celălalt reflectă structura geomorfologică a dealului.

Astfel, versantul sud-estic este caracterizat prin prezența a numeroase specii stepice ca: *Adonis vernalis* L. (pl. I, fig. 1), *Stipa joannis* Čelak., *Euphorbia stepposa* Zoz. (pl. II, fig. 3), *Pulsatilla montana* (Hoppe) Rehb., *Aster amellus* L., *Festuca valesiaca* Schleich., *Phlomis tuberosa* L., *Thymus marschallianus* Willd., *Centaurea orientalis* L., *Teucrium polium* L., *Althaea cannabina* L. etc.

Pe acest versant puternic stepizat, întâlnim o vegetație săracă, alcătuită din numeroase specii xerofile ca: *Digitalis lanata* Ehrh. (pl. I, fig. 2), *Veronica jacquinii* Baumg., *Calamintha acinos* (L.) Clairv., *Sideritis montana* L., *Betonica officinalis* L., *Nonea pulla* (L.) Lauv., *Arennaria serpyllifolia* L., *Herniaria incana* Lam., *Artemisia austriaca* Jacq., *Xeranthemum annuum* L., *Jurinea mollis* (L.) Reich., *Melica ciliata* L., *Stachys recta* L., *Koeleria gracilis* Pers., *Carex praecox* Schreb., *Allium sphaerocephalum* L., *A. rotundum* L., *Linum tenuifolium* L. etc.

În pajistile din partea inferioară a versantului sud-estic domină *Andropogon ischaemum* L.

Spre limita superioară a versantului se instalează în masă *Festuca sulcata* (Hack.) Nym. și *F. valesiaca* Schleich. Începând cu a doua jumătate

a lunii august, întreaga floră a acestui versant, puternic însoțit, și-a încheiat ciclul de vegetație.

Pe versanții cu expoziție estică ai văilor transversale largi, se află o serie de elemente sudice: *Quercus pubescens* Willd. și *Cotinus coggygria* Scop.

În pajiștile din imediata vecinătate a pădurii, cresc: *Digitalis grandiflora* Mill. (pl. VI, fig. 11), *Chrysanthemum leucanthemum* L. (pl. IV, fig. 7), *Origanum vulgare* L., *Teucrium chamedrys* L., *Reseda lutea* L. (pl. V, fig. 10) etc.

Portiunile dezvelite prin defrișare sunt ocupate de tufe de *Crataegus monogyna* L. și *Prunus sinosa* L. (pl. III, fig. 5).

La limita pădurii spre versantul sud-estic, stepic (pl. V, fig. 9), se instalează goruneto-făgete, pe platou întâlnim gorunete mai mult sau mai puțin curate, iar pe versantul nordic, mergînd spre Valea-Rea, predomină făgetele reprezentate prin *Fagus silvatica* L. var. *moesiaca* (Maly) Hay. (7). În făgete; se întâlnesc *Pirola secunda* L., element tipic pentru această formătune vegetală.

La limita dintre versantul sud-estic și pădure, la punctul maxim de altitudine al masivului se află o stațiune de *Quercus virgiliana* Ten. în amestec cu *Q. pubescens* Willd.

Gorunetele sunt formate în mare majoritate din *Quercus petraea* (Matt.) Liebl., iar în proporție mai mică din *Q. dalechampii* Ten. și, cu totul accidental, *Q. polycarpa* Schur. Arborii prezintă semne evidente de uscare a coroanei (pl. IV, fig. 8).

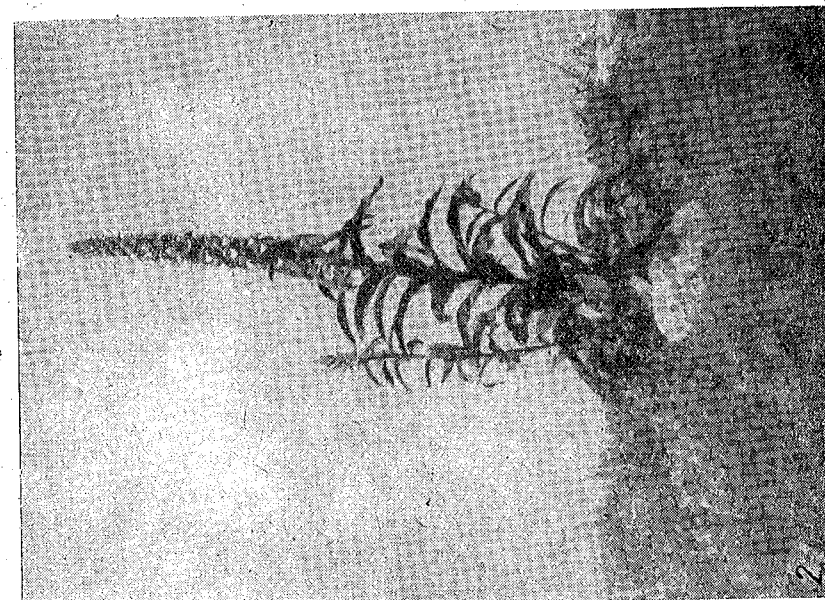
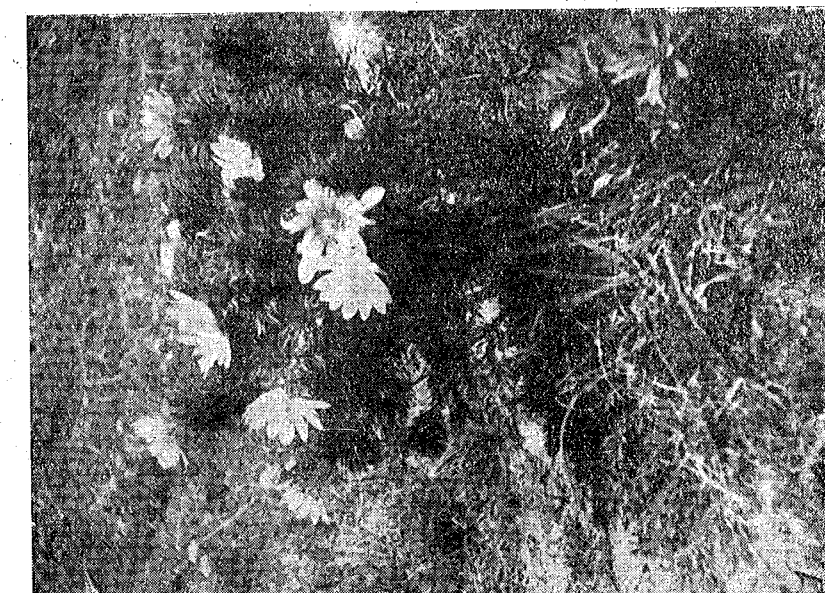
Dintre plantele care cresc în goruneto-făgete amintim: *Acer pseudoplatanus* L., *A. campestre* L., *Carpinus betulus* L., *Viburnum lantana* L., *Sorbus torminalis* (L.) Cr., *Crataegus monogyna* L., *Cytisus leucotrichus* Schur, *C. nigricans* L., *Lathyrus vernus* (L.) Bernh., *Dorycnium herbaceum* Vill., *Trifolium alpestre* L., *Brachypodium silvaticum* (Huds.) R. et Sch., *Melica ciliata* L., *Poa nemoralis* L., *Cephalanthera rubra* (L.) Rich., *Platanthera bifolia* (L.) Rich., *Orchis maculatus* L., *Lilium martagon* L., *Campanula persicifolia* L. (pl. VI, fig. 12), *Primula officinalis* (L.) Hill. (pl. II, fig. 4) etc.

În jurul izvoarelor care ies la suprafață, se instalează în pajiștile din pădure *Scirpus silvaticus* L., formînd asociații întinse. Uneori aceste izvoare se acumulează în mici depresiuni, formînd lacuri. Într-unul din acestea s-a instalat în număr mare *Batrachium tricophyllum* (Chaix) Bosse (pl. III, fig. 6), ocupînd mijlocul lacului, pe marginile acestuia aflindu-se: *Scirpus silvaticus* L., *Typha angustifolia* L., *Sparganium ramosum* Huds., *Carex vulpina* L., *C. pseudocyperus* L. etc.

Pe marginea drumurilor, în locurile umbroase și umede din pădurea de fag se instalează: *Equisetum hiemale* L., *Asplenium trichomanes* L., *Cystopteris fragilis* (L.) Bernh. etc.

Din analiza elementelor floristice ale Dealului Istrița (fig. 13) rezultă că în cadrul elementelor fitogeografice procentul cel mai mare îl ocupă ele-

PLANSA I

Fig. 2. - *Digitalis lanata* Ehnh. (original).Fig. 1. - *Adonis vernalis* L. (original).

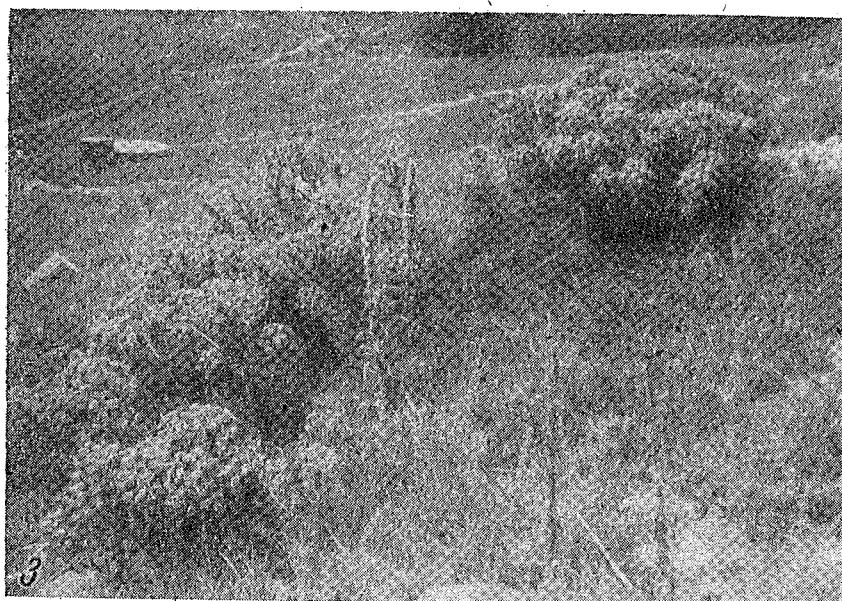


Fig. 3. — *Euphorbia stepposa* Zoz. și *Digitalis lanata* Ehrh. (original).



Fig. 4. — *Primula officinalis* (L.) Hill. (original).

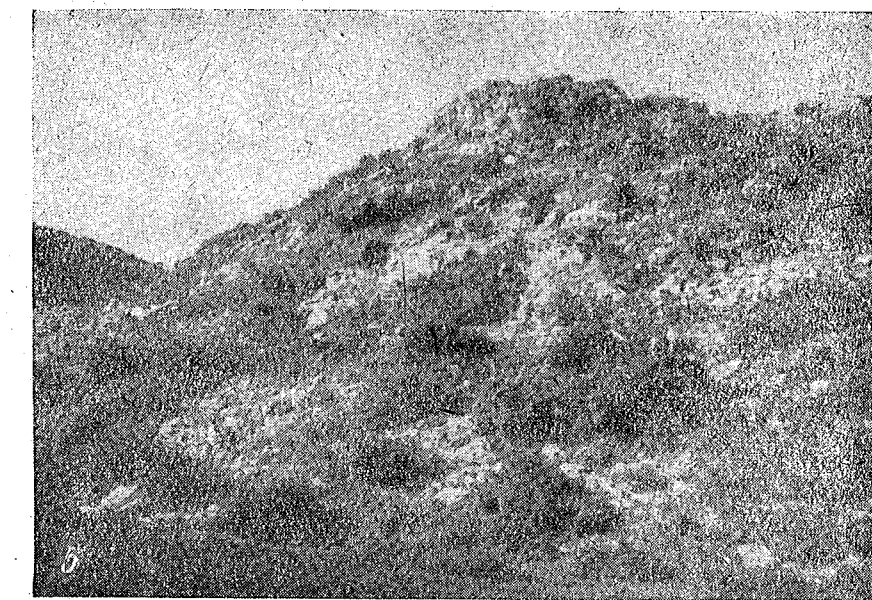


Fig. 5. — Versant despădurit cu tufe de *Crataegus monogyna* L. și *Prunus spinosa* L. (original).



Fig. 6. — *Batrachium tricophyllum* (Chaix) Bossche în floare (original).

Fig. 7. — *Chrysanthemum leucanthemum* L. (original).

Fig. 8. — Gorunete cu început de uscare. (original).

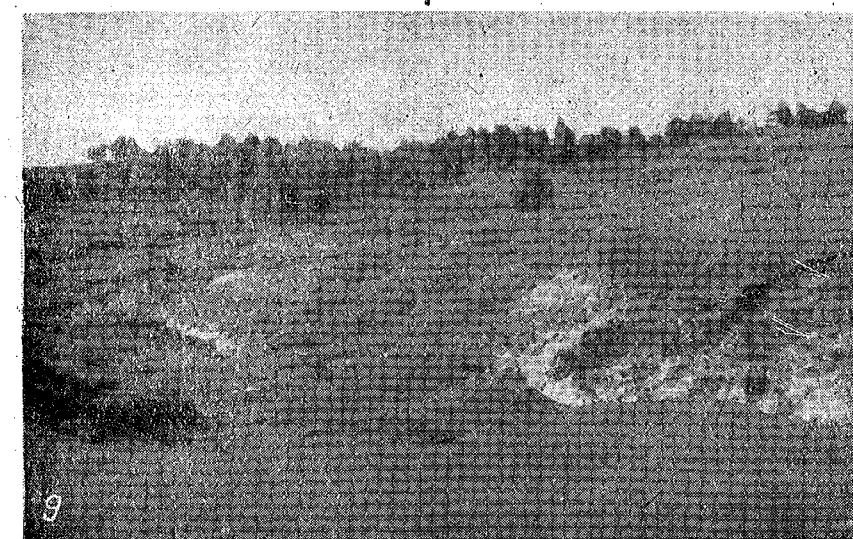
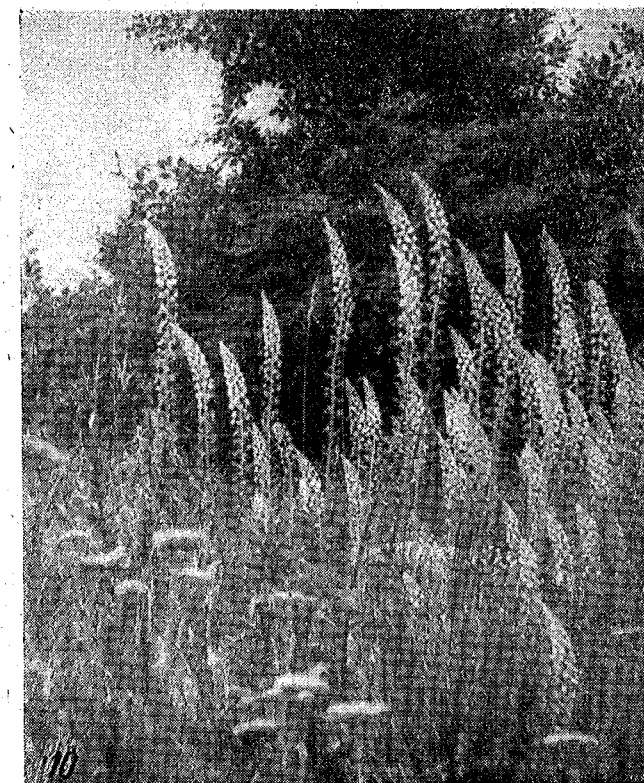
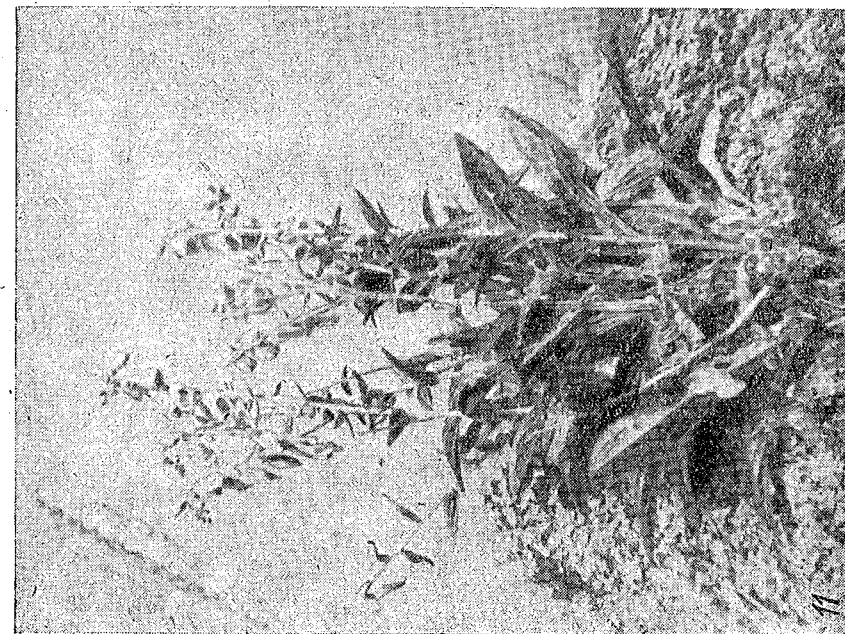
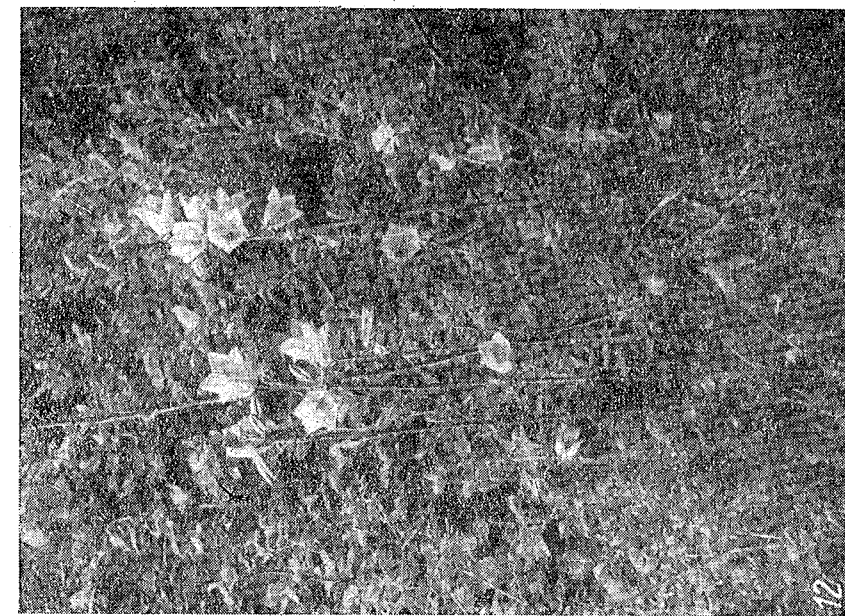


Fig. 9. — Limita pădurii spre versantul sud-estic (original).

Fig. 10. — *Reseda lutea* L. (original).

Fig. 11. — *Digitalis grandiflora* Mill. (original).Fig. 12. — *Campion persicifolia* L. (original).

mentale eurasiatice (33,69 %), următe de elemente europene (20,11 %), continentale (8,70 %), submediteraneene (8,42 %), circumpolare (7,88 %), pontico-mediteraneene (5,70 %), cosmopolite (5,71 %) etc. (tabelul nr. 3).

Tabelul nr. 3

Repartiția procentuală a clementelor fitogeografice și a formelor biologice ale Dealului Istrita

Elemente fitogeografice	Forme biologice											Total	
	MM	M	N	E	Ch	H	G	HH	TH	Th			
<i>Ea</i>	1,08	1,08	—	—	1,08	18,48	2,17	1,08	1,63	7,07	33,69		
<i>E</i>	2,44	2,71	0,54	—	1,63	8,15	1,90	0,54	0,81	1,36	20,11		
<i>Eb</i>	—	—	—	—	—	0,82	—	—	—	—	0,82		
<i>Cp</i>	—	—	—	—	0,27	3,80	1,90	0,82	—	1,08	7,88		
<i>Ct</i>	—	0,27	0,27	—	—	6,25	—	—	—	1,90	8,70		
<i>P</i>	—	—	—	—	—	2,44	—	—	0,27	0,54	3,26		
<i>P-M</i>	0,27	0,27	—	—	—	3,80	0,54	—	—	0,82	5,71		
<i>Sm</i>	0,54	1,08	—	0,27	—	3,53	0,82	—	—	2,74	8,42		
<i>B (I)</i>	0,27	—	—	—	—	0,82	—	—	0,54	0,27	1,90		
<i>A-B</i>	0,27	—	—	—	—	0,27	—	—	—	—	0,54		
<i>Cs</i>	—	—	—	—	—	2,44	0,82	0,54	—	1,90	5,71		
<i>Adv.</i>	0,27	0,27	—	—	—	0,27	—	—	—	0,54	1,36		
<i>Pn-B</i>	—	—	—	—	—	0,27	0,27	—	—	—	0,54		
<i>At</i>	—	—	—	0,27	—	—	0,27	—	—	—	0,27	0,82	
<i>At-M</i>	—	—	—	—	—	0,27	—	—	—	—	0,27		
<i>D</i>	0,27	—	—	—	—	—	—	—	—	—	0,27		
Total	5,43	5,71	0,82	0,54	2,99	51,60	8,70	2,99	3,26	17,93	100		

Notă

Forme biologice:

- MM — *Mega* și *Mesophanerophyta*
- M — *Mikrophanerophyta*
- N — *Nanophanerophyta*
- E — *Epihyta*
- Ch — *Chamaephyta*
- H — *Hemikryptophyta*
- G — *Geophyta*
- HH — *Hydophyta*
- TH — *Henitherophyta*
- Th — *Therophyta*

- Elemente fitogeografice:
- Ea* — *Eurasiacicus*
- E* — *Europaeus*
- Eb* — *Eurostibiricus*
- Cp* — *Circumpolare*
- Ct* — *Continentalis*
- P* — *Ponticus*
- P-M* — *Ponticus-mediterraneus*
- Sm* — *Sul-mediterraneus*
- B(I)* — *Balcanicus (+ iliricus)*
- A-B* — *Alpin-balcanicus*
- Cs* — *Cosmopolitis*
- Adv.* — *Adventivus*
- Pn-B* — *Pannonicus-balcanicus*
- At* — *Atlanticus*
- At-M* — *Atlanticus-mediterraneus*
- D* — *Dacicus*

De asemenea se remarcă prezența unui procent însemnat al clementelor submediteraneene (8,42 %) ca : *Allium sphaerocephalum* L., *A. rotundum* L., *Quercus virgiliiana* Ten., *Calepina irregularis* (Asso) Thell., *Potentilla micrantha* Scop., *Lathyrus nissolia* L., *Staphylea pinnata* L., *Caucalis lapulla* (Veb.) Grande., *Gentiana ciliata* L., *Convolvulus cantabricus* L.,

Ajuga chamaepitys (L.) Schreb., *Salvia verticillata* L., *Valerianella dentata* Poll. etc.

Dintre formele biologice, *Hemikryptophyta* ocupă mai mult de jumătate (51,60 %) din flora dealului, după care urmează : *Therophyta* (17,93 %),

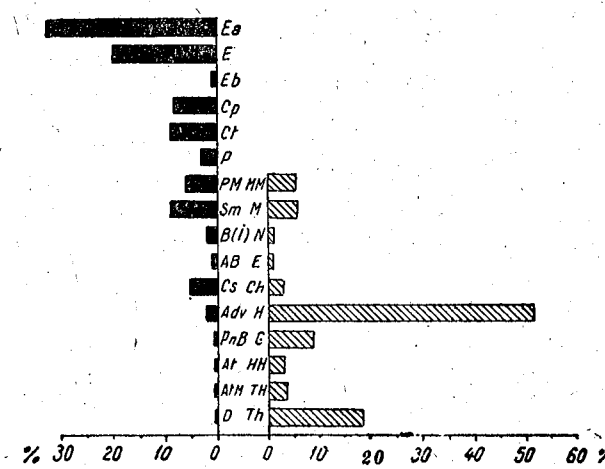


Fig. 13. — Spectrul elementelor fitogeografice și al formelor biologice ale Dealului Istrița.

Geophyta (8,70 %), *Mikrophanerophyta* (5,71 %), *Mega-* și *Mesophanerophyta* (5,43 %) etc.

CONCLUZII

Din analiza elementelor floristice ale Dealului Istrița rezultă următoarele concluzii :

1. Elementele fitogeografice predominante sunt cele eurasiatice (33,69 %) și europene (22,11 %).
2. Elementele submediteraneene participă într-o proporție însemnată (8,42 %).
3. În flora versantului sud-estic se remarcă prezența a numeroase specii stepice.
4. Dintre formele biologice, procentul cel mai mare îl ating *Hemikryptophyta* (51,60 %) și *Therophyta* (17,93 %).

Lucarea s-a efectuat sub îndrumarea prof. C. C. Georgeescu, pentru care îl aducem mulțumiri.

BIBLIOGRAFIE

1. BORZA AL., *Conspectus Flora Roumaniae regionumque affinum*. Cluj, 1947–1949, 1–2.
2. * * * *Flora R.P.R.*, Edit. Acad. R.P.R., București, 1952–1961, 1–8.
3. DOBRESCU C., St. și cerc. șt. Acad. R.P.R., Filiala Iași, 1950, 1, 1, 370–398.
4. ENCULESCU P., *Zonele de vegetație lemnoasă din România în raport cu condițiile hidrografice, climaterice de sol și subsol*, București, 1924.
5. JAVORKA S. és SUO R., *Á Magyar növényvilág kézikönyve*, Budapest, 1951.
6. MATHÉ I., Tisia, 1940, 4, 116–147; Acta Geob. Hung., 1941, 4, 85–108.
7. MORARIU I., Rev. păd., 1951, 53, 5, 287–288.
8. PASCOVSCHI S., Acta pro fauna et flora Universali, seria a II-a (Botanica), 1935, 1, 18–19, 1–18.
9. PRODAN I., *Flora pentru determinarea și descrierea plantelor ce cresc în România*, Cluj, 1939, 1–2.
10. SERBĂNESCU I., *Notionis Biologicae*, 1935, 1, 1, 13–16.
11. — *Notionis Biologicae*, 1933, 1, 1, 1–2.
12. — Bul. Soc. stud. în șt. nat. din București, 1933, 4, 103–106.
13. — Bul. Soc. stud. în șt. nat. din București, 1936, 8, 3–4.
14. SERBĂNESCU I., SPIRESCU M. și ROMAN N., *Dări de seamă Com. geol.*, 1962, 43 (1955–1956), 569–580.
15. * * * *Monografia geografică a Republicii Populare Române. I. Geografia fizică*, Edit. Acad. R.P.R., București, 1960, 186–188.

Institutul de biologie „Traian Săvulescu”,
Laboratorul de morfologie și sistematică vegetală.

Primită în redacție la 24 martie 1964.

CERCETĂRI FITOCENOTICE SI ECOLOGICE ÎN VALEA FÎNAȚULUI (R. TURDA)

DE

MARGARETA CSÜRÖS-KAPTÁLAN

581(05)

Dintre asociațiile Văii Fînațului (r. Turda) au fost studiate amănunțit, împreună cu unele date pedologice și microclimatice, următoarele: 1. as. *Carex gracilis*; 2. as. *Agrostis tenuis — Carex montana — Festuca rubra*; 3. as. *Festuca sulcata — Andropogon ischaemum*; 4. as. *Pruneto — Crataegetum*. Poziția asociațiilor studiate în Valea Fînațului este reprezentată în figura 1. Datele care au rezultat din analizele de sol sunt cuprinse în tabelul nr. 1. Rezultatele cercetărilor microclimatice sunt redate în figurile 2, 3, 4 și 5.

Valea Fînațului, affluentul Văii Turului, având cursul în direcția V—E, lîngă comuna Comșești, se află la altitudinea de circa 500 m, iar dealurile înconjurătoare au circa 600 m. Valea este situată în regiunea de trecere dintre Cîmpia Transilvaniei și regiunea montană. Din punct de vedere floristic aparține de „raionul Munților Apuseni”.

Vegetația Văii Fînațului este compusă din fitocozone aparținînd următoarelor asociații:

Vegetația lemnoasă. As. *Querceto — Carpinetum transsilvanicum*, răspîndită pe versanții cu expoziție nordică, sub formă de lăstăriș. As. *Quercetum roboris-petreae transsilvanicum*, răspîndită pe versanții cu expoziție sudică din porțiunea superioară a văii. As. *Pruneto — Crataegetum* răspîndită pe versanții sudici din porțiunea mijlocie a văii, reprezentată prin tufărișuri formate din *Prunus spinosa*, *Crataegus monogyna*, *Rosa canina*, *Ligustrum vulgare* etc. Terenul ocupat de aceste tufărișuri este intens pășunat.

Vegetația ierboasă. As. *Phragmites communis* și *Carex paniculata-paradoxa* sunt reprezentate prin fragmente în porțiunea mijlocie a văii. As. *Carex gracilis* ocupă porțiunea inferioară a văii și reprezintă fînațe

relativ întinse. As. *Agrostis tenuis* — *Carex montana* — *Festuca rubra* formează majoritatea vegetației ierboase pe versanții umbriți. As. *Carex flava* — *Eriophorum latifolium* este reprezentată prin fragmente în vîlcelele versanților nordici. As. *Festuca sulcata* — *Andropogon ischaemum* ocupă versanții însorîți ai văii.

Din punct de vedere pedologic și microclimatic au fost studiate asociațiile cele mai răspîndite din vale: as. *Carex gracilis*, as. *Agrostis tenuis* — *Carex montana* — *Festuca rubra*, as. *Festuca sulcata* — *Andropogon ischaemum* și tufărișul de *Pruneto* — *Crataegetum*.

As. *Carex gracilis* ocupă terenurile de lîngă albia pîrîului pe loc plan, avînd acoperirea de 100%. Pajiștea înaltă de 60 cm este compusă din: *Carex gracilis* AD : 3, *Phragmites communis*, *Agrostis alba*, *Carex distans*, *Scirpus sylvaticus*, *Juncus gerardii*, *Caltha laeta*, *Equisetum palustre*, *Myosotis palustris*, *Lysimachia nummularia* și din elemente de finațe higromozofile și mîzoiie ca: *Anthoxanthum odoratum*, *Bromus commutatus* 2, *Festuca pratensis*, *Poa pratensis*, *Briza media*, *Cynosurus cristatus*, *Lotus tenuifolius*, *Medicago lupulina* 1, *Trifolium pratense* 2, *T. repens* 1, *T. fragiferum*, *Achillea millefolium*, *Campanula patula*, *Carum carvi*, *Chrysanthemum leucanthemum*, *Cirsium canum*, *Equisetum arvense* 2, *Galium mollugo*, *Lychnis flos-cuculi* 1, *Prunella vulgaris*, *Ranunculus repens*, *Rumex acetosa*, *Rhinanthus glaber*.

Producția cantitativă a acestor pajiști este relativ mare, dar de calitate inferioară.

Solul asociației este un sol aluvial întelenit, în partea superioară pînă la 10 cm înmlăștinat, gleizat, lutos, expus inundațiilor. Are o reacție moderat alcalină (pH 7,98) și este moderat bogat în humus (tabelul nr.1)¹.

Pajiștile de *Agrostis tenuis* — *Carex montana* — *Festuca rubra* se dezvoltă de obicei lîngă păduri, pe sol brun de pădure, la altitudini de circa 550 m, pe locuri cu expoziția nordică, cu înclinare de 15—20°, avînd acoperirea de 100%. Această asociație are un caracter mezofil, marcat de prezența considerabilă a speciilor mezohigrofile și mezofile ca: *Festuca rubra* AD : 2, *Primula veris*, *Hypochoeris maculata*, *Equisetum arvense*, *Trifolium repens*, *Luzula campestris*, *Veratrum album* 1, *Anthoxanthum odoratum* 1, *Festuca pratensis*, *Trifolium pratense* 1, *Campanula patula*, *Chrysanthemum leucanthemum*, *Colchicum autumnale*, *Clematis recta* 2, *Knautia arvensis*, *Ranunculus polyanthemos*, *Rhinanthus glaber*, *Rumex acetosa* și *Scorzonera purpurea*. Dintre speciile acidofile sunt de menționat: *Campanula rotundifolia*, *Genista sagittalis* 1 și *Veronica officinalis*. Xerofitele și xeromezofitele cele mai frecvente sunt: *Thymus glabrescens* 1—2, *Festuca sulcata* 1—3, *Onobrychis viciifolia*, *Trifolium montanum* 2, *Salvia pratensis* 1—2, *Dianthus carthusianorum*, *Filipendula hexapetala* și *Pimpinella saxifraga*.

Acstea pajiști, avînd o producție cantitativă mediocă de circa 8 000 kg/ha masă verde, calitativ superioară, se folosesc atât ca finațe, cât și ca pășune.

¹ Determinările de pH și carbonați au fost executate la Institutul geologic (București), iar cele de humus au fost făcute de prof. I. Csapó.

Asociația se dezvoltă pe sol brun de pădure eutrof, întelenit, de regiune de deal, de jîndă, lutos. Stratul superior pînă la 10 cm are o culoare brună, structura fiind glomerulară colțuroasă, conține circa 1% pietriș cuartos. Are o reacție practic slab acidă (pH 5,9), fiind totodată bogat în humus. Între 20 și 35 cm adâncime structura este glomerulară mare, colțuroasă. Conține circa 1% pietriș cuartos, are reacție slab acidă (pH 5,6) și este moderat bogat în humus. Prin luarea în cultură agricolă a terenurilor acoperite de pajiștile de *Agrostis tenuis* — *Carex montana* — *Festuca rubra*, compoziția solului se schimbă, scăzînd considerabil conținutul de humus (tabelul nr. 1).

Păsunile de *Festuca sulcata* — *Andropogon ischaemum* sunt întinse pe versanții cu expoziție sudică și sud-vestică, cu înclinare 35°, la altitudine de circa 550 m. Acoperirea este 80%. În compoziția pajiștei, în afară de speciile dominante: *Festuca sulcata* AD : 3 și *Andropogon ischaemum* 3, mai participă xerofitele: *Koeleria gracilis* 1, *Agropyrum intermediate*, *Poa angustifolia*, *Carex humilis*, *Coronilla varia*, *Achillea collina*, *Bupleurum falcatum*, *Carduus acanthoides*, *Eryngium campestre*, *Euphorbia cyparissias*, *Fragaria viridis*, *Hieracium pilosella*, *Nonea pulla*, *Potentilla arenaria* 1, *Teucrium chamaedrys*, *Thymus glabrescens* 1.

Acstea asociații reprezintă pășuni degradate cu producția cantitativă și calitativ slabă.

Solul asociației de *Festuca sulcata* — *Andropogon ischaemum* este brun-deschis de pantă (carbonatic), de regiune de deal. Între 0 și 10 cm adâncime are o culoare brună-deschis, avînd o structură bulgăroasă mică. Este lutos, cu circa 3% pietriș, cu reacție moderat alcălină (pH 7,97) și moderat bogat în humus. Între 15 și 20 cm adâncime are o culoare brună-gălbuiie, este lutos, cu o structură glomerulară colțuroasă, conține fragmente mici de rocă (2,5%), cu reacția alcălină (pH 8,26) (tabelul nr. 1).

Tabelul nr. 1
Date analitice privind profilele de sol ale diferitelor asociații

Denumirea asociației sau felul culturii	Adâncimea de recoltare a probelor cm	pH-ul apei	CaCO ₃ %	Humus %
1. As. <i>Carex gracilis</i>	0—10	7,98	4,63	3,85
2. As. <i>Agrostis tenuis</i> — <i>Carex montana</i> — <i>Festuca rubra</i>	0—5 20—35	5,89 5,60	0,0 0,0	8,24 3,28
3. Cultură de grâu	0—5	5,49	0,0	3,18
4. As. <i>Festuca sulcata</i> — <i>Andropogon ischaemum</i>	0—10 15—20 40—50	7,97 8,26 8,54	8,44 14,19 12,71	3,03 1,37 0,53

Sub coama dealurilor cu expoziție sud-sud-vestică, cu înclinare de 30°, în multe locuri pe păsunile de *Festuca sulcata* — *Andropogon ischaemum* se găsesc tufe de *Prunus spinosa*, *Crataegus monogyna*, *Rosa canina*.

Caracterele solului acestei asociații sunt asemănatoare celor ale solului asociației precedente.

În această vale am efectuat măsurări microclimatice (temperatura solului la 0 cm, temperatura aerului, umiditatea relativă a aerului și evaporația la 20 cm) la data de 3. VI. 1958². Observațiile au fost înregistrate la intervale de 30 min, începînd de la ora 8,30 (cu unele excepții) pînă la ora 18,30. Stații de cercetări microclimatice au fost instalate în patru locuri diferite (fig. 1).

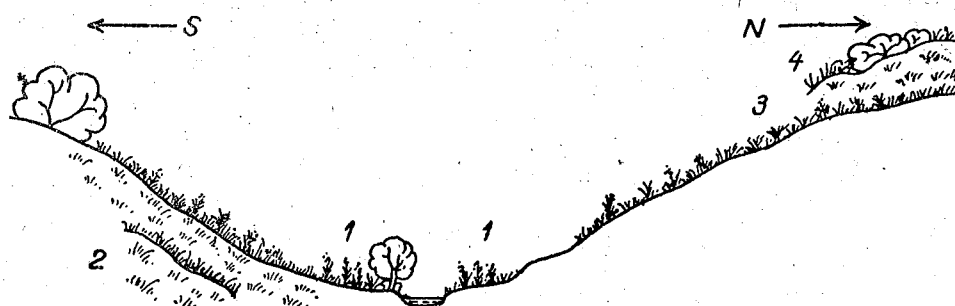


Fig. 1. - Secțiune prin Valea Finațului. 1, as. *Carex gracilis*; 2, as. *Agrostis tenuis*—*Carex montana*—*Festuca rubra*; 3, as. *Festuca sulcata*—*Andropogon ischaemum*; 4, *Pruneto*—*Crataegetum*.

Prima stație (1) a fost instalată la circa 10 m lîngă albia pîrîului, pe loc plan, în finăț de *Carex gracilis*, a doua (2) în finăț de *Agrostis tenuis*—*Carex montana*—*Festuca rubra* a treia (3) în pășunea de *Festuca sulcata*—*Andropogon ischaemum*, iar a patra (4) puțin mai spre vest de precedenta, în tufărișul de *Prunus spinosa*—*Crataegus monogyna*.

Observațiile în legătură cu măsurările microclimatice sunt următoarele :

Temperatura solului la 0 cm, reprezentată grafic în figura 2, variază în funcție de umiditatea solului, de consistența vegetației, de expoziție și de unii factori accidentali. Așa, de exemplu, vîntul pornit la ora 11 în tufărișul de *Prunus*—*Crataegus* (stația 4) a determinat scădere bruscă a temperaturii de la suprafața solului. În stațiiile 1 și 2 mersul temperaturii s-a desfășurat normal, ceea ce se datorează unui covor dens de vegetație, unde nu s-a simțit influența vîntului. Este de notat că temperaturile cele mai scăzute s-au înregistrat în stația 1 (as. *Carex gracilis*), ca urmare a umidității mari și constante a solului. Diferențele maxime din aceeași stație se constată la curbele 2 și 3, și anume la 6,5°C, respectiv la 8°C.

Temperatura aerului la 20 cm, al cărui mers este reprezentat în figura 3, prezintă variații mari în funcție de expoziție. Temperaturile cele mai scăzute au fost înregistrate în stația 2, temperatura maximă fiind de 23°C. Temperaturile cele mai ridicate s-au notat în stația 3, maximul ajungînd la 28°C, care s-a menținut de la ora 14 pînă la ora 16. Din figura 3 se poate constata că stațiiile 3 și 4 primesc o cantitate de căldură mult mai mare decît stațiiile 1 și 2.

² Aparatura folosită la înregistrările microclimatice a fost confectionată sub conducerea conf. E. Grigercsik.

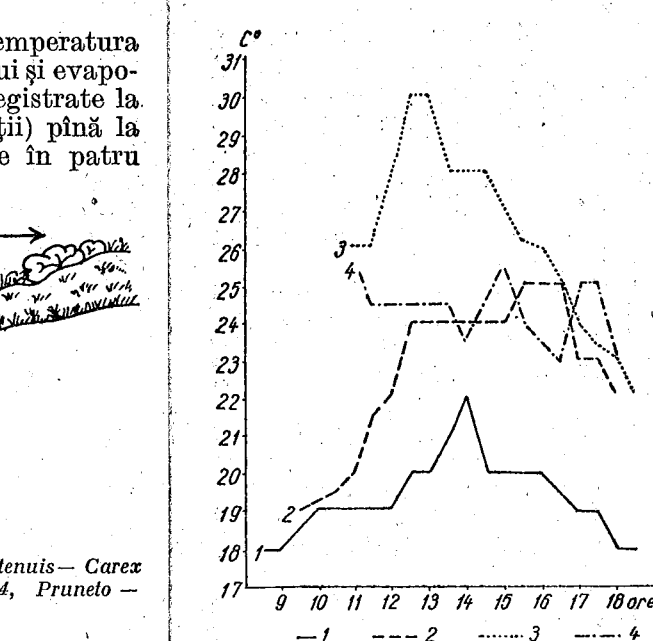


Fig. 2. — Temperatura solului la 0 cm. 1, as. *Carex gracilis*; 2, as. *Agrostis tenuis*—*Carex montana*—*Festuca rubra*; 3, as. *Festuca sulcata*—*Andropogon ischaemum*; 4, *Pruneto*—*Crataegetum*.

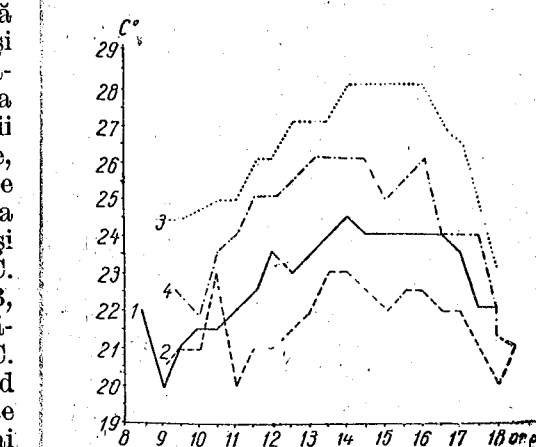


Fig. 3. — Mersul temperaturii zilnice a aerului la 20 cm. Legenda aceeași ca la figura 2.

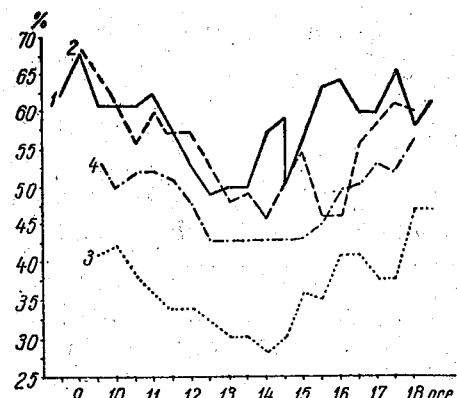


Fig. 4. — Variațiiile umidității relative. Legenda aceeași ca la figura 2.

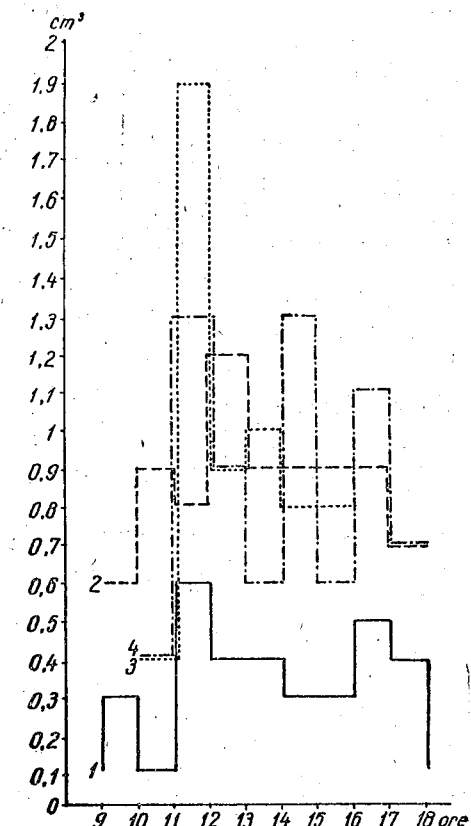


Fig. 5. — Evaporația zilnică. Legenda aceeași ca la figura 2.

Umiditatea relativă a aerului este redată în graficul figurii 4, din care reiese că umiditatea cea mai ridicată s-a notat în stațiile 1 și 2, de 68%, iar cea mai scăzută în stația 3, de 28%, fiind pajiște xerofilă, cu expoziție sud-vestică. În general, variațiile în ceea ce privește umiditatea relativă se desfășoară în raport invers proporțional cu temperaturile.

Evaporația zilnică, reprezentată grafic în figura 5, a fost mult influențată de vîntul care a atins o intensitate mare între ora 11 și 12. Evaporația a fost îndeosebi intensă în stația 3, unde umiditatea relativă era cea mai scăzută.

Din graficele alăturate (fig. 2, 3, 4 și 5) reiese că valorile cele mai ridicate privind atît temperatura solului la 0 cm, cît și temperatura aerului la 20 cm au fost înregistrate în stația 3, iar umiditatea relativă a aerului în stația 1. Evaporația cea mai intensă s-a înregistrat în stațiile situate pe pantele cu expoziție sud-sud-vestică.

Din cele prezентate se constată strînsa interdependentă dintre factorii de relief, climă, vegetație și sol. Interacțiunea lor în ultimă instanță stă la baza proceselor care determină producția vegetală cantitativă și calitativă a unei fitocenoze. Cunoașterea cît mai temeinică a factorilor ecologici este necesară pentru planificarea rațională a culturilor agricole.

BIBLIOGRAFIE

1. ASZÓD L., Acta Geobot. Hung., 1936, 1, 1.
2. BUJOREANU GH., Bul. Grăd. bot., Cluj, 1930, 10.
3. CSAPÓ J., *Talajtan*, București, 1958.
4. CSURÖS ST., St. dia Univ. Babeș et Bolyai, seria a II-a, biol., 1958, 3, 7.
5. DONITA N., BÎNDIU C., D. HOIŅU GH., sub îndrumarea lui PAUCĂ A. și POPESCU-ZELLETIN I., *Obiectivele urmărite și metodele de cercetare folosite în studiul vegetației din Podișul Babadag*, București, 1962.
6. GRIGERCSÍK E., Natura, seria geogr.-geol., 1961 6.
7. HARGITAI Z., Acta Geobot. Hung., 1943, 5, 2.
8. NEMES M. P., CSAPÓ I., SIMIONESCU L. și DRĂGAN V., An. lucrărilor științifice, Inst. agr., Cluj, 1957.
9. SAVULESCU TR., *Der Biogeografische Raum Rumäniens*, București, 1940.
10. UJVÁROSI M., Acta Geobot. Hung., 1937, 1, 2.

Universitatea „Babeș-Bolyai”, Cluj, Catedra de botanică.

Primită în redacție la 12 februarie 1963.

CERCETĂRI STATISTICE PRIVIND MIȘCAREA PROTOPLASMEI DIN CELULELE RIZODERMALE DE DIFERITE DIMENSIUNI*

DE

ACADEMICIAN E. POP,

V. SORAN, ROZALIA VINTILĂ și M. STIRBAN

581(05)

Întrebuințând o metodă îmbunătățită, a fost surprinsă în celulele meristematicice o mișcare plasmatică neregulată, dar care evoluează treptat în mișcare de alunecare. A fost numită „mișcare incipientă”. Se stabilește un raport pozitiv, dar inegal între viteza mișcărilor și lungimea celulelor, fapt care indică implicarea și a altor factori interni în geneza și evoluția mișcărilor protoplasmatici, cum sunt: structura fizico-chimică și submicroscopică, procesele metabolice etc. În special în timpul formării cordoanelor plasmatic și al apariției mișcării de circulație, viteza microzomilor crește vertiginos. Înainte și după acest moment, raportul menționat evoluează evasliniar.

Investigațiile statistice întreprinse de E. Pop (29), (30), (32), (33), (34), A. Radu (39), V. Soran (46) și cele experimentale ale lui E. Pop (35), (36) au întărit opinia despre existența unei strînsă dependență a vitezei curentilor protoplasmatici de starea întinderii fizice a plasmei. Cele mai concluzioane argumente în sprijinul acestei opinii le-au oferit constatăriile făcute în incinta aceliei și celule, în care plasma mișcătoare se găsea în stări de extensiune diferită (35), (36).

Problema fusese urmărită și la diferitele celule ale rădăcinii apărând același țesut, care devin din ce în ce mai lungi pornind de la vîrful ei spre sfîrșitul zonei de creștere (32), (33), (34), sau la perii absorbanți de

* Lucrare publicată și în „Revue roumaine de biologie — Série de botanique”, 1964, IX, 6, p. 377 (în limba germană).

lungimi crescănde (46). De repetate ori unul dintre noi (29), (31), (32), (33), (34), și-a exprimat însă bănuiala că în celulele progresiv mai lungi, dar diferite, mișcările plasmaticice ar putea fi influențate nu numai de evoluția stării de extensiune a plasmei, ci și de alți factori, de exemplu chimici (fitohormoni), care pot surveni în proporții variate în diferitele porțiuni ale zonei de întindere.

Pentru a aduce lămuriri în privința acestei rezerve în argumentare, am reluat cercetările pe celule de dimensiuni crescănde ale rădăcinii, cu atât mai mult cu cît relația dintre starea de întindere a plasmei și viteza mișcărilor ei a mai fost studiată și de alți cercetători (7), (13), (14), (15), (21), (22), (23), (51), iar metoda de explorare a mișcărilor protoplasmaticice a fost și ea perfectionată (16).

MATERIALUL ȘI TEHNICA DE LUCRU

Materialul utilizat a fost radicula embrionară de orz (*Hordeum vulgare*). Înregistrarea datelor s-a făcut de regulă în ziua a 3-a sau a 4-a de la imbibarea semințelor, cind acestea posedau deja o radiculă de 2–4 cm lungime.

Transparența radiculei de orz este insuficientă pentru efectuarea observațiilor microscopice fără secționare. De aceea a fost necesar să detașăm din fiecare radiculă cite un fragment de maximum 1 cm lungime de la vîrf, pe care l-am secționat în două jumătăți longitudinale. Secțiunile au fost lăsate să plutească circa 1 oră în apă proaspătă de robinet la temperatură laboratorului (20–21°C), pentru ca șocul traumatic provocat de secționare să dispară complet (30), (40).

Mișcarea protoplasmei s-a urmărit în celulele rizodermale, de preferință în cele situate mai departe de rana provocată prin secționare. Cercetările s-au efectuat la un microscop Zeiss-Nf, în cimpul luminos și cu contrast de fază (ob. planacromat 100, oc. PK $\times 16$). Viteza curentilor protoplasmatici s-a măsurat la un număr de 138 de celule rizodermale care aveau lungimi de la 7 pînă la 420 μ . Înregistrarea deplasărilor microzomilor¹ s-a făcut prin două metode, în funcție de caracterul mișcărilor protoplasmaticice.

În cazul mișcărilor lente am utilizat metoda lui R. J. arosch (16) cu timpul de bază de 2,5 s pentru fiecare înregistrare. Această metodă a fost aplicată numai pentru celulele cu o lungime de la 7 pînă la 80 μ . La celulele mai lungi de 80 μ , înregistrarea s-a făcut prin metoda mai simplă recomandată de S. Strugger (49).

Observarea celulelor dermatogenului și a celor rizodermale de lungimi diferite a fost mult ușorată în cazul studierii aspectelor citomorfologice prin folosirea colorației vitale și prin măsurarea exactă a dimensiunilor lor, pe segmente de rădăcini de cîte 1 mm.

REZULTATE

1. Aspectul citomorfologic al radiculei de orz (*Hordeum vulgare*). Mișcările citoplasmaticice evoluează de la vîrf spre baza rădăcinii, în strînsă dependență de modificările structurale progresive ale protoplastilor de pe același traject. Considerăm deci că este oportun să le precizăm.

În primul segment de radiculă de la vîrf (0–1 mm) se află caliptra, regiunea meristematică și partea cea mai tînără a regiunii de întindere. Celulele dermatogenului încep cu lungimi de 5–15 μ , ajungînd mai spre bază la 17–25 μ (–35 μ). După R. H. a g e m a n n (11), frecvența maximă de diviziuni în celulele dermatogenului de la *Hordeum vulgare* se

¹ A se vedea în lucrarea noastră ((37), p. 310) nota 1 infrapaginală.

înregistrează pînă la circa 140 μ de la vîrf, iar la *Triticum vulgare* pînă la 200 μ de la vîrf, conform datelor lui H. L u n d e g a r d h (26). După 600 μ , deci după circa 2/3 din fragmentul analizat de noi, diviziunile încetează cu totul. Colorația vitală cu roșu neutru (1 : 10 000 în apă de robinet) timp de 10 min a surprins existența, semnalată încă de A. G u i l l i e r m o n d (10) la același material vegetal, a mai multor vacuole mici de formă alungită ori sferică, bine individualizate.

În segmentul următor (1–2 mm de la vîrf), celulele rizodermale realizează lungimi de la 15–20 μ pînă la 80–90 μ (rareori 120 μ). Colorația vitală relevă, paralel cu întinderea celulelor, scădere corelativă a numărului de vacuole. Fenomenul începe aproximativ de la celulele lungi de 18–20 μ , prin apariția cordoanelor protoplasmaticice puternic anastomozate, ca în cazul semnalat la grâu de către H. L u n d e g a r d h (26). La celulele de peste 30 μ lungime, cele 3–5 vacuole rezultate din contopirea celor mărunte confluăză într-o singură, străbătută de mai multe cordoane protoplasmaticice, care o dată cu înaintarea în vîrstă se orientează din ce în ce mai mult în sensul axei longitudinale.

În segmentul cuprins între 2 și 3 mm încep să apară peri radicali. Celulele rizodermale ale acestui segment au o lungime cuprinsă între 50 μ (rar 25 μ) și 200 μ (rar peste 200 μ !). În următorul segment (3–4 mm), lungimea celulelor rizodermale variază între 100 și 300 μ ; aici găsim majoritatea perilor tineri. În segmentele următoare de la 4 la 10 mm, celulele rizodermale au lungimea cuprinsă între 200 și 500 μ , multe dintre ele posedînd peri radicali maturi.

2. Mișcarea protoplasmei în celulele rizodermale de diferite dimensiuni. În graficul din figura 1 am redat, într-o rețea logaritmică prin cercuri negre și linia continuă, variațiile vitezei mișcărilor protoplasmaticice din celulele rizodermale progresiv mai lungi (pornind de la vîrful radiculei spre bază). Curba obținută are forma unui „S” alungit, reprezentînd funcția „logistică”. Ea reflectă, în cazul celulelor cu dimensiuni reduse (pînă la circa 70 μ lungime), o evoluție ritmic ascendentă, pornindu-se de la viteze foarte reduse spre altele din ce în ce mai mari. Concomitent are loc o creștere categorică a coeficientului de variație a vitezelor.

Se pune apoi în evidență, pentru o creștere foarte neînsemnată a lungimii celulelor (de la 70 la 90 μ) o intensificare apreciabilă a vitezei mișcărilor protoplasmaticice, însotită de o coborîre bruscă a coeficientului de variație.

În continuare curba demonstrează din nou o progresie mai lentă a vitezelor, simultană cu o regresiune corelativă a coeficientului de variație.

Privită în ansamblul ei, curba exprimă existența unei dependențe a vitezei mișcărilor protoplasmaticice de lungimea celulelor. În cursul întinderii progresive a celulelor, corespondența este însă inegală. Cercetarea amănuntită a acestui fenomen ne-a dezvăluit succesiunea mai multor tipuri de mișcări dependente de configurația schimbătoare a protoplastilor.

În celulele meristematicice din vîrf², capabile de diviziune, curentii protoplasmatici lipsesc cu desăvîrsire, confirmîndu-se în această privință

² Celulele caliptri nu intră în cadrul observațiilor noastre.

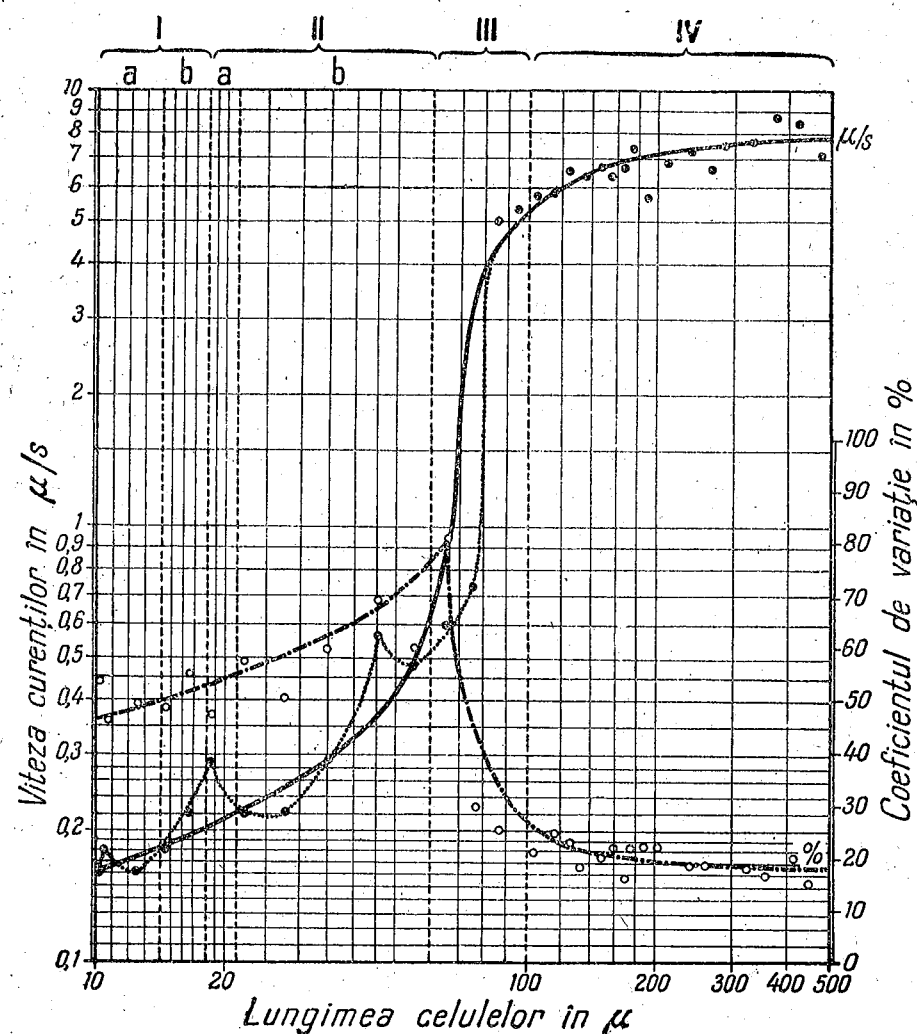


Fig. 1. — Relația dintre viteza mișcării protoplasmatici și lungimea celulelor rizodermale din radicula embrionară de orz (*Hordeum vulgare*). I, Etapa mișcărilor protoplasmatici incipiente: a, zonă meristematică cu diviziuni celulare; b, zonă submeristematică. II, Etapa mișcărilor protoplasmatici de alunecare: a, zonă în care se formează cordoane protoplasmatic anastomozate și apar mișcările protoplasmatic de alunecare; b, zonă în care se individualizează o singură vacuolă mare, cu cordoane protoplasmatic orientate în sensul axi longitudinal celulelor; predomină mișcările de alunecare și ondulatorii. III, Etapa de transformare a mișcărilor protoplasmatic incipiente, de alunecare și de ondulație și în curenți de circulație. IV, Etapa curenților citoplasmatici de circulație.

Linia continuă și cercurile pline reprezintă variațiile vitezei mișcărilor protoplasmatici în general; linia punctată pe aceea a mișcărilor incipiente și de alunecare. Linia intreruptă și cercurile goale reprezintă variațiile coeficientului de variație.

constataările anterioare făcute la radicule de labiate (29), (31), (33), (34) și la graminee (39), (47). Utilizând însă tehnica nouă menționată (16), am surprins și în aceste celule o mișcare neobservabilă pînă acum ori confundată cu o mișcare pur fizică.

Ea se caracterizează printr-o agitație, în aparență dezordonată și cu o viteză foarte redusă (sub $0,18 \mu/\text{s}$), a microzomilor sau a altor componente celulare, fiind lipsită de criteriu clasic al mișcărilor protoplasmatic: alunecare sau curgere într-o direcție dată.

Cercetată statistic, ea trădează totuși un minimal grad de orientare, exprimabil prin coeficiențul de regularitate (Q_r) al lui R. J. Rossch (16), ceea ce dovedește că nu este o mișcare browniană, cu care se asemănă într-adevăr foarte mult. O numim mișcare „incipientă” și o considerăm, în baza evoluției ei ulterioare, drept un stadiu inițial, din care iau naștere mișcările ordonate și direcționate, cunoscute sub numele de mișcări de alunecare („agitație”, de digresiune), curenti, dineză, cicloză, circulație, rotație etc.

În zona postmeristemerică, limitată sub raport citologic între încețarea diviziunilor celulare, pe de o parte, și apariția cordoanelor, pe de altă parte, apar mișcările de alunecare alături de cele dezordonate „incipiente”. Cele două tipuri de mișcare pot trece unul într-altul. Celulele au aici $18-20 \mu$ lungime, iar viteză mișcărilor ajunge pînă aproape la dublul valorii din zona meristemerică (circa $0,30 \mu/\text{s}$).

În segmentul de la $1-3 \text{ mm}$, caracterizat prin continua întindere a celulelor, găsim cele mai variate forme de manifestare a mișcării protoplasmatic.

La celulele de $20-30 \mu$ lungime, înregistram o ușoară scădere a vitezei mișcărilor (de la circa $0,30$ la $0,22 \mu/\text{s}$). Faptul este explicabil prin noua fază de organizare a structurii optic vizibile a citoplasmei: dispăr aspectul anastomozat al cordoanelor protoplasmatic, care se orientează din ce în ce mai mult în sensul axei longitudinale. Drept consecință, mișcările incipiente dezordonate sunt treptat înlocuite cu mișcări de alunecare, care devin dominante în celule. Apare încă un nou tip de mișcare protoplasmatică, denumită „ondulatorie” (17), care nu antrenează microzomii, ci cordonul însuși. După cîte se pare el este propriu cordoanelor protoplasmatic numai în fază formării lor. Se caracterizează prin unduri repetitive care se propagă în lungul cordoanelor întocmai ca și undulațiile unei corzi flexibile, slab întinsă și ușor agitată.

La celulele lungi de $40-50 \mu$ mișcările de alunecare devin din ce în ce mai intense, microzomii deplasîndu-se cu viteze de $0,50-0,60 \mu/\text{s}$. Urmează din nou o ușoară scădere a vitezei de deplasare a microzomilor, pentru ca la celulele de $70-80 \mu$ lungime mișcarea de alunecare să se transforme rapid în curenti de circulație.

În cursul acestei evoluții, mișcările protoplasmatic devin din ce în ce mai omogene, fapt reflectat de curba coeficientului de variație a vitezelor (fig. 1; procente de pe rețea semilogaritmică). Aceasta crește de la valori ridicate (45-50%), în etapa mișcărilor incipiente și de alunecare, pînă la maximul de 80%, în etapa de trecere a mișcărilor de alunecare în mișcări de circulație. Etapa curenților de circulație începe cu o

scădere vertiginoasă, de la 80 pînă la 30% a coeficientului de variație, ca să se mențină apoi constantă în jurul valorii de 20%, indiferent de lungimea celulelor.

DISCUȚIA REZULTATELOR

Investigațiile prezentate ne permit să vedem într-o nouă lumină problema genezei curentilor protoplasmatici.

Observații făcute la protoplastii amortiți prin soc mecanic și chimic (30), (40) sau la celule care revin din starea de repaus la starea activă au generalizat opinia că forma inițială a mișcării protoplasmatice este cea de alunecare (digresiune, agitație), care se transformă treptat în mișcare de circulație.

După constatăriile de față, mișcarea de alunecare este ea însăși un proces evoluat din „mișcarea incipientă”, al cărui aspect foarte neregulat pare în contradicție cu definiția clasică a mișcărilor protoplasmatic. Mișcarea incipientă urmează deci să considerăm drept un fenomen dinamic primordial, care constituie forma de origine a mișcării de alunecare și deci indirect a curentilor protoplasmatici propriu-zisi.

Alte observații statistice, pe care le vom discuta într-o lucrare viitoare, ne oferă noi dovezi despre natura intimă a celor trei tipuri de mișcări succesive, precum și criterii obiective de delimitare precisă a lor.

O altă problemă esențială este aceea a factorilor interni care contribuie la geneza și intensificarea vitezei mișcărilor protoplasmatic la celule rizodermale progresiv mai lungi.

Măsurătorile noastre au dovedit existența unei dependențe a vitezei mișcărilor de lungimea celulelor, deci de starea de alungire a plasmei. Această corespondență este însă categoric inegală în diferite etape, ceea ce indică de la început implicarea și a altui sau a altor factori pe lîngă întinderea progresivă.

Un factor direct, microscopic perfect constatabil, este organizarea morfologică a protoplasmei. Aceasta parcurge în timpul creșterii, după cum am văzut, o succesiune ireversibilă, ale cărei faze coincid în mod caracteristic cu principalele etape din evoluția mișcării protoplasmatic. În această ordine de idei este firesc să presupunem că strînsa relație evidențiată prin microscopul optic nu se oprește la pragul vizibilizării microscopice, ci ancorează mai adînc în modificările structurale submicroscopice. Presupunerea noastră găsește un argument concret în cercetările executate la microscopul electronic de J. B. Hanson (12), H. A. Lund și colaboratori (25), G. Settelfield și colaboratori (45) și W. G. Whaley și colaboratori (52), care dovedesc, între altele, că celulele meristematice sunt foarte bogate în granule „microzomale”³ constituite din ribonucleoproteide, în

³ În sensul „microzomilor” lui A. Claude (1943) și al „meiozomilor” lui K. Höfler (1957); a se vedea și E. Pop și colaboratori (37), p. 310, nota 1.

timp ce în plasma celulelor pe cale de întindere sau întinsă apar din ce în ce mai multe pături membranoase.

De schimbările structurii citoplasmei la nivelul submicroscopic sunt strîns legate variațiile de viscozitate. S. Strugger (48), iar mai recent A. Pearson și F. Seidel (28), efectuând măsurători pe rădăcinile de *Lemma minor*, au surprins scăderea viscozității protoplasmei pornind de la regiunea meristemătică spre baza organului. S. V. Tagava (50) de asemenea a observat că mișcarea protoplasmatică, viscozitatea citoplasmei și procesele de creștere se află într-o strînsă dependentă. Deși noi n-am întreprins vreo cercetare în acest sens, credem că și în celulele rizodermale progresiv mai lungi de la orz au loc schimbări ale structurii submicroscopice a citoplasmei și a viscozității ei, factori ce contribuie, poate în mod esențial, la geneza curentilor protoplasmatici.

Cercetările biochimice efectuate asupra rădăcinii în ultimul deceniu de către școala lui R. Brown (1), (2), (3), (5), (8), (42), (43) și de către alți cercetători (18), (19), (20), (24), (26), (38) sugerează ideea că în geneza curentilor protoplasmatici sunt implicați și factori metabolici cum ar fi: sinteza proteinelor, intensificarea respirației, activitatea enzimatică, bilanțul de apă etc.⁴

În ceea ce privește sinteza proteinelor, cercetările lui R. Brown și colaboratori (2), (42), apoi cele ale lui W. A. Jensen (18), (19), (20) au arătat că în regiunea de întindere a rădăcinii se înregistrează o creștere a cantității de substanțe proteice de circa 11 ori la *Pisum*, 2–3 ori la *Zea*, 2 ori la *Allium* etc., față de regiunea meristemătică. Tot investigațiile școlii lui R. Brown (42), (43) au dus la o descoperire pe care o credem importantă din punctul nostru de vedere, și anume că în cursul întinderii și al diferențierii proteinelor își schimbă compoziția.

Intensitatea respirației suferă de asemenea modificări pornind de la vîrful rădăcinii înspre bază. Astfel, D. R. Goodard și B. J. D. Meuse (9), raportând consumul de oxigen la numărul de celule sau la cantitatea de azot proteic, au constatat că intensitatea respirației, scăzută în regiunea meristemătică, crește paralel cu întinderea celulelor, devenind constantă și cu o valoare ridicată în segmentele rădăcinii cu țesuturi mature. Pe de altă parte, investigațiile lui W. Ruhland și K. Ramsbottom (44) atestă și deosebiri calitative între meristem și celelalte regiuni ale rădăcinii. Determinările privind coeficientul respirator au dus la rezultate similară, valoarea lui cea mai ridicată fiind semnalată în zona de întindere (41).

Remarcăm că aceste schimbări de ordin metabolic au loc într-o regiune a rădăcinii în care noi am observat transformarea rapidă a mișcărilor incipiente și de alunecare în curenti de circulație. Ele ne fac să presupunem că alături de transformările structurale ale citoplasmei, care au loc o dată cu creșterea prin întindere a celulelor, factorii metabolici influențează geneza curentilor de circulație într-o mare măsură. Prin urmare, gradul de întindere fizică a plasmei este secondat și completat de alți factori interni celulari în acțiunea de intensificare a mișcărilor plasmatic.

⁴ Pentru detalii a se consulta monografia lui F. A. L. Clowes, *Apical meristems* (6).

CONCLUZII

1. Aplicând o nouă metodă de înregistare a deplasării microzomilor și prelucrând observațiile prin statistică matematică, a fost surprinsă o mișcare citoplasmatică „incipientă” în celulele meristematice. Ea este încăță și neregulată, fiind foarte asemănătoare, dar nu identică cu mișcarea browniană. Ea reprezintă stadiul inițial de mișcare plasmatică, din care evoluează treptat mișcarea de alunecare, ce se transformă la rîndul ei în curenti de circulație.

2. Se constată că relația dintre creșterea celulelor, deci dintre întinderea plasmei și viteza mișcărilor, este pozitivă, dar nu liniară. Faptul este atestat de forma sigmoidă a curbei care reprezintă relația. Curba cuprinde, între două porțiuni cu accelerări relativ moderate ale mișcărilor, o pantă aproape verticală, care reflectă un salt de viteză a microzomilor (de la viteze medii sub $1 \mu/s$ la altele de $4-6 \mu/s$).

3. O relație de acest fel indică implicarea și a altor factori interni în geneza și evoluția mișcărilor protoplasmatic. Un asemenea factor instructiv, pus în evidență la microscopul optic, este modificarea succesivă în organizarea structurală a protoplastului. Subliniem în special momentul de formare a cordoanelor plasmatic, care coincide cu geneza curentilor de circulație și cu un salt al vitezelor microzomilor.

Presupunerea noastră că în acest proces participă și modificări de structură submicroscopică, este confirmată de unele cercetări electrono-microscopice executate de alți cercetători.

4. În literatură găsim numeroase cercetări cu privire la modificările treptate ale viscozității plasmei, ale sintezei proteinelor, ale respirației în regiunea radiculară, care ne-au servit ca test de cercetare. Este justificat să credem că și acești factori interni variabili contribuie la geneza și evoluția mișcării protoplasmatic.

În asemenea condiții trebuie să preconizăm existența unui complex de factori interni, care acționează în mod solidar și interdependent, dar care, evoluind și el calitativ și cantitativ, cu vîrstă celulelor, se va afirma sub forma unor aspecte diferite.

BIBLIOGRAFIE

1. BROWN R., J. Exptl. Bot., 1950, 2, 96-110.
2. BROWN R. a. BROADBENT D., J. Exptl. Bot., 1950, 1, 249-263.
3. BROWN R., REITH W. S. a. ROBINSON R., Symp. Soc. Exptl. Biol., 1952, 6, 329-347.
4. BROWN R. a. RICKLESS F., Proc. Roy. Soc., 1949, 136, 110-125.
5. CLOWES F. A. L., J. Exptl. Bot., 1958, 9, 229-238.
6. — Apical meristems, Botanical monographs, Blackwell Scientific Publications, Oxford, 1961.
7. DOI Y., Nat. Agric. exp. Stat (Tokyo) Bull., 1950, 69, 1-47.
8. ERICKSON R. O. a. GODDARD D. R., Growth Sympos., 1951, 10, 89-116.
9. GODDARD D. R. a. MEEUSE B. J. D., Ann. Rev. Plant. Physiol., 1950, 1, 207-232.
10. GUILLERMOND A., C. R. Soc. Biol., 1920, 83, 411-425.
11. HAGEMANN R., Die Kulturpflanze, 1957, 5, 75-107.
12. HANSON J. B., Proc. IX Internat. Bot. Congress, 1959, 2, 150-151.

13. IWANAMI Y., Bot. Mag. (Tokyo), 1952, 65, 137-144.
14. — Phytomorphology, 1956, 6, 288-295.
15. — J. Yokohama Municipal Univ., 1959, 116, 1-137.
16. JAROSCH R., Protoplasma, 1956, 47, 478-486.
17. — Protoplasma, 1963, 57, 448-500.
18. JENSEN W. A., Exp. Cell Res., 1955, 8, 506-522.
19. — Proc. Nat. Acad. Sci. Wash., 1957, 43, 1038-1046.
20. — Exp. Cell Res., 1958, 14, 575-583.
21. JURIŠIC P. J., Acta Bot. Inst. Bot. R. Univ. Zagreb, 1925, 1, 25-31.
22. KAMIYA N., Protoplasmic streaming. Protoplasmatologia, Springer Verlag, Viena, 1959, 8.
23. — Protoplasmic streaming, in Ruhland's Encyclopedia of Plant Physiology, Springer Verlag, Berlin-Göttingen-Heidelberg, 1962, 17, partea a 2-a, 979-1035.
24. КОНАРЕВ В. Г. Нуклеиновые кислоты и морфогенез растений, Госуд. Изд., Высшая школа, Москва, 1959.
25. LUND H. A., VATTER A. E. a. HANSON J. B., J. Biophysic. Biochem. Cytol., 1958, 4, 87-98.
26. LUNDEGARDH H., Pflanzenphysiologie, Gustav Fischer Verlag, Jena, 1960, 507-509 (fig. 223).
27. MARÓTI M., Acta Bot. Acad. Scient. Hungaricae, 1962, 2, 303-316.
28. PIRSON A. u. SEIDEL F., Planta (Berlin), 1950, 34, 431-473.
29. POP E., Bul. Soc. șt. Cluj, 1948, 10, 52-66.
30. — Bul. științ. Acad. R.P.R., Seria geol., geogr., biol., șt. tehnice și agr., 1950, 2, 3-15.
31. — Bul. științ. Acad. R.P.R., Seria geol., geogr., biol., șt. tehnice și agr., 1950, 3, 517-538.
32. — Bul. științ. Acad. R.P.R., Secția șt. biol., agr., geol. și geogr., 1955, 7, 13-28.
33. — Revue de biologie, 1956, 1, 49-66.
34. — Revue de biologie, 1956, 1, 53-69.
35. — St. și cerc. biol., Seria biol. veget., 1960, 12, 269-279.
36. — Revue de biologie, 1960, 5, 265-274.
37. POP E., SORAN V. și VINTILĂ R., St. și cerc. biol., Seria biol. veget., 1963, 15, 309-330.
38. ПОТАПОВ Н. Г., ОБРУЧЕВА Н. В. и МАРОТИ М., Рост растений, Изд. Львовского Университета, Львов, 1959, 115-121.
39. RADU A., St. și cerc. șt. Acad. R.P.R., Filiala Cluj, 1951, 2, 84-94.
40. — St. și cerc. șt. Acad. R.P.R., Filiala Cluj, 1954, 5, 243-258.
41. RAMSHORN K., Flora (Jena), 1958, 145, 1-36.
42. ROBINSON R. a. BROWN R., J. Exptl. Bot., 1952, 3, 356-374.
43. — J. Exptl. Bot., 1954, 5, 71-78.
44. RUHLAND W. u. RAMSHORN K., Planta (Berlin), 1938, 28, 471-514.
45. SETTERFIELD G., STERN H. a. JOHNSTON F. B., Canad. J. Bot., 1959, 37, 65-72.
46. SORAN V., St. și cerc. biol. Acad. R.P.R., Filiala Cluj, 1957, 8, 295-305.
47. SORAN V. și DIACOMEASA B., St. și cerc. biol. Acad. R.P.R., Filiala Cluj, 1958, 9, 159-173.
48. STRUGGER S., Jahrb. f. wissenschaftl. Bot., 1934, 79, 406-471.
49. СТРУЖЕР С. Практикум по физиологии растительных клеток и тканей (Praktikum der Zell- und Gewebephysiologie der Pflanze) Изд. Иностр. лит., Москва, 1953.
50. TAGEEVA S. V., Proc. IX Internat. Bot. Congress, 1959, 2, 392.
51. VESQUE-PÜTTLINGEN F., Bot. Ztg., 1876, 34, 572-575.
52. WHALEY W. G., MOLLENHAUER H. N. a. KEPHART J. E., Proc. IX Internat. Bot. Congress, 1959, 2, 429.

Filiala Academiei R.P.R. Cluj, Centrul de cercetări biologice,
Secția de fiziolgia plantelor, Laboratorul de citofiziologie.

Primită în redacție la 20 aprilie 1964.

CONTRIBUȚII LA METODA CURENTULUI DE AER
PENTRU DETERMINAREA PE TEREN A INTENSITĂȚII
FOTOSINTEZEI*

DE
ACADEMICIAN N. SĂLĂGEANU

581(05)

În lucrare se descrie o metodă pentru determinarea intensității fotosintizei în condiții de teren. Currentul de aer este produs în baloane elastice de cauciuc. Absorbția CO_2 se realizează trecind currentul de aer sub formă de bube mari turtite între 2 plăci. Titrarea $\text{Ba}(\text{OH})_2$ are loc în lipsa contactului cu CO_2 din aer. Eroarea determinării CO_2 din currentul de aer este de $\pm 1,5\%$.

Metoda curentului de aer elaborată de noi în 1959 (3) a fost folosită cu deplin succes la culegerea datelor mai multor lucrări științifice. Între timp i-am adus unele ameliorări, care permit folosirea ei la determinări ale intensității fotosintizei în cîmp, pe care le comunicăm în lucrarea prezentă.

La un balon *A* de 3 l (fig. 1) cu fund rotund, se determină prin cintărirea goală și cu apă volumul pînă la semnul *G*, pe gît, la 2 cm de la portiunea sferică. Balonul *A* se închide cu dopul de cauciuc *D*, străbătut de două orificii. Prințr-unul pătrunde tubul *C*, prevăzut la capătul din balon cu o portiune mai dilatătă, la care se atașează balonul *B* din cauciuc elastic și subțire. Prin cel de-al doilea orificiu pătrunde tubul *E*, la care se atașează tubul de cauciuc *H*, venit de la aparatul *Z*, pentru absorbția CO_2 .

Aspiratorul funcționează în modul următor: se desface tubul de cauciuc *H* de la tubul *E* și cu o pompă de aer atașată la tubul *C* se umflă balonul de cauciuc *B*, pînă cînd se lipește complet de peretele balonului de sticlă *A* și se umflă și portiunea din gîtul balonului *A*, pînă la semnul *G*. Aerul ieșe din balonul *A* prin tubul *E*. Un fir de sfoară *F*, atașat de

* Lucrare publicată și în „Revue roumaine de biologie — Série de botanique”, 1964, IX, 6, p. 387 (în limba engleză).

tubul *C*, permite ieșirea întregii cantități de aer din balonul *A*. La tubul *E* se atașează tubul de cauciuc *H*, închis cu o pensă cu șurub *I*, apoi se desface pompa de la tubul *C*. Balonul astfel umflat aspiră, grație elasticității peretelui său, un volum de aer cu un debit relativ constant, pe care il reglăm cu ajutorul pensei cu șurub *I*.

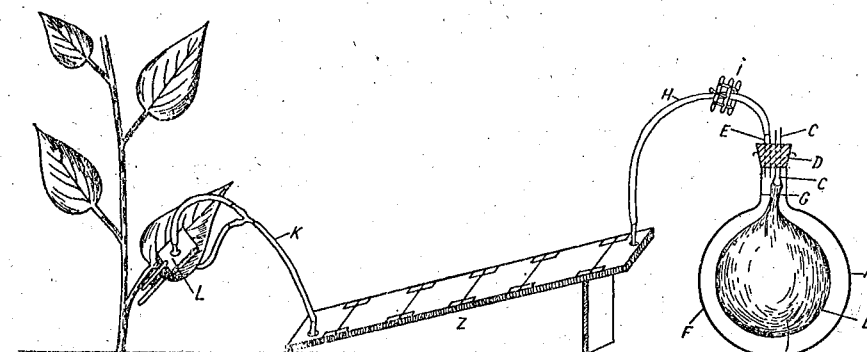


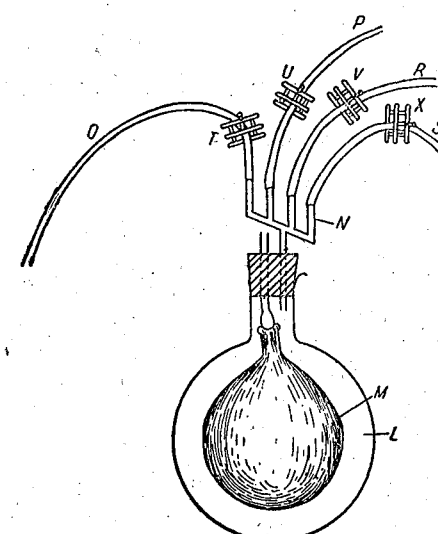
Fig. 1. — Aparatura pentru determinarea intensitatii fotosintizei (la toate figurile există explicația elementelor componente ale aparatelor se află în textul articolului).

Cînd balonul de cauciuc *B* a ajuns la limita elasticității sale, el încetează să absoarbă aer. În acest moment el mai conține în jurul său 100 cm³ de aer. Pe acesta îl aspirăm atașind la tubul de sticlă *C* (fig. 1) un alt balon absorbant *L* (fig. 2), în care aspiră aer balonul de cauciuc *M*, ce funcționează pe același principiu ca balonul *A*.

La balonul *L* se adaptează tubul *N* cu 4 ramuri, de care atașăm tuburile de cauciuc *O*, *P*, *R* și *S*, prevăzute fiecare cu cîte o clemă cu șurub *T*, *U*, *V*, *X*. După ce am umflat cu pompa balonul *M*, închidem pensele *T*, *U*, *V* și *X*. Cînd dorim să aspirăm aerul rămas într-un balon, de exemplu în balonul de cauciuc *B* (fig. 1), atașăm la el în *C* tubul *O* al balonului *L* (fig. 2) și desfacem ușor pensa cu șurub *T*, pînă cînd se aspiră întreaga cantitate de aer din balonul de cauciuc *B*. Balonul *L* poate aspira în același timp aerul din baloanele a patru aparate.

Pe această cale simplă obținem ușor un curent de aer, al cărui volum total îl determinăm cu exactitatea de $\pm 2 \text{ cm}^3$ la 1.500 cm^3 .

Fig. 2. — Balon de sticlă pentru aspirarea aerului rămas în balonul aspirant.



Cînd, în urma destinderii, balonul de cauciuc *B* (fig. 1) a încetat să mai aspire aer, determinăm cu un manometru în formă de „U” atașat la tubul *H* printr-un tub în formă de „T” presiunea negativă a aerului dintre balonul de cauciuc *B* și cel de sticlă *A*. Aceasta este în jurul a 60–70 mm apă. De asemenea citim la un termometru temperatura aerului.

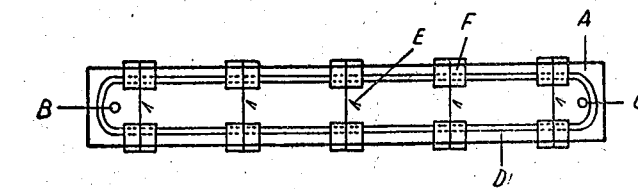


Fig. 3. — Aparatul pentru absorbtia CO_2 din curentul de aer, văzut din față.

În timpul funcționării lor, baloanele aspiratoare se mențin la umbră. Absorbția CO_2 se face de $\text{Ba}(\text{OH})_2$ n/50, introdus într-un spațiu al aparatului absorbant lung de 480 mm, lat de 55 mm și gros de numai 0,5 mm, cu volumul de 25 cm^3 . Aparatul absorbant pentru CO_2 se construiește din două plăci de sticlă, cu lungimea de cîte 500 mm, lățimea de cîte 75 mm și grosimea de cîte 4 mm. Între ele se introduce o garnitură tăiată dintr-o foială de cauciuc de 0,5 mm grosime, care are următoarele dimensiuni interioare: lungimea 480 mm, lățimea 55 mm.

Etanșarea se asigură cu un strat de chit alcătuit din ulei de in și miniu de plumb, introdus de jur împrejurul garniturii de cauciuc, între cele două geamuri.

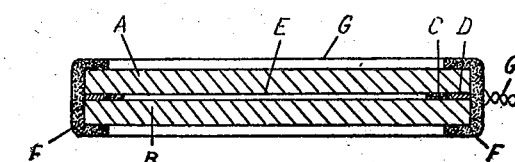


Fig. 4. — Secțiune transversală prin aparatul pentru absorbtia CO_2 .

Figura 3 reprezintă aparatul absorbant pentru CO_2 , privit din față. Se vede geamul superior *A*, prevăzut cu orificiile *B* pentru intrarea și *C* pentru ieșirea aerului și cu garnitura de cauciuc *D*. Cele două plăci de sticlă se leagă între ele cu 5 bucăți de sîrmă *E*, care trec peste bucățile de cauciuc *F*, menite a proteja geamurile de sticlă. O secțiune transversală prin aparatul absorbant al CO_2 din aer (fig. 4) ne arată plăcile de sticlă *A* și *B*, garnitura de cauciuc *C*, chitul de ulei de in și miniu *D*, care asigură etanșarea, bucățile de cauciuc *F* și sîrmă de legătură *G*.

Aparatul pentru absorbtia CO_2 funcționează în poziție înclinată, ca în figura 1. Prin tubul de legătură *K* se introduce $6,5 \text{ cm}^3$ $\text{Ba}(\text{OH})_2$

n/50; apoi se închide pensa *I* și se leagă prin tubul de legătură *K* de camera de asimilație și prin tubul de legătură *H* de balonul aspirant *A* (fig. 1). După aceea se deschide încet pensa *I* și aerul trece cu bule mari și turtite prin aparatul absorbant, cum se vede în figura 1, ridicind soluția de $\text{Ba}(\text{OH})_2$ spre extremitatea superioară a aparatului pentru absorbția CO_2 (1).

Reglăm cu ajutorul pensiei *I* viteza curentului de aer în așa fel, încât bulele de aer și hidratul să se ridice pînă la 50–60 mm de la extremitatea superioară a aparatului absorbant.

La un debit mai mare de aer, dăm o înclinare a aparatului pentru absorbția CO_2 mai apropiată de verticală, iar la un debit mai mic o înclinare mai apropiată de orizontală.

Titrarea $\text{Ba}(\text{OH})_2$ din aparatul pentru absorbția CO_2 se face în modul următor (evitînd venirea sa în contact cu aerul): aparatul *M* pentru absorbția CO_2 (fig. 5) se pune în legătură, prin tubul de cauciuc *N*, cu tubul laterală *P* a unui vas Erlenmayer *I* de 50 cm³, în care se găsește de la titrarea precedentă o cantitate de aproximativ 5 cm³ de soluție tratată cu fenolftaleină.

Aceasta trebuie să aibă o culoare roz-palid. Dopul de cauciuc *R*, care închide vasul de titrare *I*, este prevăzut cu 3 orificii. Printr-unul străbate un tub de sticlă, pus în legătură cu tubul de cauciuc *L*, care face legătura între aerul din aparatul *M* pentru absorbția CO_2 cu cel din vasul de titrare *I*.

Prin cel de-al doilea orificiu al dopului *R* străbate un tub de cauciuc *H*, prevăzut cu o bilă *G*, pus în legătură cu microbiureta *A*, de 10 cm³, gradată în 0,02 cm³. Al treilea orificiu al dopului *R* este închis cu o baghetă *O*.

După ce am făcut legăturile aparatului *M* pentru absorbția CO_2 cu vasul de titrare *I*, prin lăsarea în jos a acestuia, soluția de $\text{Ba}(\text{OH})_2$ trece în vasul de titrare *I* și aici ia o culoare roșie-intens, iar prin tubul de legătură *L* trece aer din vasul de titrare *I* în aparatul *M* pentru absorbția CO_2 . Titrăm cu $\text{HCl}/\text{n}/100$ din microbiureta *A*, pînă cînd soluția capătă o culoare roz-palid. Prin ridicarea vasului *I*, trecem soluția în aparatul *M* pentru absorbția CO_2 pînă aproape de tubul de legătură *L*, după care coborîm din nou vasul de titrare *I* și soluția trece în acest vas de unde o aducem prin titrare din nou la culoarea roz-palid. Repetăm operația de spălare a aparatului *M* pentru absorbția CO_2 în modul de mai sus, pînă cînd la o nouă spălare a soluția nu și intensifică de loc culoarea. În total sunt necesare 4 spălări ale aparatului pentru absorbția CO_2 .

În rest modul de lucru se înțelege ușor din figura 5: Vasul *E* conține $\text{HCl}/\text{n}/100$, care este aspirat prin tubul *F* în microbiuretă, apăsînd în dreptul perlei *D* care închide tubul *C*.

Deși cantitatea de $\text{Ba}(\text{OH})_2$ este relativ mică, de numai 6,5 cm³, și soluția de $\text{Ba}(\text{OH})_2$ este relativ diluată, de n/50, ea absoarbe practic complet CO_2 dintr-un curent de aer. Spre a ne convinge de acest fapt, am efectuat următoarea experiență: am trecut 3 l de aer de afară cu debitul de 200 cm³/minut, printr-un aparat pentru absorbția CO_2 nr. 1, de aici în aparatul pentru absorbția CO_2 nr. 2 și apoi în aparatul pentru absorbția CO_2 nr. 3. În această experiență curentul de aer a fost produs de o trompă

de apă, iar debitul a fost determinat cu un reometru. Am analizat CO_2 absorbit de fiecare aparat pentru absorbția CO_2 și am obținut datele din tabelul nr. 1. În primul aparat pentru absorbția CO_2 s-a absorbit întreaga

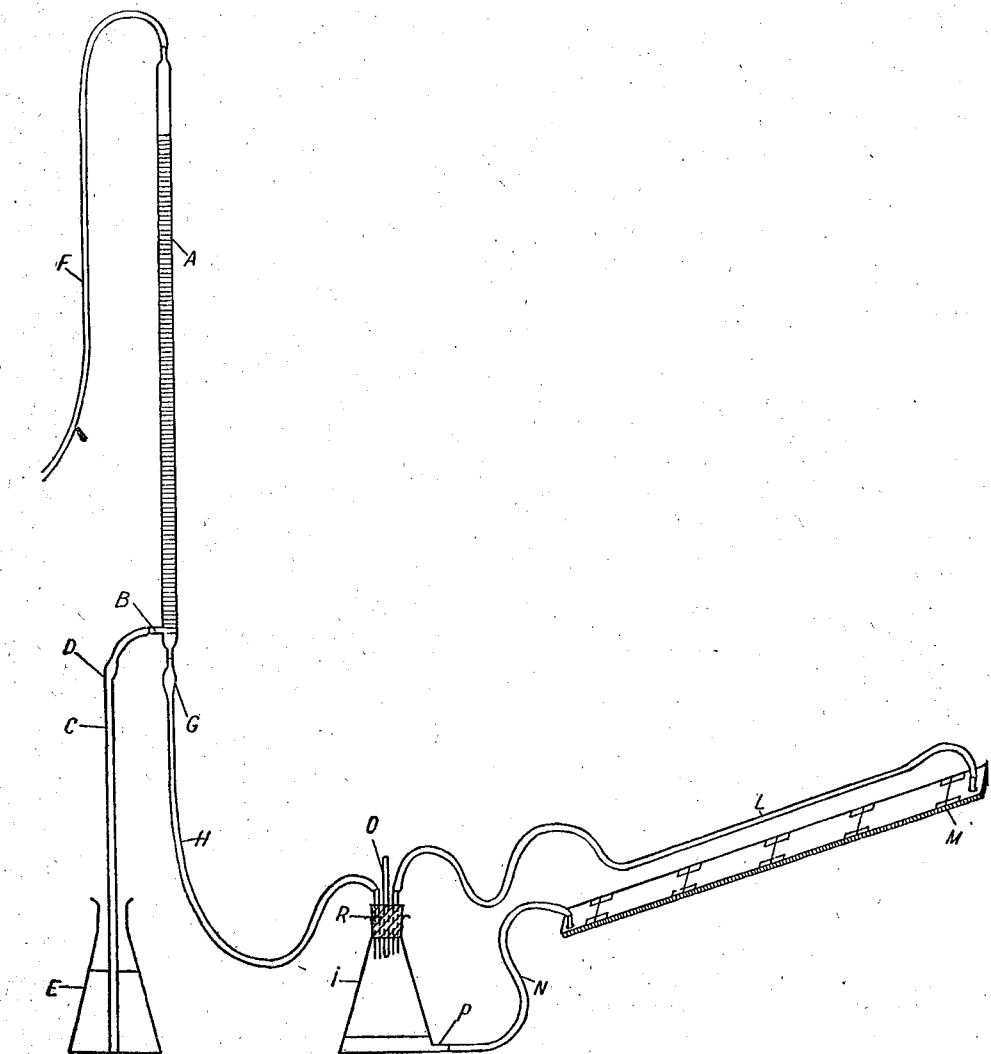


Fig. 5. — Titrarea $\text{Ba}(\text{OH})_2$.

cantitate de CO_2 din aer, obținîndu-se 0,304 cm³ CO_2 la litru de aer. În al 2-lea și al 3-lea sistem absorbant s-au mai absorbit cîte 0,0093 cm³ CO_2 la litru de aer. Această cantitate de CO_2 probabil a pătruns prin peretele tubului de legătură de cauciuc. Numai așa se poate explica faptul că în cel

Tabelul nr. 1

Controlul absorbției CO_2 din curentul de aer

Nr. aparatului pentru absorbția CO_2	Aerul analizat	Concentrația CO_2 cm ³ /l aer	CO_2 absorbit %
1	aer de afară	0,3040	100
2	aer trecut în prealabil prin aparatul pentru absorbția CO_2 nr. 1	0,0093	2,72
3	aer trecut în prealabil prin apărtele pentru absorbția CO_2 nr. 1 și nr. 2	0,0093	2,72

de-al 3-lea aparat pentru absorbția CO_2 , s-a absorbit aceeași cantitate de CO_2 ca în aparatul nr. 2. Dacă CO_2 găsit în aparatul nr. 2 ar reprezenta CO_2 rămas neabsorbit de aparatul nr. 1, ar trebui ca în aparatul nr. 3 să se găsească o cantitate de aer mai mică decât în aparatul pentru absorbția CO_2 nr. 2.

Pompa de aer pentru umflarea baloanelor de cauciuc se poate confectiona ușor dintr-o pompă de pulverizat insecticide lichide. În locul dispozitivului de pulverizare, lipim tubul de legătură *A* (fig. 6) de care atașăm

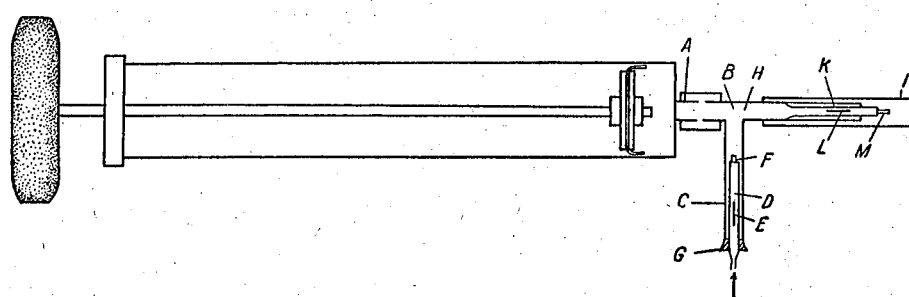


Fig. 6. — Pompa pentru umflarea cu aer a baloanelor de cauciuc.

tubul *B* în formă de „T”. În ramura *C* a acestuia se introduce un ventil prin care se aspiră aerul, confectionat din tubul de cauciuc *D*, cu o secțiune longitudinală *E* de 20 mm, închis la un capăt *F* și atașat la celălalt capăt la tubul *C*, prin dopul de cauciuc *G*. La ramura *H* a tubului *B* atașăm un ventil care asigură ieșirea aerului comprimat de pistonul pompei în tubul de cauciuc *I*. Acest al doilea ventil se confectionează din tubul de cauciuc *K*, cu secțiunea longitudinală *L* de 20 mm, închis cu dopul *M* și atașat la porțiunea subțiată a tubului *H*.

Spre a ne convinge de eroarea comisă la determinarea CO_2 dintr-un curent de aer, am efectuat analize folosind 4 apărate concomitent. Valorile sunt trecute în tabelul nr. 2, din care rezultă că se obțin abateri relativ mici, în care CO_2 nu depășește $\pm 1,26\%$ față de medie.

Tabelul nr. 2

Analiza CO_2 din aerul din Grădina botanică, la 9 m deasupra suprafeței solului, efectuată concomitent cu 4 apărate

Nr. aparatului pentru absorbția CO_2	Volumul aerului analizat 1	cm ² CO_2 la 1 aer	Diferența față de medie	Eroarea %
1	3,090	0,323	+0,001	0,31
2	3,178	0,318	-0,004	1,26
3	3,168	0,320	-0,002	0,63
4	3,785	0,326	+0,004	1,26
media	3,222	0,311	+0,002	0,63
1	3,090	0,308	-0,001	0,31
2	3,178	0,307	-0,002	0,63
3	3,168	0,309	0,000	0,00
4	3,785	0,309	0,000	0,00
media	3,099			

La o determinare a intensității fotosintezei, eroarea maximă nu depășește $\pm 2,52\%$, ceea ce este suficient în cele mai multe cercetări.

Camera de asimilație (fig. 7) este construită după principiul pensetei. Două plăci de geam transparent, *A* și *B*, din masă plastică, sunt lipite la o pensetă *E*, închisă cu ajutorul resortului *F*. De fiecare geam transparent este prins către un tub subțire de cauciuc, pus în legătură prin tubul

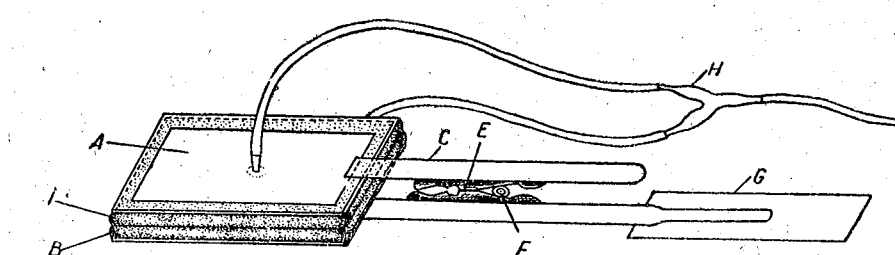


Fig. 7. — Cameră de asimilare.

(*H*) în formă de „Y” cu aparatul pentru absorbția CO_2 din curentul de aer. Între cele două plăci transparente *A* și *B*, se aşază o fișie de burete de cauciuc poros, prin care pătrunde aerul din mediul înconjurător în camera de asimilare.

În vederea verificării metodei de mai sus, am efectuat determinări asupra intensității fotosintezei a două frunze de floarea-soarelui, în plin soare. Exponerea a durat între 12 și 17 min. Debitul curentului de aer trecut prin camera de asimilație a fost de 200 cm³/min. Suprafața frunzelor a fost de 15 cm². Intensitatea fotosintezei a fost la prima frunză de 13,1 cm³ la prima determinare și de 15,0 cm³ CO_2 asimilat de 1 dm²/h la

a doua determinare. La a doua frunză am găsit în determinări succesive valorile de $16,2 \text{ cm}^3 \text{ CO}_2 / \text{dm}^2/\text{h}$ și de $13,5 \text{ cm}^3 / \text{dm}^2/\text{h}$.

Valorile obținute pentru intensitatea fotosintezei sunt suficient de mari pentru determinări în natură.

BIBLIOGRAFIE

1. BOYSEN-JENSEN P., Planta, 1933, 21, 368.
2. НИЧИПОРОВИЧ А. А., СТРОГОНОВА Л. Е., ЧИМОВА С. Н. и ВЛАСОВА М. И., *Фотосинтетическая деятельность растений в посевах*, Изд. Ак. наук СССР, Москва, 1961.
3. SALÄGEANU N., Revue de biologie, 1959, 4, 1, 19–26.

*Institutul de biologie „Traian Săvulescu”,
Laboratorul de fiziologie vegetală.*

Primită în redacție la 23 mai 1964.

MERSUL INTENSITĂȚII FOTOSINTEZEI ȘI AL CANTITĂȚII UNOR SUBSTANȚE DIN FRUNZE ÎN DECURSUL ZILEI*

DE

GEORGETA FABIAN-GALAN

581(05)

Concomitent cu intensitatea fotosintezei în decursul zilei s-a determinat cantitatea unor dintre substanțele din frunzele de spanac, *Bryophyllum D.B.* și bumbac. Cantitatea glucidelor, a acizilor organici și a proteinelor a urmat mai îndeaproape schimbările intensității fotosintezei din decursul zilei decit aminoacizii. Între schimbările cantității acestora din urmă și ale intensității fotosintezei, paralelismul a fost doar parțial.

Prin determinarea concomitentă a intensității fotosintezei și a unor substanțe din frunze, am căutat să obținem un răspuns la întrebarea dacă și în ce măsură există un paralelism între oscilațiile intensității acesteia și cele ale cantității diferitelor substanțe.

Experiențele au fost efectuate în vara anului 1962, în Grădina botanică din București. Ca material experimental am folosit plante de spanac, *Bryophyllum D.B.* și bumbac crescute în vase de vegetație. Intensitatea fotosintezei a fost determinată cu ajutorul curentului de aer după N. Sălăgeanu (14), iar glucidele solubile, acizii organici și aminoacizii au fost determinați cu ajutorul cromatografiei pe hârtie. Metodele folosite în acest scop au fost cele recomandate de M.-L. Chambigny (5). Amidonul a fost determinat cu metoda lui Sachs, iar substanțele cu legături peptidice cu ajutorul reacției biuretului, descrisă de M. H. Cailahian (4).

Asupra condițiilor meteorologice și ale concentrației CO_2 atmosferic din zilele în care au fost efectuate experiențele, ne informează curbele din figurile destinate prezentării mersului intensității fotosintezei (fig. 1–3).

După cum arată figura 1, fotosintеза plantelor de spanac a avut în decursul zilei de 21.VI.1962 două maxime de intensitate, primul la

* Lucrare publicată și în „Revue roumaine de biologie – Série de botanique”, 1964, IX, 6, p. 395 (în limba engleză).

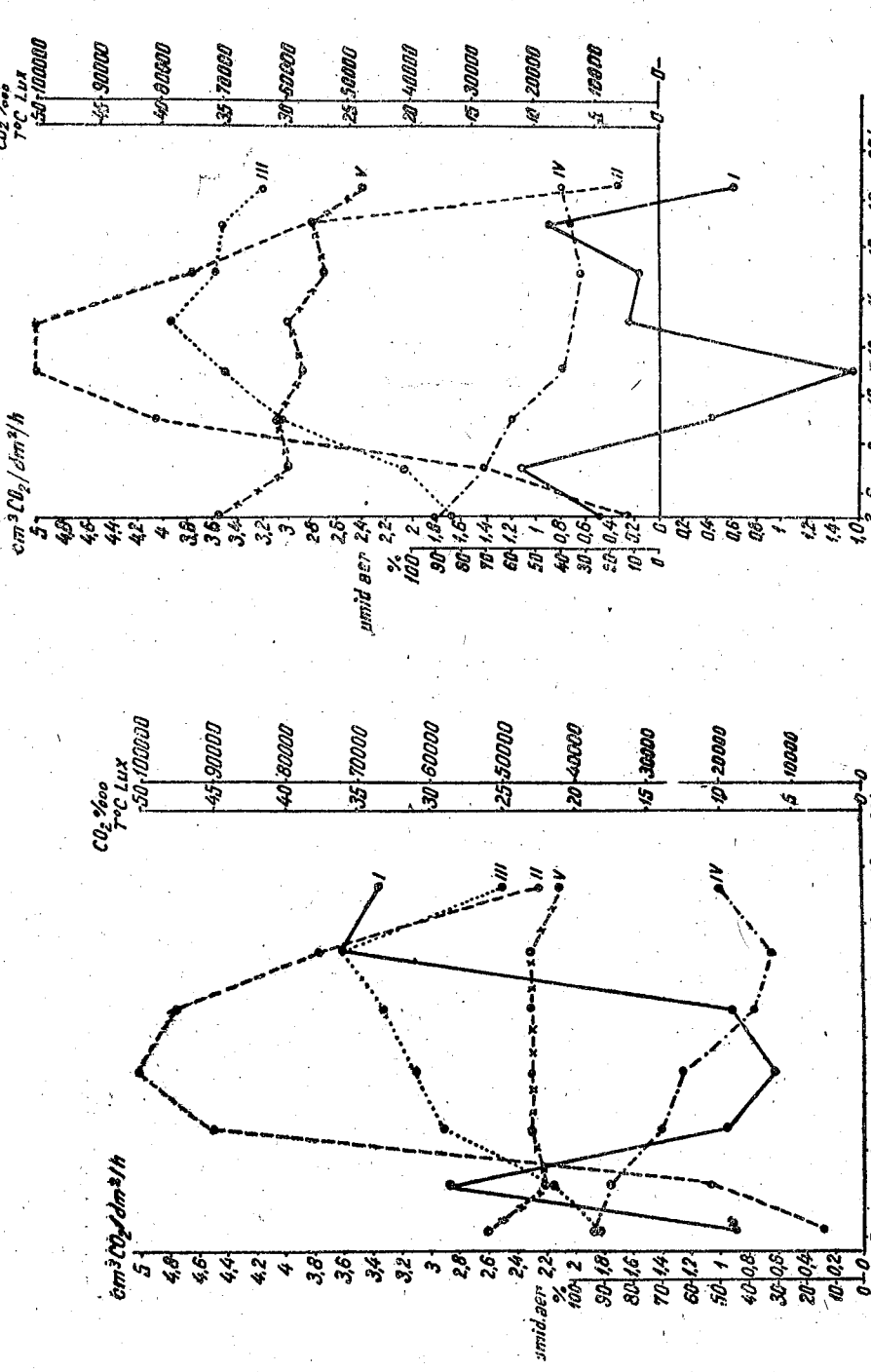


Fig. 1. — Mersul intensității fotoîntezei I, al umidității luminii II, al temperaturii III, al concentrației CO_2 din aer V, în decursul zilei de 21.VI.1962 la spanac.

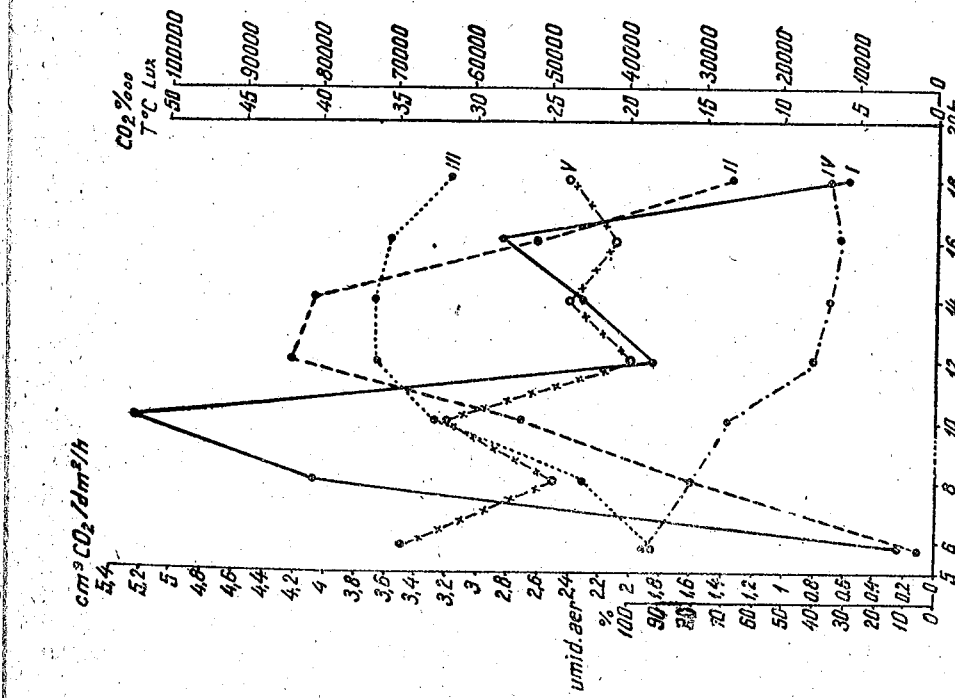


Fig. 3. — Mersul intensității fotoîntezei I, al umidității luminii II, al temperaturii III, al concentrației CO_2 din aer V, în decursul zilei de 28.VIII.1962 la hambuc.

Fig. 2. — Mersul intensității fotosintizei I, al umidității luminii II, al temperaturii III, al concentrației CO_2 din aer V, în decursul zilei de 6.VII. 1962 la *Bryophyllum D.B.*

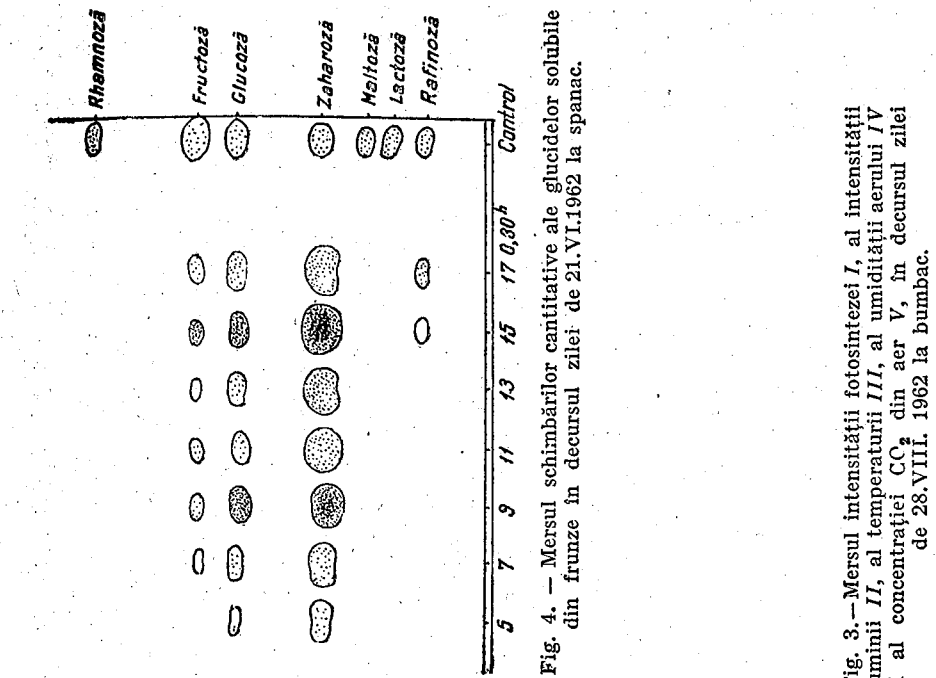
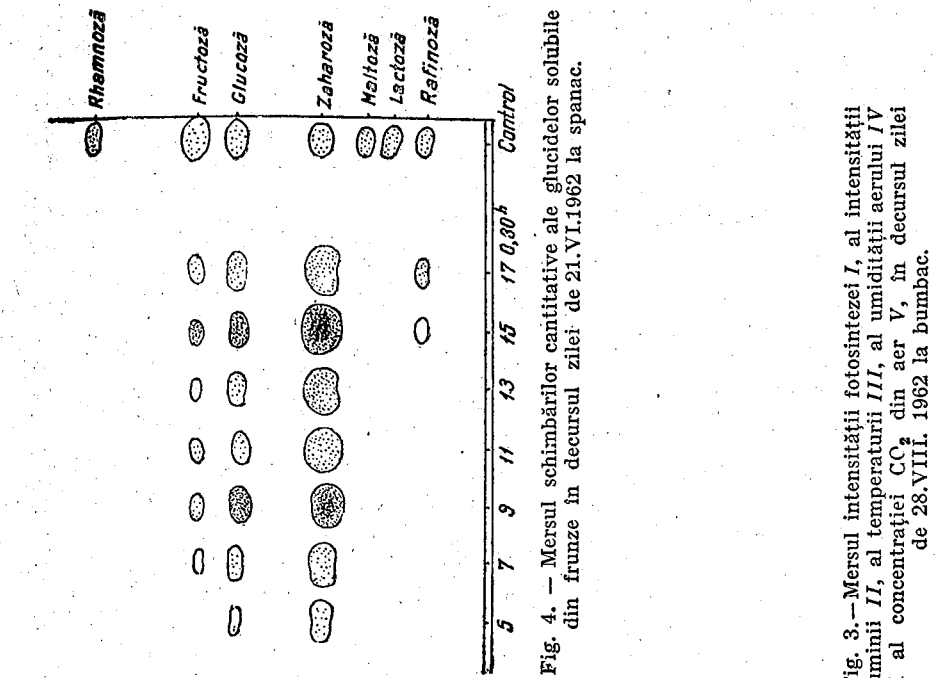


Fig. 4. — Mersul schimbărilor cantitative ale glucidelor solubile din frunze în decursul zilei de 21.VI.1962 la spanac.



ora 7, iar celălalt la ora 15. Între aceste ore, fotosinteza a prezentat o depresiune care a atins maximul la amiază. Valoarea medie a fotosintizei a fost în decursul acestei zile de $1,90 \text{ cm}^3 \text{ CO}_2 / \text{dm}^2 \cdot \text{oră}$.

Asupra mersului diurn al fotosintizei la *Bryophyllum D. B.* am efectuat determinări în ziua de 6.VII.1962, o zi senină și foarte călduroasă. Rezultatele obținute sunt prezentate în figura 2. Intensitatea fotosintizei a avut un maxim la ora 7 și un al doilea maxim la ora 17. Deci și la *Bryophyllum* asimilația CO_2 a avut în decursul zilei două maxime de intensitate, separate printr-o depresiune care, după cum se poate constata din figură, a coborit mult sub punctul de compensație între orele 8 și 12. Valoarea medie a intensității fotosintizei a fost destul de scăzută, și anume de numai $0,23 \text{ cm}^3 \text{ CO}_2 / \text{dm}^2 \cdot \text{oră}$.

În figura 3 sunt prezentate rezultatele obținute la bumbac în ziua de 28.VIII.1962 asupra mersului diurn al intensității fotosintizei. Ea a avut de asemenea două maxime, unul la ora 10 și al doilea la ora 16. Față de primul, maximul din urmă a avut o valoare relativ scăzută. Depresiunea fotosintizei din orele de amiază a fost mai puțin pronunțată și de durată mai scurtă. Valoarea medie a intensității fotosintizei a fost în cursul zilei de $2,42 \text{ cm}^3 \text{ CO}_2 / \text{dm}^2 \cdot \text{oră}$.

Comparând variațiile cantitative ale glucidelor solubile din frunzele de spanac (fig. 4) cu cele ale intensității fotosintizei de la aceeași plantă (fig. 1), constatăm că în linii mari cantitățile glucidelor s-au schimbat în decursul zilei paralel cu intensitatea fotosintizei. Astfel, cantitatea glucidelor solubile a fost mare în acele ore ale zilei cînd și fotosintiza a fost intensă și a fost relativ scăzută în acele ore ale zilei cînd și intensitatea fotosintizei a fost scăzută. O excepție a constituit-o însă faptul că primul maxim al intensității fotosintizei nu a coincis cu primul maxim al cantității glucidelor, acesta din urmă apărînd de-abia după ce fotosintiza a atins primul maxim de intensitate.

Variatia cantitativă a amidonului a avut un mers asemănător cu cel al glucidelor solubile, cu deosebirea că maximul cantității de amidon a apărut după primul maxim de intensitate al fotosintizei și înaintea apariției cantității maxime a glucidelor solubile.

Excepția aceasta nu poate fi considerată ca o dovadă împotriva originii fotosintetice a glucidelor, pentru că ea se poate explica prin aceea că glucidele detectate de noi provin dintr-un produs primar al fotosintizei, care, acumulîndu-se în țesuturile foliare în timpul fotosintizei intense, continuă să se transforme în produși secundari, în glucide în cazul nostru, și după ce fotosintiza înregistrează scăderea obișnuită de la mijlocul zilei.

Figura 5 reprezintă cromatograma variațiilor cantitative ale glucidelor solubile din frunzele de *Bryophyllum D. B.* în decursul zilei de 6.VII.1962. Si în acest caz, ca și la spanac, cantitățile glucidelor au fost mari în acele ore ale zilei în care intensitatea fotosintizei (fig. 2) a început să scăde, deci la începutul apariției depresiunii fotosintizei din orele de amiază. La ora 15, cînd intensitatea fotosintizei a fost încă scăzută, cantitatea tuturor zaharurilor a fost minimă. Acest lucru s-a putut observa în parte și la spanac, unde cantitatea glucozei și fructozei a prezentat valori minime, adică după 2–3 ore de la depresiunea maximă a intensității fotosintizei.

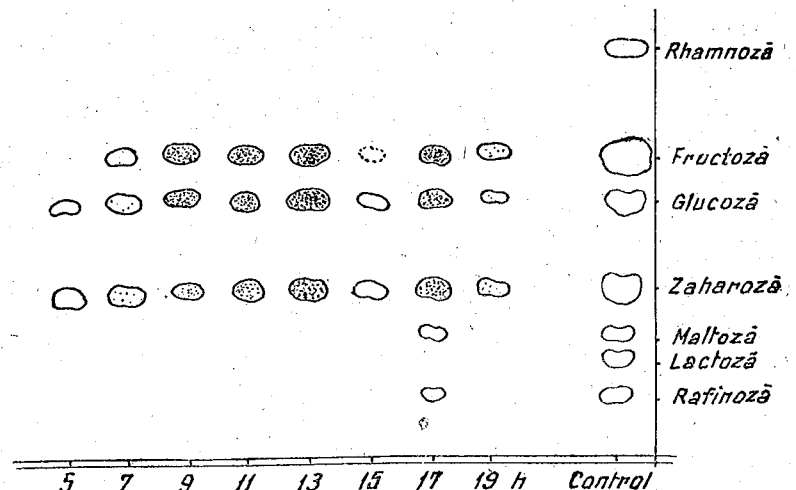


Fig. 5. — Mersul schimbărilor cantitative ale glucidelor solubile din frunze în decursul zilei de 6.VII.1962 la *Bryophyllum D.B.*

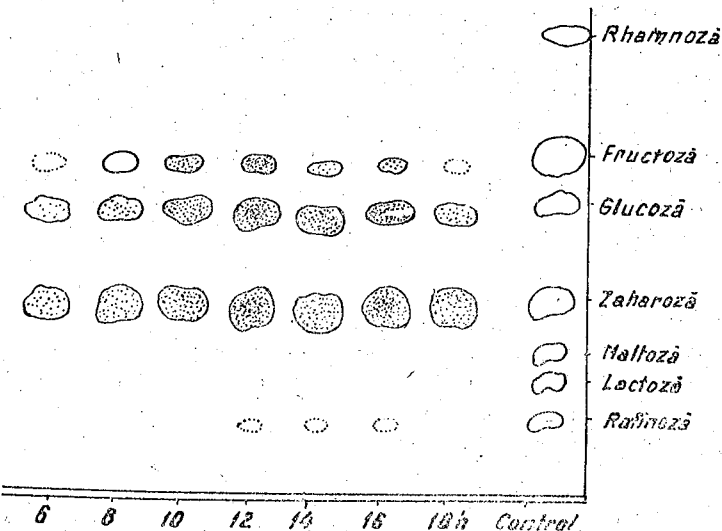


Fig. 6. — Mersul schimbărilor cantitative ale glucidelor solubile din frunze în decursul zilei de 28.VIII.1962 la bumbac.

În ceea ce privește amidonul, cantitatea lui maximă din orele dimineații a apărut după două ore de la maximul de dimineață al intensității fotosintezei. Maximul de după amiază al cantității de amidon a coincis cu cel de-al doilea maxim de intensitate al fotosintezei.

În figura 6 prezentăm variațiile cantitative ale glucidelor solubile din frunzele de bumbac. Comparând aceste variații cu mersul fotosintezei (fig. 3), se constată că în cursul dimineții o dată cu intensitatea fotosintezei crește și cantitatea glucidelor. În timpul depresiunii fotosintezei, cantitatea glucidelor rămâne neschimbată și se micșorează doar către seară, cînd și intensitatea fotosintezei scade.

De subliniat este faptul că la bumbac nu se observă vreo scădere a cantității glucidelor solubile în perioada de la sfîrșitul depresiunii fotosintezei, ca în cazul celorlalte două specii de plante cercetate. Faptul acesta se datorește, după noi, depresiunii puțin accentuate a fotosintezei de la amiază.

La toate speciile de plante cercetate, cantitatea de amidon a urmat mai îndeaproape mersul fotosintezei în decursul zilei decît glucidele solubile. Cantitatea maximă a amidonului s-a situat în timp între primul maxim al intensității fotosintezei și cantitatea maximă a glucidelor solubile, ceea ce denotă că fluctuațiile cantitative diurne ale unui reprezentant oarecare al hidraților de carbon sunt determinate nu numai de intensitatea fotosintezei, ci și de fluctuațiile cantitative ale celorlalți reprezentanți ai hidraților de carbon. Cu alte cuvinte, există și o legătură genetică reciprocă între diferenții hidrați de carbon din frunze.

Datele noastre mai arată că zaharoza a apărut în frunzele plantelor cercetate înaintea amidonului. Constatări asemănătoare au fost făcute și de H. T. Brown și G. H. Morris (2), de P. P. Stănescu, A. Aronescu și I. Gr. Mihăilescu (17), precum și de J. H. C. Smith (16).

După datele noastre zaharoza a apărut în frunze într-o cantitate mare și înaintea glucozei și fructozei. Si această constatare denotă că zaharoza joacă un rol însemnat în procesele metabolice din organismul vegetal. Lipsa unor date suplimentare ne împiedică însă să facem afirmații asupra legăturilor ei genetice cu celalți hidrați de carbon din frunze. După concepția lui M. Calvin și A. A. Benson (3), precum și a lui E. Putman și W. Z. Hassid (13), zaharoza este sintetizată din fructoză și glucoză. În lumina acestei concepții, faptul că zaharoza apare înaintea glucozei și fructozei s-ar putea explica prin consumarea acestor doi produși în procesul de sinteză a zaharozei. În ce măsură apariția timpurie a zaharozei poate fi privită ca o dovadă pentru sinteza ei directă rămîne de lămurit. Deocamdată mai rămîne nelămurit și faptul menționat mai sus că zaharoza apare și înaintea amidonului. În privința aceasta, lucrurile par a fi și mai complicate decât în privința relațiilor cantitative dintre zaharoză, pe de o parte, și glucoză și fructoză, pe de altă parte.

A. J. Smirnov, P. S. Erygin, M. A. Dobrogla și T. M. Maškowsk (15) au găsit că oscilațiile diurne ale diferenților hidrați de carbon sunt neuniforme, fapt care s-ar datora diferenței dintre asimilație și transport. Noi am făcut abstracție de transportul asimilatelor din frunze. Este neîndoialnic faptul că cercetările în care se va ține seamă și de transportul asimilatelor din frunze vor aduce contribuții

însemnate la cunoașterea mai exactă a variațiilor cantitative ale substanelor sintetizate în frunze.

Rezumind constatările noastre cu privire la schimbarea cantității glucidelor din frunze în decursul zilei, putem spune că, în general, acestea urmărază într-o măsură destul de evidentă mersul schimbărilor la care se supune intensitatea fotosintezei în decursul zilei, fapt constatat, de altfel, și de W. Gast (8). Atât doar că, pînă în primele ore ale după-amiezii, mersul variațiilor cantitative ale glucidelor din frunze este întrucîptiva întîrzit față de mersul intensității fotosintezei.

În figura 7 prezentăm mersul schimbărilor cantitative ale acizilor organici din frunzele de spanac în decursul zilei de 21.VI.1962. Figura arată că în linii mari cantitatea acizilor tartric și citric se schimbă paralel cu mersul intensității fotosintezei (fig. 1). Acidul fosfogliceric, cu singura excepție că la ora 7 dimineață intensitatea mare a fotosintezei a fost însoțită de prezența unei cantități de asemenea mari a acestui acid, și-a schimbat cantitatea în decursul zilei în sens invers cu intensitatea fotosintezei. Acizii malic și succinic nu au prezentat în cursul zilei schimbări cantitative însemnate. Acidul α -cetoglutaric a apărut în cantități foarte mici în decursul întregii zile.

Dintre acizii organici izolați din frunzele de *Bryophyllum* (fig. 8), acizii fumaric, aconitic, succinic, malic și citric au prezentat schimbări cantitative paralele cu fotosintеза (fig. 2). Ceilalți doi acizi separați, și anume acidul tartric și fosfogliceric, au prezentat în linii mari un mers invers cu cel al fotosintezei.

La bumbac (fig. 9), paralel cu intensitatea fotosintezei (fig. 3), s-au schimbat cantitățile acizilor tartric, citric și succinic. Ceilalți doi acizi apărăți pe cromatogramă, și anume acizii malic și fosfogliceric, au avut din punct de vedere cantitativ un mers invers.

La toate cele trei specii de plante cercetate, doar acizii citric și fosfogliceric s-au comportat în mod asemănător față de mersul fotosintezei. Faptul acesta denotă că la aceste specii calea de formare a acizilor citric și fosfogliceric este probabil aceeași. Căile de formare a celorlalți acizi organici par a fi deosebite.

Din datele noastre rezultă că la răsăritul soarelui în frunzele plantelor cercetate de noi a existat o cantitate mică de acizi organici. Această cantitate a crescut apoi, pînă la atins la majoritatea acizilor găsiți un maxim concomitant cu primul maxim de intensitate a fotosintezei.

Mai rezultă că, în afara acidului fosfogliceric la toate speciile de plante examinate, și acidului malic la bumbac și și acidului tartric la *Bryophyllum*, toți acizii organici detectați au urmat în decursul zilei mersul intensității fotosintezei. Bazîndu-ne pe acest fapt, putem spune că acizii organici sunt în parte produși ai fotosintezei. Făcînd această afirmație, ne sprijinim și pe datele lui R. F. Stutz și R. H. Burris (18), A. Moyse (11) și G. Jolchine (9), care au arătat că acizii organici se formează din precursori sintetizați în fazele inițiale ale fotosintezei. Rezultatele noastre confirmă părerea lui A. Moyse (11), după care acidul fosfogliceric este un produs atât al fotosintezei, cât și al respirației. Datele noastre nu confirmă părerea că în timpul nopții ar crește cantitatea acizilor organici din țesu-

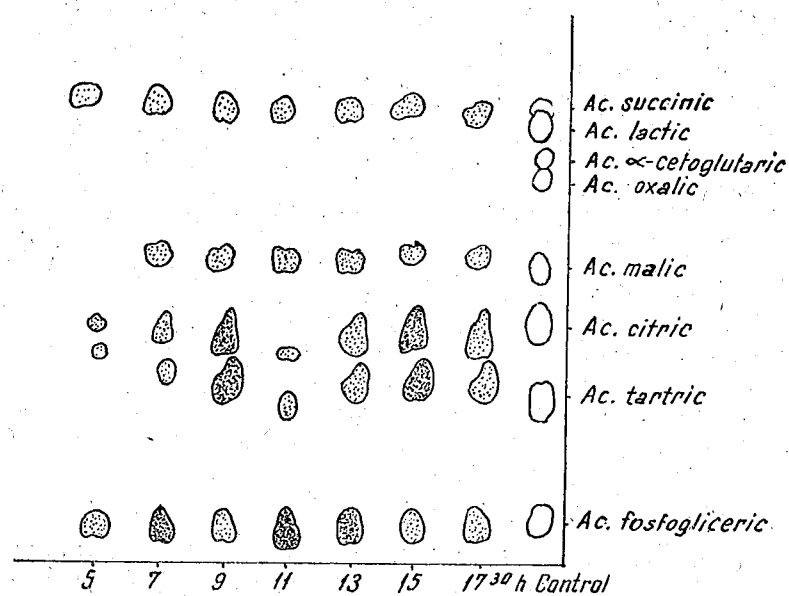


Fig. 7. — Mersul schimbărilor cantitative ale acizilor organici din frunze în decursul zilei de 21.VI.1962 la spanac.

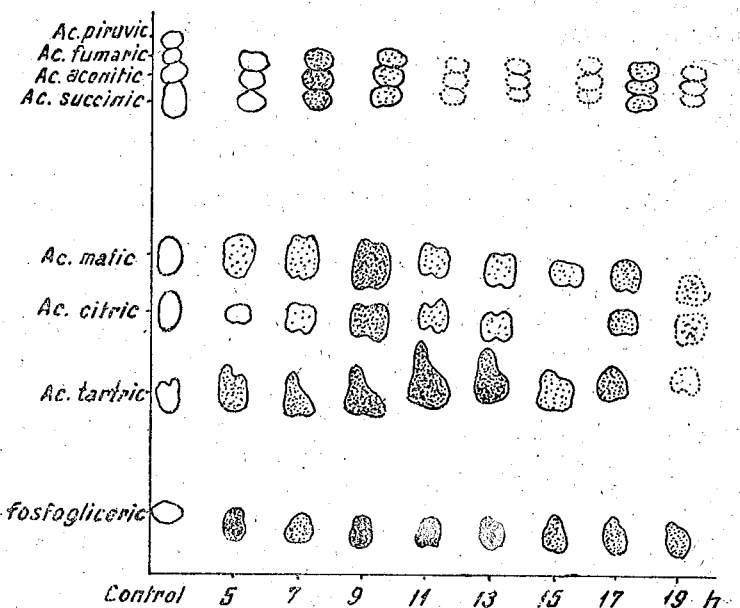


Fig. 8. — Mersul schimbărilor cantitative ale acizilor organici din frunze în decursul zilei de 6.VII.1962 la *Bryophyllum* D.B.

turile vegetale. Aceasta cel puțin în ceea ce privește speciile de plante cercetate de noi. Este adevărat că determinările noastre au fost efectuate numai ziua, dar, dacă frunzele plantelor ar fi avut în decursul nopții o cantitate de acizi organici mai mare decât în decursul zilei, este de presupus că la ora 5 dimineață cînd au fost incepute experiențele noastre, în frunzele plantelor cercetate să fi existat o cantitate de acizi organici mai mare decât în restul zilei.

Din figura 10 rezultă că atît numărul, cît și cantitatea aminoacizilor izolați din frunzele de spanac în decursul zilei au fost mari în acele ore ale zilei în care și intensitatea fotosintezei a fost crescută (fig. 1). În orele în care intensitatea fotosintezei a fost scăzută, numărul și cantitatea aminoacizilor au fost mai mici. De aici rezultă că schimbările cantitative ale aminoacizilor au avut un mers paralel cu cel al intensității fotosintezei. O situație asemănătoare am putut constata la *Bryophyllum* (fig. 11) doar în orele de după-amiază; înainte de amiază, cantitatea aminoacizilor s-a schimbat în general în sens invers celui al fotosintezei (fig. 2).

La bumbac (fig. 12), în schimb, găsim o situație inversă față de cea de la *Bryophyllum*, în sensul că se constată un paralelism între cantitatea aminoacizilor și fotosinteză (fig. 3) doar pînă la ora 14; după aceea mersul schimbărilor cantitative ale aminoacizilor a fost invers față de cel al schimbărilor fotosintezei.

Din datele noastre rezultă că aminoacizii sunt, cel puțin în parte, produși ai fotosintezei. Legătura dintre fotosinteză și formarea aminoacizilor a fost, de altfel, susținută și de N. P. V o s k r e s e n s k a i a (19), L. A. N e z g o v o r o v a (12) și de M.-L. C h a m p i g n y (6), care au arătat că sinteza aminoacizilor este cu atît mai intensă, cu cît și fotosintiza este mai intensă.

Din determinările noastre, efectuate cu ajutorul reacției biuretului, a reieșit că frunzele conțin în decursul zilei cantități diferite de proteine. Cantitatea cea mai mică a fost înregistrată în orele de la mijlocul zilei, cînd fotosintiza a trecut prin depresiunea de amiază. După T. F. A n d r e e v a (1), sinteza proteinelor este într-o legătură strînsă cu assimilația CO_2 . A. J. S m i r n o v și colaboratori (15) au constatat de asemenea că la amiază frunzele conțin cea mai mică cantitate de azot proteic și au explicat acest fapt ca fiind un rezultat al hidrolizei proteinelor, datorită acțiunii temperaturii înalte de la mijlocul zilei. A. C. C h i b n a l l (7) și K. M o t h e s (10) au explicat scăderea cantității azotului proteic de la amiază în același fel. Este posibil ca la mijlocul zilei cantitatea proteinelor să scăde și datorită temperaturii ridicate, dar mai puțin în sensul arătat de autorii de mai sus, ci în sensul că temperatura contribuie, printre alți factori, la frînarea fotosintezei de la amiază. Numai astfel poate fi explicată constatarea făcută de noi că în decursul zilei a existat un paralelism destul de evident între mersul intensității fotosintezei și cel al schimbării cantității proteinelor.

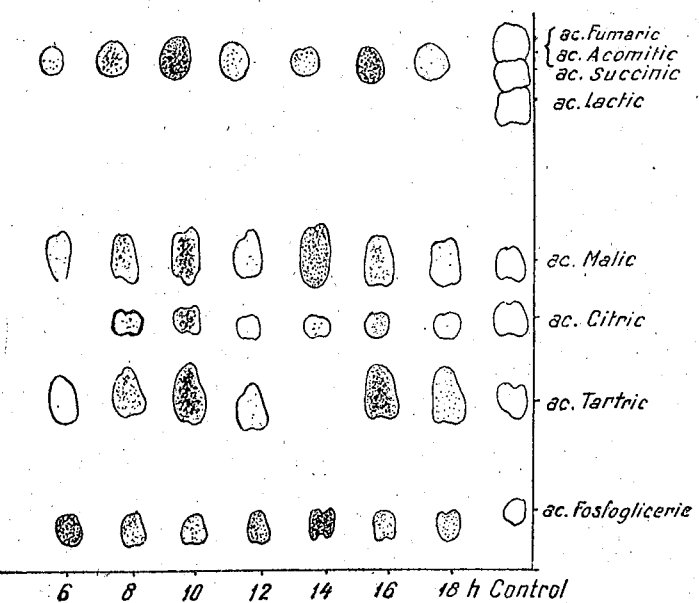


Fig. 9. — Mersul schimbărilor cantitative ale acizilor organici din frunze în decursul zilei de 28.VIII.1962 la bumbac.

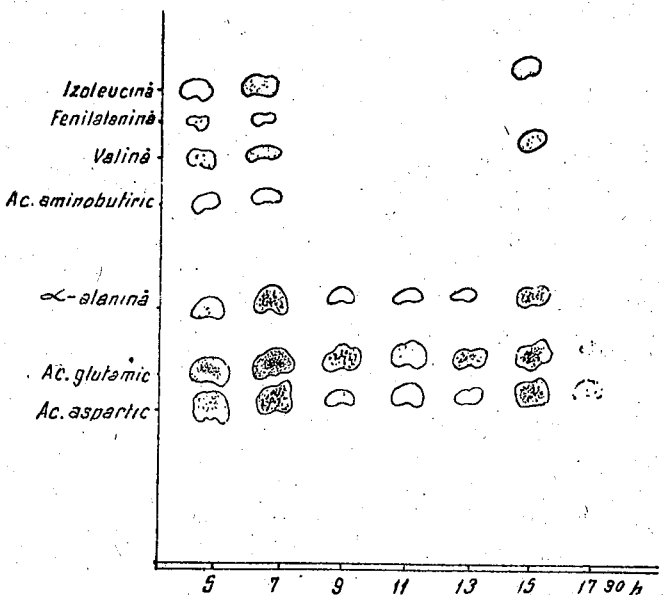


Fig. 10. — Mersul schimbărilor cantitative ale aminoacizilor din frunze în decursul zilei de 21.VI.1962 la spanac.

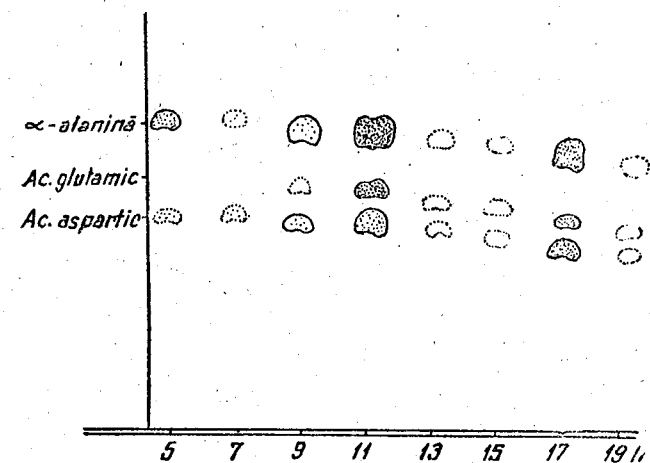


Fig. 11. — Mersul schimbărilor cantitative ale aminoacizilor din frunze în decursul zilei de 6.VII.1962 la *Bryophyllum D.B.*

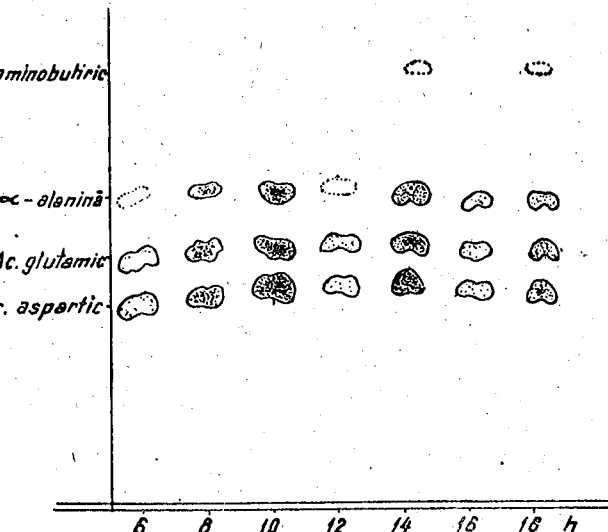


Fig. 12. — Mersul schimbărilor cantitative ale aminoacizilor din frunze în decursul zilei de 28.VIII.1962 la bumbac.

CONCLUZII

În decursul zilelor de vară ale anului 1962, fotosinteza plantelor de spanac, *Bryophyllum* D. B. și bumbac a avut două maxime de intensitate, unul în orele dimineații și unul în orele de după amiază. Depresiunea care a separat aceste două maxime a fost deosebit de profundă la *Bryophyllum* și spanac și mai puțin profundă la bumbac.

Glucidele din frunze au atins cantitatea maximă după începutul depresiunii fotosintezei. După-amiază, cantitatea glucidelor din frunze s-a schimbat paralel cu intensitatea fotosintezei.

La răsăritul soarelui în frunze a apărut mai întâi zaharoza, iar mai tîrziu glucoza, fructoza și la urmă amidonul.

Cu excepția acidului fosfogliceric la toate speciile examineate, a acidului malic la bumbac și a acidului tartric la *Bryophyllum*, toți acizii organici izolați au urmat într-un mod destul de evident mersul intensității fotosintezei.

La spanac, schimbările cantității aminoacizilor izolați din frunze au mers în decursul zilei paralel cu schimbările fotosintezei. La bumbac, schimbările acestea au mers paralel cu cele ale intensității fotosintezei doar pînă la ora 14, iar la *Bryophyllum* doar între orele 13 și 19.

La spanac și bumbac, cantitatea minimă de aminoacizi a coincis cu timpul în care fotosinteza a trecut prin depresiunea de la mijlocul zilei, iar la *Bryophyllum* cantitatea maximă a aminoacizilor a coincis cu depresiunea fotosintezei de la amiază.

Variatiile cantitative ale proteinelor au avut în decursul zilei un mers paralel cu cel al fotosintezei la toate cele trei specii de plante cercetate.

BIBLIOGRAFIE

1. АНДРЕЕВА Т. Ф., ДАН СССР, 1955, **102**, 165–167.
2. BROWN H. T. a. MORRIS G. H., J. of the Chem. Soc., 1893, **63**, 604–677.
3. CALVIN M. a. BENSON A. A., Science, 1949, **109**, 140–142.
4. ЧАИЛАХИАН М. Х., ДАН СССР, 1954, **95**, 415–419.
5. CHAMPIGNY M.-L., *L'influence de la lumière sur la genèse des acides aminés dans les feuilles de Bryophyllum D.B.*, Paris, 1960.
6. — C.R. de l'Acad. de Sci., 1956, **343**, 83–85.
7. CHIBNALL A. G., Biochem. J., 1924, **18**, 387.
8. GAST W., Z. physiol. Chem., 1917, **99**, 1–54.
9. JOLCHINE G., Bull. de la Soc. de Chim. Biol., 1959, **41**, 227–234.
10. MOTHES K., Planta (Berlin), 1926, **1**, 472–557.
11. MOYSE A., *Les produits de la fixation de CO₂ par les végétaux. Relation entre la photo-synthèse et la respiration*, The Vth International Congress of Biochemistry, Moscova, 1961, Symposium, VI, 112.
12. НЕЗГОРОВА Л. А., Физиол. раст., 1956, **6**, 497–507.
13. PUTMAN E. a. HASSID W. Z., J. of Biol. Chem., 1954, **207**, 885–902.
14. SĂLĂGEANU N., St. și cerc. biol., Seria biol. veget., 1958, **10**, 161.

15. SMIRNOV A. J., ERYGIN P. S., DOBROGLAW M. A. u. MASKOWTSEW T. M., *Planta* (Berlin), 1928, **6**, 687–766.
16. SMITH J.H.C., Plant Physiol., 1944, **19**, 394–403.
17. STĂNESCU P. P., ARONESCУ ALICE și MIHĂILESCU I. GR., Bul. Sec. șt. Acad. Rom., 1932, **3–4**.
18. STUTZ R. F. a. BURRIS R. H., Plant Physiol., 1951, **26**, 226–243.
19. БОКРЕСЕНСКАЯ Н. П., Физиол. раст., 1956, **3**, 49–57.

*Institutul de biologie „Traian Săvulescu”,
Laboratorul de fiziolgia plantelor.*

Primită în redacție la 8 mai 1964.

RANDAMENTUL FOTOSINTEZEI LA UNELE PLANTE DE CULTURĂ*

DE
VIORICA TĂNASE

581(05)

Randamentul fotosintезei față de lumina totală căzută asupra plantelor și față de lumina absorbită de către plante este în funcție de specie și de fază de vegetație. Astfel, randamentul fotosintезei este la fasole mai scăzut decât la floarea-soarelui și orz. În decursul perioadei de vegetație, randamentul maxim corespunde intensității maxime a fotosintезei. La orz randamentul fotosintезei a oscilat între 0,5 și 4,8%, la fasole între 0,2 și 0,5%, iar la floarea-soarelui a fost de 0,79–2,07%. Îngrășarea plantelor cu NP a determinat creșterea randamentului.

În vara anului 1963 am studiat coeficientul folosirii energiei luminoase în fotosintезă de către plantele de orz Cenad 396, fasole Bănațeană și floarea-soarelui Vnimk. Plantele au fost cultivate pe terenul Stațiunii experimentale Pantelimon a Facultății de biologie București, în două variante: plante de control, cultivate pe teren neîngrășat și plante cultivate pe un teren îngrășat cu azotat de amoniu și superfosfat.

Orzul, floarea-soarelui și fasolea au fost semănate între 17.IV și 3.V după normele agrotehnice obișnuite, iar îngrășările au fost administrate în două etape: la semănat și la 4 săptămâni de la răsăritul plantelor.

Am efectuat următoarele determinări:

1. Energia luminoasă totală, reflectată și trecută prin frunze în $\text{cal/cm}^2 \cdot \text{min}$ (actinometru Saviner și albedometru Ianicevski). Cantitatea de energie luminoasă absorbită a fost calculată după formula: $I = A + R + T$, în care I = energia luminoasă totală, R = energia luminoasă reflectată, T = energia luminoasă trecută prin frunză, iar A = energia absorbită de plantă. Astfel: $A = I - (R + T)$.
2. Intensitatea fotosintезei a fost apreciată în funcție de cantitatea de substanță uscată acumulată în decursul perioadei de vegetație, după metoda Niciporovici (6).

* Lucrare publicată și în „Revue roumaine de biologie — Série de botanique”, 1964, IX, 6, p. 409 (în limba engleză).

pînă la un minim cuprins între 20 și 27.VII, corespunzător înfloririi plantelor, apoi a crescut din nou pînă la un al doilea maxim situat între 12 și 19.VII după care a scăzut pînă aproape de zero la sfîrșitul perioadei de vegetație, între 25.VII și 2.VIII.

La fasolea tratată cu N P s-a observat un mers al fotosintezei aproape asemănător cu al plantelor de control, cu deosebirea că depresiunea fotosintezei de la 20.VII la 5.VIII a fost mai puțin accentuată, după care intensitatea fotosintezei a scăzut ușor față de martor, la care fotosintеза a crescut. Al doilea maxim al fotosintezei plantelor tratate a fost situat mai tîrziu cu o săptămînă decît la plantele de control, dar avînd valori mai mari față de acestea, și anume $0,1 \text{ g/dm}^2 \cdot \text{zi}$ față de $0,062 \text{ g/dm}^2 \cdot \text{zi}$ la plantele de control; apoi, fotosintеза a scăzut pînă la $0,07 \text{ g/dm}^2 \cdot \text{zi}$ la sfîrșitul perioadei de vegetație. Deci capacitatea fotosintetizatoare a plantelor tratate se păstrează la un nivel ridicat un interval mai mare de timp din perioada vegetativă.

Dinamica suprafetei foliare a plantelor de fasole a fost reprezentată în figura 2. De aici se vede că suprafața foliară a unei plante a crescut continuu de la începutul perioadei de vegetație pînă la o dată situată între 20 și 27.VII, după care a scăzut treptat spre sfîrșitul perioadei de vegetație la plantele de control, iar la cele tratate scăderea s-a făcut mai lenit, dar a atins pînă la sfîrșit aceeași valoare ca și a plantelor de control.

Greutatea uscată a unei plante (fig. 3) a crescut de la începutul pînă la sfîrșitul perioadei de vegetație, treptat, la fasolea tratată cu N P; la plantele de control această creștere a fost mai lentă, mai ales spre sfîrșitul perioadei de vegetație, în ultimul interval 25.VII—2.VIII menținîndu-se aceeași valoare ca și în intervalul precedent 19—25.VII, în timp ce la plantele tratate cu N P creșterea greutății uscate se face în tot timpul perioadei de vegetație și atinge la sfîrșitul acesteia valori mai mari decît la plantele de control.

În figura 4 am reprezentat mersul fotosintezei la orzul Cenad 396. Se vede că intensitatea fotosintezei a crescut pînă la intervalul cuprins între 12 și 20.VII, cînd a atins valoarea maximă de $0,4 \text{ g/dm}^2 \cdot \text{zi}$ la orzul tratat cu N P, apoi a scăzut brusc spre sfîrșitul perioadei de vegetație între 4 și 12.VII. Fotosintеза plantelor tratate a avut același mers, dar valorile înregistrate de acestea au fost mai scăzute.

În figura 5 am reprezentat dinamica suprafetei foliare a unei plante de orz în dm^2 în decursul perioadei de vegetație. Astfel, la ambele variante suprafața foliară a scăzut de la data de 28.V pînă la 12.VII, cu deosebirea că la plantele tratate suprafața foliară are valori ceva mai mari la începutul perioadei de vegetație, 28.V—28.VI, după care însă suprafața foliară a plantelor tratate se apropie pînă la sfîrșitul perioadei de vegetație de valorile înregistrate la plantele de control.

În figura 6 am reprezentat creșterea greutății uscate a unei plante de orz Cenad 396 martor și tratat cu N P. Greutatea uscată a unei plante de orz martor a avut un mers ascendent, paralel cu al greutății uscate a plantelor de orz tratate cu N P, cu deosebirea că a înregistrat pe parcursul întregii perioade valori mai scăzute.

Masa uscată a plantelor de orz și de fasole, pe care am recoltat-o la intervale de timp de 7—8 zile pentru determinarea creșterii substanței uscate în decursul perioadei de vegetație, am mojarat-o făcînd din ea pastile de aproximativ 1 g. Prin arderea acestor pastile în calorimetru am obținut valori diferite de energie calorică.

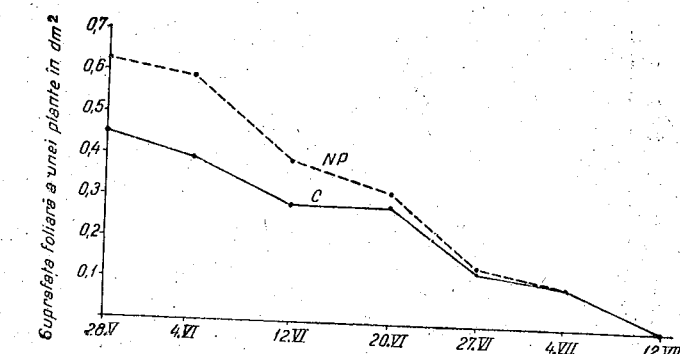


Fig. 5. — Suprafața foliară a unei plante de orz Cenad 396 (media a 30 de plante). C, Control; NP, plante tratate cu azot și fosfor.

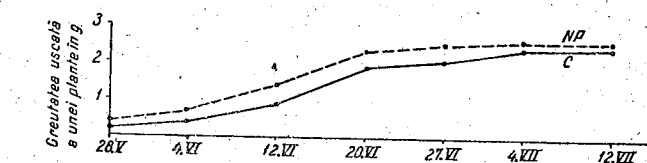


Fig. 6. — Creșterea greutății uscate a unei plante de orz Cenad 396 (media a 30 de plante). C, Control; NP, plante tratate cu azot și fosfor.

Înmulțind aceste valori cu intensitatea fotosintezei zilnice (din intervalul de timp respectiv), s-a obținut energia luminoasă înglobată sub formă de energie chimică potențială în procesul de fotosintезă în decurs de o zi. Această valoare am raportat-o la lumina totală și la lumina absorbită de plantă în medie pe o zi și am obținut astfel randamentul fotosintезă. Rezultatele sunt trecute în figurile 7, 8, 9 și 10.

Din figura 7 rezultă următoarele: cantitatea de energie chimică potențială înglobată în procesul fotosintезă în plantele de orz martor a crescut treptat de la $229,76 \text{ cal/dm}^2 \cdot \text{zi}$ pînă la $1\,617,11 \text{ cal/dm}^2 \cdot \text{zi}$ în intervalul dintre 12 și 20.VI, perioadă în care și intensitatea fotosintезă a fost maximă; după aceasta a scăzut în etapa finală pînă la zero, datorită scăderii la zero a intensității fotosintезă.

Curba creșterii cantității de energie chimică potențială înglobată în procesul de fotosintезă este aproape identică cu curba intensității fotosintезă. La plantele de orz tratate cu N P, cantitatea de energie chimică po-

tentială înglobată în fotosinteză în decursul perioadei de vegetație a fost mai scăzută decât la plantele de control, dar având aceeași curbă cu un maxim în intervalul 12—20.VI și scăzind pînă la 0 în intervalul 5—12.VII. Își această curbă seamănă cu aceea a intensității fotosintizei plantelor de orz tratate cu N P.

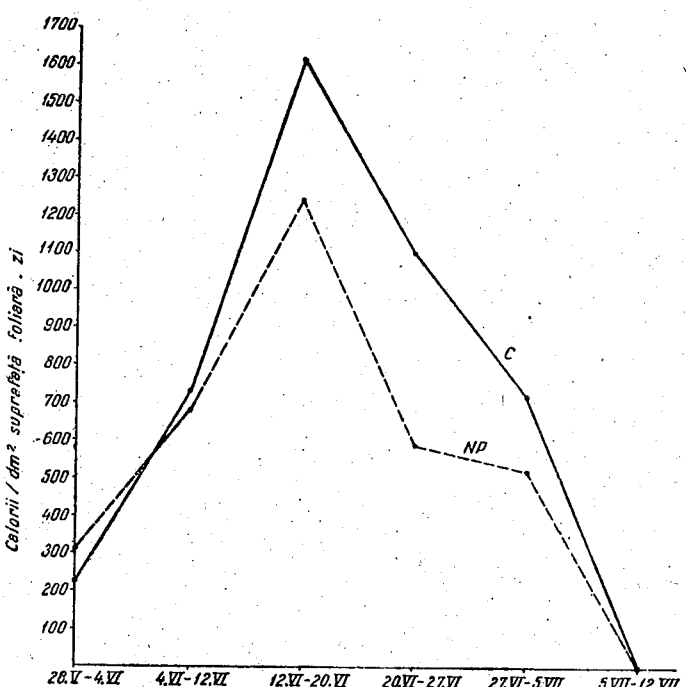


Fig. 7. — Energia chimică potențială înglobată în plantele de orz Cenad 396 în procesul fotosintizei, dată în cal/dm^2 suprafață foliară.zi. C, Control; NP, plante tratate cu azot și fosfor.

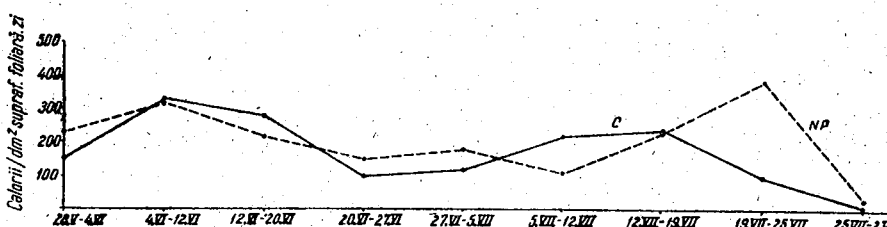


Fig. 8. — Energia chimică potențială înglobată în plantele de fasole Băneșteană în procesul fotosintizei, dată în cal/dm^2 suprafață foliară.zi. C, Control; NP, plante tratate cu azot și fosfor.

În figura 8 se poate vedea dinamica cantității de energie chimică potențială înglobată în plantele de fasole Băneșteană martor și tratate cu N P, în decursul perioadei de vegetație. Aceste valori au crescut începînd

de la 159,57 $\text{cal}/\text{dm}^2.zi$ (la fasolea de control) și 238,35 $\text{cal}/\text{dm}^2.zi$ la fasolea tratată cu N P, între 28.V și 4.VI, pînă la un maxim de 332,86 și 325,28 $\text{cal}/\text{dm}^2.zi$ în perioada 4—12.VI, a scăzut apoi treptat pînă la un minim de 102 la plantele de control între 20 și 27.VI și de 113,6 $\text{cal}/\text{dm}^2.zi$ la plantele tratate cu N P între 5 și 12.VII, pentru ca să crească apoi pînă la un al doilea maxim de 242 $\text{cal}/\text{dm}^2.zi$ la plantele de control între 12 și 19.VII și de 389,88 $\text{cal}/\text{dm}^2.zi$ la plantele tratate cu N P între 19 și 25.VII, iar apoi a scăzut la ambele variante în intervalul de la 25.VII la 2.VIII pînă la 9,0 $\text{cal}/\text{dm}^2.zi$ la plantele de control și 26,42 $\text{cal}/\text{dm}^2.zi$ la plantele tratate cu N P.

Coefficientul de folosire a energiei luminoase de către plante în procesul fotosintizei a fost calculat raportîndu-se valorile energiei potențiale înglobate în procesul fotosintizei la cantitatea de lumină globală și respectiv absorbită de către plante. Valorile acestui randament sunt trecute în figurile 9 și 10.

Din figura 9 rezultă următoarele : randamentul fotosintizei la plantele de orz martor față de lumina globală înregistrează valori care cresc treptat de la 0,52% (în intervalul 28.V — 4.VI) pînă la 2,84% (între 12 și 20.VI), apoi scad treptat la 1,18% între 27.VI și 5.VII și apoi la 0 atunci cînd fotosintiza încetează (5—12.VII). Randamentul fotosintizei la orzul de control în funcție de lumina absorbită, deși prezintă valori mai mari, are în general același mers, cu maximul situat în intervalul 12—20.VI. Astfel, acest randament a crescut de la 1,09% cît era în intervalul 28.V—4.VI pînă la 4,8—4,5%, în perioadele 12—20.VI și 20—27.VI, pentru ca să scadă la 0 la sfîrșitul perioadei de vegetație.

O situație asemănătoare se poate vedea și la plantele de orz tratate cu N P, cu singura deosebire că randamentul fotosintizei este mai scăzut decât la martor atât față de lumina globală, cît și față de cea absorbită.

În figura 10 am reprezentat dinamica randamentului în decursul perioadei de vegetație la fasolea Băneșteană martor și tratată cu N P.

Din figură rezultă următoarele : randamentul fotosintizei în lumina globală la plantele de control în decursul perioadei de vegetație se prezintă ca o curbă cu două maxime de aceeași valoare (0,5%) primul între 12 și 20.VI și al doilea între 12 și 19.VII avînd un minim cuprins între 20.VI și 5.VII. La plantele tratate cu N P, această curbă are alt aspect, și anume : randamentul scade treptat de la începutul perioadei de vegetație pînă la perioada cuprinsă între 5 și 12.VII, după care crește treptat atingînd întîi valoarea celui de-al doilea maxim al randamentului plantelor de control (0,5%) în perioada 12—20.VII, pentru ca să o depășească în perioada următoare, cînd la martor randamentul scade relativ brusc. O altă caracteristică a curbei randamentului la plantele tratate este că, în timpul minimului obținut la plantele martor între 20—27.VI și 27.VI—5.VII, randamentul plantelor tratate se menține la valori mai ridicate, respectiv de 0,31 și 0,29% față de 0,21 și 0,20% cît era la plantele de control.

În privința randamentului fotosintizei față de lumina absorbită de către plante, acesta are valori mai ridicate, păstrînd însă caracteristicile curbelor randamentului fotosintizei plantelor în lumina globală.

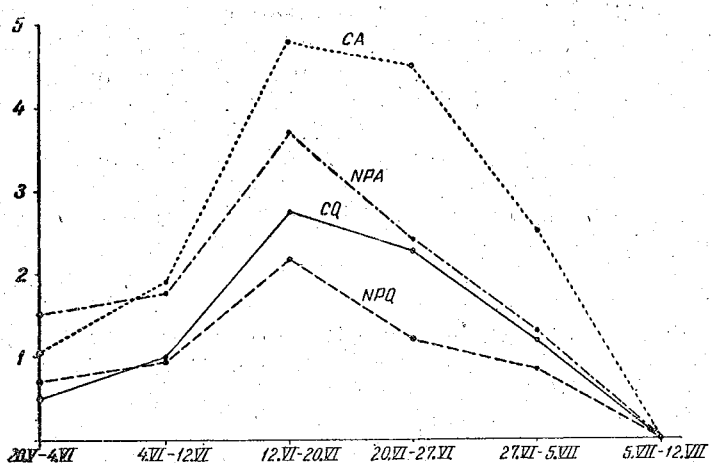


Fig. 9. — Coeficientul de folosire a energiei luminoase de către plantele de orz Cenad 396 în decursul perioadei de vegetație, în funcție de lumina totală și de lumina absorbită de plante. CQ, La plantele de control, față de lumina totală; NPQ, la plantele tratate cu azot și fosfor, față de lumina totală; CA, la plantele de control, față de lumina absorbită de plante; NPA, la plantele tratate cu azot și fosfor, față de lumina absorbită de plante.

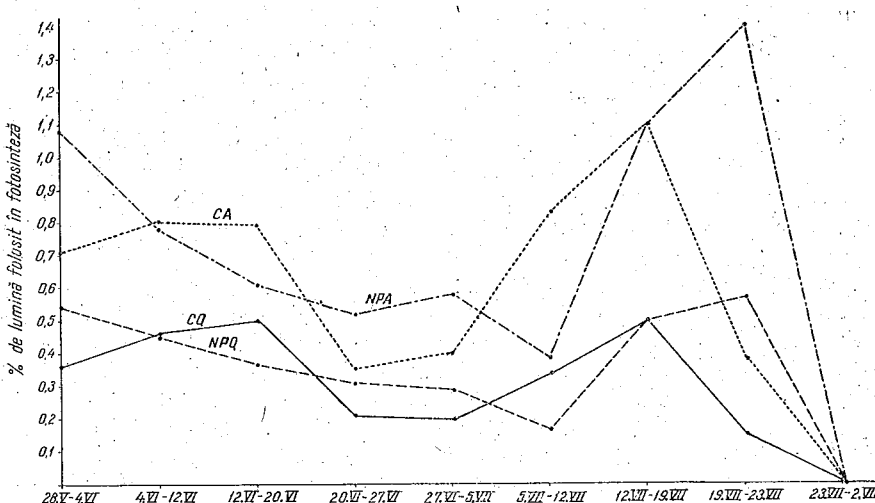


Fig. 10. — Coeficientul de folosire a energiei luminoase de către plantele de fasole Bănățeană în procesul de fotosinteze în decursul perioadei de vegetație, față de lumina totală (Q) și față de lumina adsorbită de plante (A). CQ, La plantele de control, față de lumina totală; NPQ, la plantele tratate cu azot și fosfor, față de lumina totală; CA, la plantele de control, față de lumina absorbită; NPA, la plantele tratate cu azot și fosfor, față de lumina absorbită.

La floarea-soarelui Vnimk am calculat randamentul fotosintizei după formula dată de A. A. Niciporovici (5):

$$P\% = \frac{112 \times F \times 100}{44 \times S} = \frac{254,5 \times F}{S} \%$$

$P\%$ = randamentul fotosintizei; F = intensitatea fotosintizei în mg CO₂/dm²·h; S = intensitatea radiațiilor de lumină în cal/dm²·h.

Pentru a calcula randamentul fotosintizei cu aparatul Warburg după această formulă, am determinat intensitatea fotosintizei cu aparatul Warburg după metoda Sălăgeanu pentru plantele terestre la o concentrație a CO₂ de 3,1% și am calculat energia luminoasă a becurilor de la aparat în calorii, transformând-o din lucești în calorii, după formula indicată în aceeași lucrare de către A. A. Niciporovici (5). Deoarece intensitatea fotosintizei este exprimată în ml O₂ eliminat pe dm²·h, presupunând că plantele au un coeficient al fotosintizei de 1 și deci volumul CO₂ consumat este egal cu volumul O₂ eliminat, am calculat greutatea oxigenului eliminat în procesul de fotosintează pentru a putea aplica formula lui A. A. Niciporovici.

Astfel, la o energie de lumină de 25 000 de lucești, adică de 1 071 cal/dm²·h, plantele de floarea-soarelui au asimilat înregistrând valorile următoare: la martor 30 ml O₂/dm²·h față de 36,52 ml O₂/dm²·h la plantele tratate cu N. Randamentul calculat față de lumina globală este la martor de 14% și la plantele tratate cu N de 17%.

Tot la floarea-soarelui am mai încercat să calculez randamentul fotosintizei prin metoda folosită de Purievici, determinând fotosinteza cu metoda jumătățiilor de frunză.

În aceeași zi (8. VII) am determinat și energia totală și absorbită de plante, care a fost de 65 100 cal/dm²·zi și respectiv de 24 978 cal/dm²·zi.

Frunzele uscate au fost arse în calorimetru pentru a determina energia chimică potentială înmagazinată în timpul fotosintizei. Raportind această valoare la cantitatea energiei globale căzute în decurs de o zi asupra plantelor și la cantitatea de energie absorbită de către plante (38,37% în medie pe întreaga zi), am obținut un randament al fotosintizei la martor de 0,68% din lumina globală și de 1,84% din cea absorbită, în timp ce la plantele tratate acest randament a fost mai mare, și anume de 0,79% din lumina totală și de 2,07% din lumina absorbită de către plantă.

DISCUȚAREA REZULTATELOR

Datele privind randamentul energetic al fotosintizei concordă cu cele altor cercetători, și anume cu datele lui Brown și Esmob (citați după (9)), care au găsit pentru cîteva plante superioare (printre care și floarea-soarelui) valori ale randamentului de 2,5%, și cu datele lui Purievici (citat după (7)), care a găsit randamente mai mari la cîteva plante superioare, printre care și floarea-soarelui, și anume de 7,5%.

În lucrarea de față s-a obținut la orz un randament de $0,5 - 2,84\%$ față de lumina globală și de $1,3 - 5\%$ față de lumina absorbită, iar la fasole valori mult mai scăzute, și anume cuprinse între $0,2$ și $0,5\%$ față de lumina globală și $0,38 - 1,4\%$ față de lumina absorbită, iar la floarea-soarelui valori între $0,68$ și $2,07\%$.

A. A. Niciporovici (2) a arătat că, în general, plantele de cîmp utilizează în procesul fotosintezei $1 - 2\%$ din energia ce cade asupra lor, iar la lumină slabă valoarea acestui procent este cu mult mai mare, și anume de 10 . În lucrarea sa împreună cu S. M. Ciomora (3), A. A. Niciporovici a arătat că randamentul fotosintezei la începutul perioadei de vegetație este mai scăzut ($0,15 - 0,17\%$) față de lumina globală și de $7 - 8$ ori mai scăzut față de procentul fixat în lumina absorbită. În perioada creșterii intense, acest coeficient este de cîteva ori mai mare, și anume de $4 - 5$ și chiar 6% .

Valori mai mici ale randamentului fotosintetizării a obținut Spoehr (citat după (9)), și anume de $0,13$ pînă la $0,36\%$, dar el a raportat energia luminoasă absorbită numai la energia chimică potențială înmagazinată în boabe, iar Noddak și Komor (citați după (9)) au obținut pentru unele plante ierboase un randament de $1 - 2,5\%$ față de lumina absorbită.

Valori mai mari ale randamentului, și anume de 70% , au obținut Warburg și Negelien (citați după (9)), care au lucrat cu suspensii dense de alge la lumina monocromatică de intensități slabe.

Din anul 1938 nici un cercetător nu a reușit să obțină valori aşa de mari ale randamentului, care se datează probabil unor erori experimentale.

CONCLUZII

1. Intensitatea fotosintetizării frunzelor de orz, scăzută la începutul perioadei de vegetație a crescut pînă la un maxim corespunzător cu încisarea în masă a plantelor, apoi a scăzut pînă la 0 la sfîrșitul perioadei de vegetație; la plantele tratate cu N P, fotosintiza a avut același mers ca și la cele ne tratate, dar cu intensitate mai scăzută.

2. Curba fotosintetizării la fasole a avut două maxime și o depresiune corespunzătoare în floririi plantelor. La plantele tratate cu N P, depresiunea fotosintetizării a fost mai mică, iar al doilea maxim a avut o valoare mai mare.

3. Randamentul fotosintetizării față de lumina totală la plantele de orz martor a crescut treptat de la $0,5$ pînă la $2,84\%$ în perioada corespunzătoare maximului fotosintetizării, apoi a scăzut treptat pînă la sfîrșitul perioadei de vegetație; la plantele de orz tratate acest coeficient a avut un mers asemănător, dar cu valori mai scăzute. Față de lumina absorbită, randamentul înregistrează aceeași curbă, însă la valori mai mari, între $1,09$ și $4,8\%$. La orzul tratat valorile randamentului atît față de lumina totală, cît și față de lumina absorbită sunt mai scăzute decît la orzul martor.

4. La fasolea Băneșeană randamentul este mai scăzut decît la orz. În timpul perioadei vegetative scade pînă la un minim corespunzător

depresiunii fotosintetizării, apoi crește pînă la un maxim în a doua jumătate a perioadei vegetative și scade din nou la sfîrșitul ei. La fasolea tratată, atît randamentul față de lumina globală cît și cel față de lumina absorbită este mai ridicat în raport cu martorul la începutul perioadei de vegetație și în timpul depresiunii, iar maximul se situează la valori mai mari și se extinde pe o perioadă mai lungă decît la martor.

5. La floarea-soarelui Vnimk randamentul fotosintetizării în condițiile de laborator, în funcție de lumina globală de intensitate mai mică decît în natură și concentrații mai mari de CO₂, a fost mai mare decît la orz și la fasole în condiții naturale și anume de $14,2\%$ la plantele martor și de $17,02\%$ la plantele tratate cu N, iar în condiții naturale a fost de $0,68\%$ față de lumina globală și de $1,84\%$ față de cea absorbită la martor și, respectiv, de $0,79$ și de $2,07\%$ la plantele tratate cu N P.

BIBLIOGRAFIE

- КЛЕШНИН А. Ф., СТРОГОНОВ Б. Н. и ШУЛЬГИН И. А., Физиология растений, 1955, 2, 6, 542—557.
- Ничипорович А. А., Фотосинтез растений и некоторые пути повышения их урожая. Вопросы ботаники, Изд. АН СССР, Москва-Ленинград, 1954, 2, 607—627.
- Ничипорович А. А. и Чимора С. М., Физиология растений, 1958, 5, 4, 320—328.
- Ничипорович А. А., Строгонова Л. Е., Чимора С. М. и Власова М. П., Фотосинтетическая деятельность растений в посевах, Изд. Акад. наук СССР, Москва, 1961.
- Ничипорович А. А., Труды Института физиологии растений им. К. А. Тимирязева, 1955, 10, 265—271.
- Труд Института физиологии растений им. К. А. Тимирязева, 1955, 10, 210—249.
- ПОП Е., САЛАГЕАНУ Н., РЕТЕРФИ СТ. și ЧИРILEI Н., Manual de fiziologia plantelor, București, 1957, 1.
- РАБИНОВИЧ, Фотосинтез, Изд. иностранной литературы, Москва, 1953, 2, глава XXVIII—XXIX.
- RUHLAND W., Handbuch der Pflanzenphysiologie, Springer Verlag, Berlin — Göttingen — Heidelberg, 1960, 5, 1 (Efficiency of photosynthesis), 566—633.
- САЛАГЕАНУ Н., Revue de biologie, 1962, 7, 2, 181—192.

Institutul de biologie „Traian Săvulescu”,
Laboratorul de fiziologie vegetală.

Primită în redacție la 8 mai 1964.

INFLUENȚA FOSFORULUI ȘI AZOTULUI ASUPRA SFECLEI DE ZAHĂR*

DE

N. ANIȚIA, C. ILLE și MARIA VOICULESCU

581(05)

S-a studiat influența fosforului și azotului din sol asupra calității tehnologice a sfecliei de zahăr. Producția biologică și cea agricolă cresc o dată cu dozele de azot. Concentrația sucului celular și mai ales procentul de zahăr din rădăcină cresc paralel cu creșterea fosforului din sol și scad la doze ridicate de azot. Cantitatea totală de zahăr din rădăcină crește accentuat în raport cu dozele de azot. Cenușa variază mai puțin regulat. Diferitele substanțe cu azot și mai ales azotul vătămător din rădăcină cresc paralel cu azotul din sol, în schimb fosforul din sol reduce conținutul de azot vătămător din rădăcină. Printr-o justă proporție între N și P din sol se obțin rădăcini bogate în zahăr și de o bună calitate tehnologică.

Intr-o serie de experiențe, s-a studiat influența factorilor de vegetație azot, fosfor, potasiu și apă din sol în complex asupra formării și acumulării zahărului în sfeclă, ca și asupra calității tehnologice a rădăcinii, determinată de compoziția chimică¹.

Din seria aceasta de cercetări, s-au publicat rezultatele privind influența apei și azotului (1) și influența potasiului și azotului (2) asupra sfecliei de zahăr, iar în continuare, în lucrarea de față, prezentăm influența fosforului și azotului asupra sfecliei.

* Lucrare publicată și în „Revue roumaine de biologie — Série de botanique”, 1964, IX, 6, p. 421 (în limba franceză).

¹ Lucrările s-au efectuat sub conducerea științifică a acad. N. Sălăgeanu, căruia îi exprimăm cele mai vii mulțumiri pentru îndrumarea și sprijinul acordat în aceste cercetări.

Metoda de lucru este descrisă în lucrările precedente (1), (2). Experiența s-a executat în casa de vegetație, în vase mari Mitscherlich în 4 repetiții, cu următoarele doze de îngrășaminte: $P_1 = 0,50$, $P_2 = 2,50$ și $P_3 = 3,50$ g P_2O_5 /vas; $N_1 = 0,50$, $N_2 = 2,50$ și $N_3 = 4,50$ g N/vas, date sub formă de NaH_2PO_4 , respectiv NH_4NO_3 în soluție. S-a semănat la 15.III., iar recoltatul s-a făcut între 17 și 25.X.

Azotul, la doze mari, a determinat o creștere mai viguroasă a plantelor și o culoare verde-inchis a frunzelor. Fosforul, chiar la doze mari, a avut o influență redusă asupra creșterii plantelor, dar a determinat la frunze o culoare mai deschisă.

REZULTATE

În cele ce urmează prezentăm rezultatele privind influența în complex a fosforului și azotului din sol asupra greutății plantelor, precum și asupra unor compuși chimici din rădăcină.

Valorile obținute reprezintă media a patru plante-repetiții.

Greutatea sfelei de zahăr (tabelul nr. 1) este dată separat pentru rădăcină, frunze și planta întreagă.

Greutatea medie a rădăcinilor de sfeclă este puțin influențată de cantitatea de fosfor din sol. Astfel, cînd în sol a fost puțin azot (N_1), se constată o ușoară creștere a rădăcinii o dată cu mărirea dozelor de fosfor. Dar cînd în sol s-a găsit azot în proporție mijlocie (N_2) și mare (N_3), atunci la doza maximă de fosfor (P_3) se constată o scădere a greutății rădăcinii față de dozele precedente de fosfor (P_1 și P_2).

Deși dozele de fosfor întrebuintate au fost destul de moderate, totuși la cele maxime se constată o scădere a producției. De remarcat că o situație asemănătoare s-a întîlnit și la influența potasiului asupra sfelei de zahăr (2).

Dozele de azot din sol au influențat mult greutatea rădăcinilor. Astfel, cînd în sol a fost puțin azot (N_1), greutatea medie a unei rădăcini a variat între 172,5 și 177,5 g, în funcție de fosforul din sol. La doza mijlocie de azot (N_2), greutatea rădăcinilor a crescut mult, ajungînd la 317–380 g, iar la doza cea mai mare de azot (N_3) rădăcinile ajung la 432,5–517,5 g. Greutatea aceasta depășește greutatea medie a unei rădăcini dintr-o cultură de sfeclă din care se obține o producție mare. Cînd am utilizat doze mai mari de azot, am obținut rădăcini cu greutăți și mai mari (2). În prezenta lucrare s-au utilizat doze moderate, mai apropiate de situația din producție, în scopul obținerii unei proporții corespunzătoare între azot și fosfor.

Greutatea medie a frunzelor verzi este puțin și neregulat influențată de fosfor, dar este mult influențată de azotul din sol. În general, dozele crescute de azot dau producții mai mari de frunze verzi decit dozele de fosfor. Fosforul a grăbit maturitatea și apoi uscarea frunzelor.

Greutatea medie a unei plante (rădăcină + frunze) a fost de asemenea puțin influențată de fosfor și mult influențată de azotul din sol. În ansamblu dozele crescînd de fosfor au dus la o oarecare micșorare a greutății plantei de sfeclă, în timp ce dozele crescînd de azot au provocat sporirea în mod regulat și accentuat a greutății plantelor. Astfel, cînd s-a găsit puțin

azot în sol (N_1), greutatea plantelor a variat între 197,5 și 200 g, în funcție de doza de fosfor. Cînd în sol a fost azot în doză mijlocie (N_2), greutatea plantelor a crescut la 345–402,5 g, iar la azot mult în sol (N_3) plantele au ajuns la 447,5–557,5 g.

Din datele de mai sus rezultă că plantele de sfeclă au crescut și s-au dezvoltat în funcție de variantele experimentale și deci de raportul dintre îngrășămîntul de azot și de fosfor existent în sol, iar materialul biologic s-a putut supune analizelor chimice următoare.

Concentrația sucului celular din rădăcina sfelei, determinată cu refractometrul, a fost puțin influențată de factorii studiați. În linii generale ar rezulta o ușoară creștere a concentrației o dată cu mărirea dozelor de fosfor, îndeosebi cînd solul a fost bine aprovizionat cu azot. Se mai constată o creștere a concentrației sucului cellular o dată cu a dozelor de azot, mai ales cînd în sol este o aprovizionare bună sau cel puțin mijlocie cu fosfor (tabelul nr. 1).

Tabelul nr. 1

Variatia greutății plantei, a zahărului și a concentrației sucului cellular la sfeala de zahăr, sub influența fosforului și azotului din sol

Specificare	Dozele de fosfor	Dozele de azot		
		N_1	N_2	N_3
Greutatea unei rădăcini (g)	P_1 P_2 P_3	172,5 177,5 177,5	340,0 380,0 317,0	517,5 432,5 455,0
Greutatea frunzelor verzi de la o plantă (g)	P_1 P_2 P_3	27,5 20,0 40,0	27,5 22,5 27,5	40,0 45,0 37,5
Greutatea totală a unei plante (g)	P_1 P_2 P_3	200,0 197,5 197,5	367,5 402,5 345,0	557,5 447,5 492,5
Concentrația sucului cellular (refractometric) (%)	P_1 P_2 P_3	20,35 19,42 20,08	20,60 19,45 20,60	19,40 21,43 21,28
Conținut de zahăr (%)	P_1 P_2 P_3	16,21 16,59 17,41	16,40 16,78 17,50	14,81 17,94 17,79
Conținut de zahăr dintr-o rădăcină (g)	P_1 P_2 P_3	28,0 29,4 30,8	55,7 63,6 55,7	76,6 77,6 80,6

Procentul de zahăr din rădăcinile sfelei (tabelul nr. 1) este destul de sensibil influențat de fosfor și de azot.

O dată cu creșterea dozelor de fosfor din sol, sporește și conținutul de zahăr din rădăcină. Astfel, cînd în sol se află puțin azot (N_1), fosforul determină o creștere a zahărului de la 16,21 %, cît este la P_1 , la 17,41 %, în

varianta cu mult fosfor (P_3). Această influență favorabilă a dozelor de fosfor se manifestă și la doze mijlocii (N_2) și mari (N_3) de azot în sol. Se constată chiar că, paralel cu creșterea dozelor de azot în sol, crește și influența pozitivă a fosforului. Astfel, la doza mijlocie de azot (N_2), procentul de zahăr din rădăcina sfelei crește de la 16,40%, cît este în varianta P_1 , la 17,50%, în varianta P_3 . La doza mare de azot în sol (N_3), proporția de zahăr crește de la 14,81% în P_1 , la 17,79% în varianta P_3 .

Cantitatea de azot din sol mai influențează și conținutul de zahăr din rădăcina sfelei. Astfel, cînd în sol este puțin fosfor (P_1) zahărul din sfeclă, la doză mică de azot (N_1), este de 16,21%, de unde, după o ușoară creștere la N_2 , scade accentuat pînă la 14,81% zahăr în rădăcină, la doza maximă de azot (N_3). Cînd însă în sol există cantități mijlocii (P_2) și mari (P_3) de fosfor, atunci se constată, în limitele experienței, că, o dată cu mărirea dozelor de azot din sol, crește regulat și procentul de zahăr din rădăcina sfelei.

Există o interdependentă între acțiunea celor doi factori de vegetație, astfel că procentele cele mai mari de zahăr în rădăcina sfelei (17,79 – 17,94%) s-au obținut cînd pe lîngă o doză mare de azot în sol se mai găsea și una corespunzătoare de fosfor.

Cantitatea de zahăr dintr-o rădăcină (tabelul nr. 1) este în și mai mare măsură influențată de fosforul și azotul din sol decît procentul de zahăr. Ea rezultă din greutatea rădăcinii și procentul ei de zahăr. Dintre acești doi factori, greutatea rădăcinii are variații mai mari și de aceea va determina în mai mare măsură cantitatea totală de zahăr din rădăcină. Or, fosforul influențează numai în mică măsură greutatea rădăcinii, ca urmare va influența tot în mică măsură și cantitatea de zahăr din rădăcină. Azotul, în schimb, influențează mult greutatea rădăcinii și implicit va determina în mare măsură cantitatea de zahăr.

Astfel, în seria cu puțin fosfor (P_1), o dată cu sporirea azotului din sol crește și zahărul, de la 28 g, cît este în varianta cu puțin azot (N_1), la 76,6 g zahăr/rădăcină, în varianta cu mult azot (N_3). O creștere asemănătoare este și în seria P_2 , iar în seria cu mult fosfor (P_3) este și mai accentuată o dată cu mărirea dozei de azot, ajungîndu-se la cantitatea maximă de 80,6 g zahăr/rădăcină, în varianta cu mult azot (N_3).

Producția este interesată să obțină această combinație de factori în care se realizează cea mai mare cantitate de zahăr într-o rădăcină de sfeclă.

Cenușa (tabelul nr. 2) a variat puțin în condițiile experienței, în funcție de fosforul și azotul din sol, și anume între limitele 0,64 și 0,87% din rădăcina proaspătă. Ea este un factor negativ al calității tehnologice a sfelei, deoarece s-a stabilit că o parte din cenușă solubilă face să nu cristalizeze și deci să se piardă în melasă 4–5 părți de zahăr.

Nu rezultă o direcție precisă de variație a conținutului de cenușă din sfeclă sub influența fosforului și azotului din sol. Pare totuși că, pînă la doza mijlocie, azotul determină o creștere a procentului de cenușă în seria cu puțin fosfor. Totodată, și fosforul pare să aibă aceeași influență în seria cu puțin azot de la 0,72% în P_1 la 0,81% cenușă în P_3 .

Tabelul nr. 2

Varietățile cenușii, a azotului total, a azotului vătămător și a altor forme de substanțe cu azot din rădăcina sfelei de zahăr, sub influența fosforului și azotului din sol

Specificare	Dozele de fosfor	Dozele de azot		
		N_1	N_2	N_3
N-total (%)	P_1	0,1245	0,1579	0,1456
	P_2	0,1705	0,1767	0,2331
	P_3	0,1392	0,1503	0,2031
N-neprecipitat cu $Cu(OH)_2$ (%)	P_1	0,0321	0,0545	0,1278
	P_2	0,0510	0,0618	0,1069
	P_3	0,0425	0,0468	0,0859
N-albuminoidic (%)	P_1	0,0924	0,1034	0,1178
	P_2	0,1195	0,1149	1,1162
	P_3	0,0987	0,1035	0,1222
$NH_3 + N\text{-aminoic}$ (%)	P_1	0,0009	0,0043	0,0302
	P_2	0,0005	0,0048	0,0243
	P_3	0,0014	0,0022	0,0217
N-vătămător (%)	P_1	0,0312	0,0502	0,0976
	P_2	0,0505	0,0570	0,0826
	P_3	0,0391	0,0466	0,0642
Cenușă (%)	P_1	0,72	0,87	0,73
	P_2	0,76	0,71	0,64
	P_3	0,81	0,75	0,65

Substanțele cu azot au o importanță deosebită în stabilirea calității tehnologice a sfelei de zahăr. Ele sunt mult influențate de fosforul și azotul din sol, ca și de raportul dintre aceste două elemente.

S-au stabilit cinci forme de substanțe cu azot, fie prin determinări chimice, fie prin calcul; valoarea industrială a sfelei de zahăr este dată nu numai de procentul de zahăr, ci și de substanțele nezaharate, de săruurile solubile și de substanțele organice.

Substanțele cu azot au un efect negativ asupra calității sfelei, dar acțiunea cea mai negativă o are azotul vătămător, care s-a calculat după H e r z f e l d (citat după (12), (14)). După E. K n a p p (9), azotul vătămător este format din substanțe proteice, aminoacizi și alți compuși înruditi cu aceștia, dintre care cel mai dăunător este betaina. D. M o t o c (13) arată că asparagina și glutamina au de asemenea un rol negativ în fabricarea zahărului din sfeclă, deoarece împiedică cristalizarea lui.

Substanțele proteice sunt eliminate în cea mai mare parte din rădăcinile de sfeclă în cursul procesului tehnologic, prin precipitarea și apoi prin separarea lor. Substanțele proteice cunoscute sub denumirea de azot vătămător nu pot fi precipitate și eliminate, astfel că ele rămân dizolvate în soluție și împiedică cristalizarea zahărului, antrenîndu-l în melasă.

După A n d r l i k (citat după (12), (14)), o parte de azot vătămător împiedică cristalizarea a 25 – 27 de părți de zahăr. Această reprezintă 1,5 – 1,7% zahăr brut pierdut. După C l a a s s e n (citat după (12),

(14)), o parte de azot vătămător determină pierderea medie a 25,3 — 28,4 părți zahăr.

Astfel, dintre două variante cu același procent de zahăr, va da mai mult zahăr cea care are mai puțin azot vătămător, în schimb cea cu mult azot vătămător va da mai multă melasă.

Azotul total din rădăcină sfelei de zahăr are acțiune negativă asupra calității tehnologice a sfelei de zahăr. El este mult influențat de fosforul și azotul din sol (tabelul nr. 2).

Fosforul din sol determină o ridicare a procentului de azot din rădăcină, și anume în măsură mai mică dacă este puțin azot în sol și în măsură mai mare în caz contrar.

O dată cu creșterea dozelor de azot din sol, se ridică și procentul de azot din rădăcină. Această mărire este mai accentuată în seria cu fosfor mijlociu în sol. Astfel, la doza maximă de azot (N_3) și la doza mijlocie de fosfor (P_2) s-a obținut cel mai ridicat conținut de azot total din rădăcină sfelei (0,2331%).

În seria cu fosfor foarte mult (P_3), azotul total din rădăcină crește de asemenea continuu o dată cu mărire dozelor de azot din sol, dar prezintă valori mai reduse decât seria P_2 . Aceasta înseamnă că doza crescută de fosfor duce la o oarecare scădere a azotului total din rădăcină.

Azotul neprecipitabil cu hidroxidul de cupru (tabelul nr. 2) are o variație foarte regulată, și anume: scade o dată cu creșterea dozelor de fosfor, dar crește regulat proporțional cu creșterea dozelor de azot, având valoare maximă la N_3 (0,1278%).

Azotul albuminoidic (tabelul nr. 2) prezintă o variație mai puțin regulată sub influența fosforului, dar azotul din sol determină o variație mai regulată a conținutului de azot albuminoidic din rădăcină sfelei de zahăr, și anume acesta crește paralel cu mărire dozelor de azot în sol.

Suma amoniacului și a azotului amidic (tabelul nr. 2), arată o foarte regulată creștere în rădăcină, paralel cu mărire dozelor de azot din sol, în toate serile de variație a fosforului.

Creșterea dozelor de fosfor nu determină o variație regulată a procentului de amoniac și azot amidic din rădăcina sfelei de zahăr.

De menționat că azotul albuminoidic, azotul amoniacal și azotul amidic sunt precipitate și eliminate în cea mai mare măsură în cursul procesului tehnologic de fabricație, astfel că nu împiedică cristalizarea zahărului și deci nu produc pierderea lui în melasă.

Azotul vătămător produce invertirea zahărului și deci împiedică cristalizarea lui, prin aceasta ducând la pierderi de zahăr în melasă.

Industria zahărului este interesată deci ca sfeala să conțină cantități cît mai mici de azot vătămător, iar cultura acestei plante trebuie dirijată, prin nutritie minerală corespunzătoare, în aşa fel, încit să se realizeze pe cît posibil, acest deziderat al industriei, mai ales că fosforul și azotul din sol influențează mult conținutul de azot vătămător din rădăcină (tabelul nr. 2).

Paralel cu creșterea dozelor de azot în sol, sporește în mod continuu și procentul de azot vătămător din rădăcina sfelei de zahăr, în toate serile de aprovizionare a solului cu fosfor.

Astfel în seria P_1 , în varianta cu puțin azot în sol (N_1), rădăcina sfelei a avut 0,0312% azot vătămător, de unde în varianta cu azot mijlociu (N_2) crește la 0,0502%, iar în cea cu azot mult (N_3) ajunge la 0,0976% azot vătămător în rădăcină.

Creșteri asemănătoare ale azotului vătămător din rădăcină, paralel cu mărire dozelor de azot din sol, se constată și în celelalte două serii cu fosfor. Astfel, în seria cu doza mijlocie de fosfor (P_2), în varianta cu puțin azot (N_1) se găsește 0,0505% azot vătămător în rădăcină și în următoarele două variante cu azot crește, ajungind la 0,0826% (N_3). În seria cu mult fosfor (P_3), creșterile sunt de la 0,0391% azot vătămător, în varianta N_1 , la 0,0642%, în varianta N_3 .

Fosforul din sol are o influență diferită de cea a azotului. Astfel, în seria cu puțin azot în sol, procentul maxim de azot vătămător se găsește în varianta cu fosfor în proporție mijlocie (P_2), de unde scade atât spre doze mai mici (P_1), cît și spre doze mai mari (P_3) de fosfor. O variație asemănătoare se constată și în seria cu cantitate mijlocie de azot în sol (N_2), dar cu diferențe mai reduse decât în seria precedentă (N_1). În seria cu mult azot în sol (N_3) însă se constată că procentul de azot vătămător din rădăcină este mai ridicat în varianta cu puțin fosfor (P_1), de unde acesta scade o dată cu creșterea dozelor de fosfor din sol.

Prin urmare, în timp ce dozele de azot din sol fac să crească procentul de azot vătămător din rădăcina sfelei de zahăr, dozele mărite de fosfor din sol due la mișcarea procentului de azot vătămător și, prin aceasta, la îmbunătățirea calității tehnologice a sfelei de zahăr.

În practică se calculează cantitatea de zahăr alb ce se obține la hecitar. Într-o altă comunicare (2) am prezentat calculul privind cantitatea de zahăr la hecitar care se pierde prin azotul vătămător.

Pe lîngă aceasta, se mai pierde zahăr prin cenușă, precum și pierderi generale (apreciate la 1,2%) în procesul de fabricație. În tabelul nr. 3 prezentăm calculul la cinci variante mai importante al acestor pierderi.

S-a calculat producția la hecitar la o densitate de 80 000 de plante/ha. În funcție de variante s-ar forma în rădăcini 4,3—13,5 kg/ha azot vătămător. O parte de azot vătămător duce la pierderea a 25 de părți zahăr, de unde ar rezulta că azotul vătămător a determinat pierderi de 108 kg/ha zahăr în varianta $N_1 P_1$. De aici pierderile cresc o dată cu doza de azot din sol (determinate de creșterile azotului vătămător), ajungind la 338 kg/ha zahăr pierdut în varianta $N_3 P_1$, cu mult azot și puțin fosfor în sol. Dacă la o doză mare de azot în sol (N_3) crește progresiv și doza de fosfor, se constată o scădere a pierderilor de zahăr, ajungind la 223 kg/ha în varianta $N_3 P_3$.

S-a determinat în condițiile experienței că rădăcinile sfelei acumulează de la 101 pînă la 302 kg de cenușă/ha.

Socotind că o parte de cenușă determină pierderea a 4 părți de zahăr, rezultă că în varianta $N_1 P_1$ s-ar pierde 404 kg de zahăr/ha, de unde pierderile de zahăr cresc o dată cu mărirea dozelor de azot din sol, ajungind la 1 208 kg/ha în varianta $N_3 P_1$.

Pe măsura creșterii dozelor de fosfor, se constată o scădere a pierderilor de zahăr determinate de cenușă.

Tabelul nr. 3

Calculul pierderilor de zahăr și al cantității de zahăr alb obținut la hecțar

Specificare	Variatele				
	N ₁ P ₁	N ₂ P ₁	N ₃ P ₁	N ₃ P ₂	N ₃ P ₃
Greutatea unei rădăcini (g)	172,5	340,0	517,5	432,5	455,0
Rădăcini (kg/ha)	13 800	27 200	41 500	34 800	36 400
Zahăr (%)	16,21	16,40	14,81	17,94	17,79
N-vătămător (%)	0,0312	0,0502	0,0976	0,0826	0,0642
N-vătămător (kg/ha)	3,4	6,9	13,5	11,4	8,9
Zahăr (kg/ha) pierdut datorită N-vătămător	108	173	338	285	223
Cenușă (%)	0,72	0,87	0,73	0,64	0,65
Cenușă (kg/ha)	101	220	302	228	236
Zahăr (kg/ha) pierdut datorită cenușii	404	880	1 208	912	944
Zahăr (kg/ha) pierderi 1,2%	165	324	496	416	435
Zahăr brut (kg/ha)	2 236	4 460	6 150	6 230	6 460
Pierderi totale zahăr (kg/ha)	677	1 377	2 042	1 613	1 602
Zahăr alb (kg/ha)	1 559	3 083	4 108	4 617	4 858

Pierderile curente de 1,2% din timpul procesului tehnologic reprezintă o variație, în funcție de producția de rădăcini și procentul de zahăr din sfeclă, de la 165 kg zahăr pierdut la hecțar în varianta N₁P₁, pînă la 496 kg/ha în varianta N₃P₁.

Pierderile totale de zahăr calculate au variat între 677 kg/ha în varianta N₁P₁ (crescînd o dată cu sporirea dozelor de azot din sol) și 2 042 kg/ha în varianta N₃P₁. Creșterea dozelor de fosfor din sol a determinat pierderi mai mici de zahăr. Dacă pierderile totale se scad din cantitatea totală brută de zahăr produsă de sfeclă la hecțar, se obține cantitatea de zahăr alb. Astfel, în varianta N₁P₁ s-a calculat 1 559 kg/ha zahăr alb, de unde a crescut o dată cu mărirea dozelor de azot din sol, ajungînd la 4 108 kg/ha zahăr alb în varianta N₃P₁, datorită producției ridicate de rădăcini. Este foarte important de constatat că la doza mare de azot din sol, dacă se adaugă și doze mari de fosfor, cantitatea de zahăr alb la hecțar continuă să crească pînă la 4 858 kg în varianta N₃P₃, datorită unui procent mărit de zahăr.

Din datele tabelului nr. 3 se pot trage deci concluzii teoretice și practice importante, rezultate din variația și interdependența factorilor examinați.

CONCLUZII

Datele obținute din studiul influenței în complex a variației dozelor de fosfor și de azot din sol asupra producției de rădăcini și asupra calității industriale a sfelei de zahăr aduc unele precizări în această direcție.

S-a înregistrat o creștere regulată a producției biologice și a celei agricole în raport numai cu mărirea dozelor de azot din sol, nu și în funcție de fosfor, deci coeficientul de acțiune al acestuia este mult mai mare.

Concentrația sucului celular înregistrează o ușoară creștere la doze mai mari de fosfor, în prezența unor doze crescute de azot.

Procentul de zahăr din rădăcină crește o dată cu dozele de fosfor din sol. Dozele mari de azot duc la o scădere a procentului de zahăr cind se află puțin fosfor în sol.

Cantitatea totală de zahăr din rădăcina unei plante sporește mult în raport cu mărirea dozelor de azot, determinată de creșterea rădăcinilor, și mai puțin în raport cu fosforul.

Cenușa a variat mai puțin regulat în funcție de fosforul și azotul din sol.

Patru forme de azot, și anume : N-total, N-neprecipitabil cu hidroxid de cupru, suma NH₃ + N-amidie și N-vătămător, cresc accentuat în rădăcina sfelei de zahăr, o dată cu mărirea dozelor de azot din sol; în schimb, fosforul din sol determină o scădere mai ales a azotului vătămător. Această scădere este mai accentuată în seria cu mult azot în sol.

N-albuminoidic, cu variații ceva mai puțin regulate, crește totuși vizibil în rădăcină la doze mari de azot din sol.

Din variația în sensuri proprii a diferențelor caracteristici ale sfelei sub influența factorilor studiați, rezultă că planta formează și acumulează cu atât mai mult zahăr total, cu cît au crescut, în limitele experienței, cantitatele de azot și de fosfor din sol.

BIBLIOGRAFIE

- ANITIA N., IONESCU-SIȘESTI VI., ILIE C. și VOICULESCU M., *Influența apei din sol asupra sfelei de zahăr la diferite doze de azot*, în *Lucrările științifice ale Institutului agronomic*, București, 1960.
- ANITIA N., ILIE C. și VOICULESCU M., St. și cerc. biol., Seria biol. veget., 1963, 15, 4, 479.
- BONTEA V., IONESCU M., IONESCU-SIȘESTI VI., OLTEANU GH. și SARU N., *Sfela de zahăr*, Edit. agro-silvică, București, 1960.
- BROZINOV P. A., *Îngrășăminte pentru sfela de zahăr în raioanele sud-estice*, Traducere I.D.T., 1950, 7.
- CREMER H. D., Zucker, 1956, 9, 24, 598.
- DUBOURG J., SÄUMIER R. et DEVILLERS P., Sucrerie Française, 1957, 5.
- FELTZ H., Zuckerindustrie, 1958, 8, 4, 183.
- KARPENKO P. V., *Cultura sfelii de zahăr*, Traducere I.D.T., 1951.
- KNAPP E., *Die Zuckerrübe*, în *Händbuch der Pflanzenzüchtung*, Berlin, 1956, 3.

10. KOLBE G., Zt. landw. Versuchs-Untersuch., 1958, 2.
11. KRÜGER V. u. WIMMER G., Ernährungsbedingungen, Boden, Düngung und Krankheiten der Zuckerrüben, Hergg. Zuckerfabrik, Kleinwanzleben.
12. LINDNER G., Prüfung auf Verarbeitungsfähigkeit, Hergg. Zuckerfabrik, Kleinwanzleben.
13. MOTOC D., Curs de biochimia produselor alimentare, București, 1961.
14. SCHNEIDER F., Der Zuckerrübensorientversuch, Hergg. Zuckerfabrik, Kleinwanzleben.

Institutul de cercetări alimentare.

Primită în redacție la 5 decembrie 1963.

CONTRIBUȚII LA STUDIUL BIOLOGIC COMPARATIV AL COMPORTĂRII UNOR SOIURI DE BUMBAC*

DE

G.H. BACȘIȘ

581(05)

Din cercetările efectuate asupra soiurilor de bumbac a reieșit că soiul 5904-I are perioada de vegetație mai lungă în diferite epoci cu 19—25 de zile decât 1298. Pentru faza de la semănat la răsărit, soiul 5904—I are constanta *B* de 9,1°C și constanta *A* de 67,9°C, iar soiul 1298 are constanta *B* de 9,4°C și constanta *A* de 69,2°C. Soiul 5904—I, în medie pe epociile de semănat, realizează 87% din producția de bumbac a soiului 1298, iar în epociile 18 și 29.IV realizează producții egale cu 1298. În privința calității fibrei, soiul 5904—I este mult superior soiului 1298.

Asigurarea nevoilor mărești ale populației țării noastre cu textile ridică probleme importante privind cultura bumbacului. În prezent se importă în proporție mai mare bumbac de calitate mijlocie (*G. hirsutum*) și în proporție mai mică (25% din nevoile anuale de consum) bumbac cu fibră fină.

Plantele din specia *G. hirsutum* au perioada de vegetație scurtă, dar producție mare de bumbac, din care un procent ridicat se recoltează pînă la cădere brumei, și prezintă o fibră de calitate mijlocie; plantele din specia *G. barbadense*, cu fibră fină, au durată perioadei de vegetație lungă, dau recolte mai slabe de bumbac, dar cu fibre de cea mai bună calitate (lungimea de 35—51 mm, foarte fină și mătăsoasă), necesitând o prelucrare aparte și permitînd obținerea de țesături fine.

Cercetările efectuate la Stațiunea experimentală Brînceni și la celelalte stațiuni din zona bumbacului au contribuit la stabilirea agrofi-

* Lucrare publicată și în „Revue roumaine de biologie — Série de botanique”, 1964, IX, 6, p. 429 (în limba engleză).

totehnicii soiului de bumbac raionat 1298 (*G. hirsutum*), pentru condițiile pedoclimatice din țara noastră. Rezultatele acestor cercetări arată că se poate obține în fiecare an în condiții de neirigare și fără aplicare de îngrășaminte o producție de 1 000—1 200 kg/ha bumbac brut, iar prin aplicarea tuturor metodelor agrotehnice o producție de 1 400—1 500 kg/ha bumbac brut.

Pentru a cunoaște în ce măsură ne putem asigura din producția proprie necesarul de bumbac cu fibră fină, au fost întreprinse la Stațiunea experimentală Brînceni cercetări cu soiuri din această specie. Rezultatele parțiale, obținute în anul 1962, fac obiectul comunicării de față.

METODA DE CERCETARE

Biologia soiurilor de bumbac s-a cercetat într-o experiență bifactorială cu două soiuri și sase epoci, pe un teren pe care nu s-au aplicat îngrășaminte, dar s-au respectat celelalte reguli agrotehnice. Așezarea experienței în cîmp s-a făcut după metoda pătratului latin de tipul 6×6 pentru experiențele bifactoriale cu parcele randomizate (8), (15), (18), avînd suprafața recoltabilă de 10 m^2 .

În cursul perioadei de vegetație, la fiecare epocă s-au făcut amănunțite observații fenologice pentru a stabili răsărirea, apariția fiecărei frunze adevarăte, îmbobocirea, înflorirea și deschiderea capsulelor, înălțimea plantelor și structura reacelui. Metodologia folosită a fost cea indicată de literatura de specialitate (12), (14), (17).

Determinarea constantelor A și B pentru perioada de la semănat la răsărît s-a făcut pe bază de ecuație, folosind formula $A + Bn = E^t$ pentru fiecare epocă, iar rezolvarea lor cu ajutorul teoremei lui Gauss privind calculul erorilor (12), (16). Numărul de zile necesare pentru parcurgerea perioadei de vegetație de la semănat la răsărît s-a calculat cu ajutorul for-

mulei $n = \frac{A}{t - B}$. Consumul de căldură al soiurilor s-a exprimat atât prin suma temperaturilor acumulate, care este încă folosită de mulți autori și poate dă o orientare generală în aprecierea consumului de căldură de către plante, cît și prin metoda bilanțului termic real care înălță temperatura inactivă pentru plantă.

Rezultatele de producție și mersul coacerii s-au stabilit pe baza culegerilor succesive, iar valorificarea rezultatelor s-a făcut prin analiza varianței după metoda de calcul pentru experiențele polifactoriale așezate în pătrat latin cind unul din factori are așezarea pătratică.

În laborator s-a determinat procentul de fibră al soiurilor, pe baza căruia s-au stabilit producția totală de fibră și producția de fibră pînă la cădere brumei. De asemenea la stațiune s-au analizat și insușirile fizico-mecanice ale fibrelor după metodica standardizată (23).

Condițiile pedoclimatice

Solul pe care s-au efectuat cercetările a fost cernoziom mediu levigat cu textură luto-argiloasă.

Din analiza condițiilor climatice prezentate în tabelul nr. 1 reiese că, față de media pe 13 ani, în perioada de vegetație a bumbacului (aprilie-octombrie 1962) s-au înregistrat

Tabelul
Date meteorologice înregistrate la Stațiunea

Nr. crt.	Anii	Temperatura medie lună °C						
		aprilie	mai	iunie	iulie	august	septembrie	octombrie
1	1962	12,1	17,7	19,9	22,6	24,3	17,6	12,6
2	media	11,8	16,7	20,6	22,8	23,0	18,1	11,5
	1950—1962 abaterea	+0,3	+1,0	-0,7	-0,2	+1,3	-0,5	+0,9

depășiri la temperatură (64°C) și la durata de strălucire a soarelui (124 de ore) și deficit la precipitații (95 mm). De asemenea trebuie remarcat faptul că în primăvară solul a fost bine aprovizionat cu apă și că ultimul îngheț, deși a fost tîrziu (la 3.V), a influențat în mică măsură plantele răsărite, fiind de scurtă durată, iar bumbacul nefiind rărit. Așadar, 1962 a fost un an favorabil pentru cultura bumbacului.

REZULTATELE OBTINUTE

a. Durata principalelor perioade și a întregii perioade de vegetație. Analizând datele din tabelul nr. 2, reies următoarele: bumbacul din soiul 1298 răsare în 24 de zile la temperatură de 12°C și în 6—7 zile la temperatură de 19—20°C, parurge perioada de la îmbobocire la înflorire în 24—27 de zile, perioada de la înflorire la coacere în 40—43 de zile la temperatură de 24°C și în 55 de zile la temperatură de 20°C, iar întreaga perioadă de vegetație descrește de la 140 de zile în epoca I la 111 zile în epoca a V-a și crește la 116 zile în epoca a VI-a.

Din tabelul nr. 3 rezultă că soiul 5904—I parurge perioada de la semănat la răsărît în 23 de zile la temperatură de 12°C și în 6—7 zile la temperatură de 20°C, perioada de la îmbobocire la înflorire în 26—29 de zile, perioada de la înflorire la coacere în 60 de zile la temperatură de 23°C și în 67 de zile la temperatură de 21°C, iar în epoca a VI-a capsulele plantelor nu au ajuns la maturitate pînă la cădere brumei. Întreaga perioadă de vegetație la soiul 5904—I descrește de la 159 de zile în epoca I la 136 de zile în epoca a V-a. Pentru epoca a VI-a nu s-a putut calcula întreaga perioadă de vegetație, deoarece plantele din această epocă nu și-au încheiat perioada de la înflorire la coacere.

Urmărind comportarea celor două soiuri, se constată că soiul 5904—I comparativ cu 1298 are întreaga perioadă de vegetație mai mare cu 19—25 de zile, datorită mai ales perioadei de la înflorire la coacere.

b. Determinarea constantelor A și B pentru perioada de la semănat la răsărît. Bumbacul, fiind originar din țările calde, are cerințe mari față de căldură. În general, consumul de căldură al plantelor se exprimă prin suma temperaturilor din întreaga perioadă de vegetație. I. Băla (2) a stabilit că soiurile precoce din *G. hirsutum* necesită 3 400°C, iar N. Zamfirescu (22) menționează că soiurile din *G. barbadense* au nevoie de peste 3 800°C. În urma lucrărilor lui T. D. Lisenko (12), s-au introdus în calcul consumul de căldură numai temperaturile active, efective, care depășesc zero biologic al fiecărei plante, folosindu-se metoda bilanțului termic real.

nr. I

experimentală Brînceni, în anii 1950—1962

Temperatura medie aprilie-oct. °C	Suma în perioada aprilie-oct.			Ultimul îngheț de primăvară	Primul îngheț de toamnă
	temperatu- rilar °C	strălucirii soarelui ore	precipi- tațiilor mm		
18,1	3 873	1 775	249	3.V	22.X
17,8	3 809	1 651	344	—	—
+0,3	+64	+124	-95		

Prin lucrările referitoare la influența factorului termic asupra desfășurării fazelor de vegetație, T. D. Lisenko (12) a stabilit că cerințele plantei de bumbac față de temperatură nu sunt aceleași în cursul întregii perioade de vegetație, acestea schimbându-se după fiecare dintre ele. El a stabilit că fiecare perioadă de vegetație poate să înceapă numai la o anumită temperatură, care este o valoare constantă (constantă B) și care diferă de la un soi la altul. De asemenea a stabilit că pentru terminarea fiecărei perioade de vegetație este nevoie de o anumită sumă de temperaturi efective, care pentru perioada de vegetație respectivă a unui soi este constantă (constantă A), dar care este diferită pentru soiuri deosebite.

I. Varuntian (21), I. P. Iakuskin (10), Gh. Bîatteanu (3), N. Zamfirescu (22), citind datele lui T. D. Lisenko, conchid că temperatura necesară plantei de bumbac este diferită după fazele de vegetație.

G. Goldberg (9), lucrând cu soiuri de bumbac, ajunge la concluzia că pentru perioada de la semănat la răsărit constanta B variază între 10,7 și 11,6°C, iar constanta A între 57,3 și 69,4°C.

E. S. Ulanova (20), M. S. Kulik (11) apreciază că indicii stabilii de Sigolevă grâu, folosind lucrările lui Lisenko, au dovedit un mare grad de veridicitate și se folosesc în prezent la deservirea agrometeorologică a agriculturii privind grâul în perioada de toamnă în condiții de umiditate suficientă a solului.

În țara noastră I. C. Teodorescu (19) la viță de vie și O. Berbecel (4) la porumb au studiat între altele factorul termic, stabilind necesarul de căldură prin suma temperaturilor efective; ei fixează ca zero biologic temperatura de 10°C. O. Berbecel (5) arată că, pentru a obține o imagine clară asupra cerințelor plantelor față de căldură, este necesar ca în afara calculului corect al sumelor de temperatură să cunoaștem și cerințele plantelor față de temperatură specifică pentru fiecare fază separat (minimă, optimă și maximă).

Deoarece în literatura de specialitate din țara noastră privind bumbacul nu se găsesc astfel de date, încercăm să folosim observațiile noastre pentru a determina constantele A și B ale soiurilor 1298 și 5904—I pentru perioada de la semănat la răsărit.

În tabelul nr. 4 dăm datele privind perioada de la semănat la răsărit pentru soiurile 1298 și 5904—I, care stau la baza alcăturirii ecuațiilor în vederea determinării constantei A și B .

În tabelul nr. 5 sunt prezentate ecuațiile stabilite pe baza formulei $A + Bn = Et^{\circ}$ cu ajutorul datelor din tabelul nr. 4 și prin rezolvarea lor cu ajutorul teoremei lui Gauss privitoare la calculul erorilor, și anume că suma pătratelor diferențelor dintre media probabilă și valorile măsurate, deci suma pătratelor abaterilor, trebuie să fie un minim. Am stabilit că soiul 1298 are constanta B de 9,4°C și constanta A de 69,2°C, iar soiul 5904—I are constanta B de 9,1°C și constanta A de 67,9°C.

Durata și temperatură medie a principalelor perioade de vegetație și a întregii perioade de vegetație, pe epoci de semănat, la soiul 1298—I, la stația experimentală Brînceni, în anul 1962

Nr. crt.	Perioada de vegetație	I = 5.IV			II = 18.IV			III = 29.IV			IV = 10.V			V = 20.V			VI = 12.VI		
		temp- ratura medie °C	durata zile	tempe- ratura medie zile	temp- ratura medie °C														
1	însămîntare — răsărit	24	12,3	14	14,5	13	14,6	8	18,7	7	19,8	6	19,4	6	19,4	7	23,7		
2	răsărit — 1-a frunză	14	14,4	14	14,6	9	18,4	9	18,5	7	23,4	7	23,7	7	23,7	3	25,7		
3	1-a frunză — a 2-a frunză	5	17,8	5	18,2	5	19,2	4	22,6	5	18,5	6	18,3	3	18,3	2	26,4		
4	a 2-a frunză — a 3-a frunză	6	18,8	6	19,6	5	22,4	6	20,1	6	22,9	4	22,9	2	23,0	13	23,0		
5	a 3-a frunză — a 4-a frunză	5	21,5	4	22,6	4	22,9	16	18,0	14	20,5	13	20,1	37	21,9	24	24,3		
6	a 4-a frunză — imbohocire	17	17,5	18	17,2	52	17,6	45	19,4	42	22,3	26	23,6	55	19,9	—	—		
7	însămîntare — imbohocire	71	15,5	61	17,1	26	22,5	26	22,4	41	24,2	43	23,6	111	116	—	—		
8	imbohocire — înflorire	27	22,1	41	23,9	40	—	118	—	—	—	—	—	—	—	—	—		
9	înflorire — coacere	42	24,2	—	—	128	—	—	—	—	—	—	—	—	—	—	—		
10	semănat — coacere	140	—	—	—	—	—	—	—	—	—	—	—	—	—	—	—		

Tabelul nr. 3
Durata și temperatură medie a principalelor perioade de vegetație și a întregii perioade de vegetație, pe epoci de semănat, la soiul 5904—I, la stația experimentală Brînceni, în anul 1962

Nr. crt.	Epoca	I = 5.IV			II = 18.IV			III = 29.IV			IV = 10.V			V = 20.V			VI = 12.VI		
		temp- ratura medie °C	durata zile	tempe- ratura medie zile	temp- ratura medie °C														
1	însămîntare — răsărit	23	12,1	12	14,7	12	14,5	7	19,2	7	19,8	6	19,4	6	19,4	7	23,7		
2	răsărit — 1-a frunză	15	14,5	15	14,9	10	18,7	10	19,1	7	23,4	7	23,7	7	23,7	3	25,7		
3	1-a frunză — a 2-a frunză	5	17,8	5	18,2	5	19,2	5	22,4	5	23,5	5	21,1	4	22,7	3	22,7		
4	a 2-a frunză — a 3-a frunză	5	19,6	6	18,6	5	22,0	5	18,6	5	18,7	5	18,7	3	23,8	3	23,8		
5	a 3-a frunză — a 4-a frunză	4	20,5	4	21,3	4	22,0	5	22,4	5	22,5	5	22,4	3	22,4	3	22,4		
6	a 4-a frunză — a 5-a frunză	5	22,3	5	21,6	5	22,4	5	20,3	8	23,0	8	23,0	11	22,2	37	22,2		
7	a 5-a frunză — imbohocire	13	16,4	12	17,5	9	17,5	50	17,5	44	19,4	42	19,4	27	22,6	26	24,3		
8	însămîntat — imbohocire	70	15,5	59	16,8	29	22,5	29	22,4	29	23,0	63	22,2	67	21,1	—	—		
9	imbohocire — înflorire	29	22,2	29	23,1	60	23,4	—	148	—	136	—	136	—	—	—	—		
10	înflorire — coacere	60	23,4	60	—	159	—	—	—	—	—	—	—	—	—	—	—		
11	semănat — coacere	—	—	—	—	—	—	—	—	—	—	—	—	—	—	—	—		

Tabelul nr. 4
Date asupra perioadei de la semănat la răsărit la soiurile de humber 1298 și 5904-I, la Stațiunea experimentală Brânceni, în anul 1962

Nr. crt.	Epoca	data semănatului	data răsăririi	Soiul 1298			Soiul 5904-I		
				durata perioadei semănat — răsărit	nr. zile semănat — răsărit	suma temperaturii semănat — răsărit	data răsăritului	durata perioadei semănat — răsărit	nr. zile semănat — răsărit
1	I	5.IV	29.IV	5.IV—28.IV	24	294	5.IV	28.IV	23
2	II	18.IV	2.V	18.IV—1.V	14	204	18.IV	30.IV	12
3	III	29.IV	12.V	29.IV—11.V	13	190	29.IV	11.V	12
4	IV	10.V	18.V	10.V—17.V	8	150	10.V	17.V	7
5	V	20.V	27.V	20.V—26.V	7	138	20.V	27.V	7
6	VI	12.VI	18.VI	12.VI—17.VI	6	117	12.VI	18.VI	6

Tabelul nr. 5
Ecuațiile pentru determinarea constantelor A și B ale perioadei de la semănat la răsărit, la soiurile 1298 și 5904-I, la perioada de la semănat la răsărit la Stațiunea experimentală Brânceni, în anul 1962

Nr. crt.	Epoca	Soiul 1298			Soiul 5904-I		
		nr. zile de la semănat la răsărit	data răsăritului	teoretic	nr. zile de la semănat la răsărit	data răsăritului	teoretic
1		5.IV	A + B 24 = 294°	A + B 24 = 294°	5.IV	22,6	23
2		18.IV	A + B 14 = 204°	A + B 14 = 204°	18.IV	12,0	12
3		29.IV	A + B 13 = 190°	A + B 13 = 190°	29.IV	12,5	12
4		10.V	A + B 8 = 150°	A + B 8 = 150°	10.V	6,7	7
5		20.V	A + B 7 = 138°	A + B 7 = 138°	20.V	6,6	7
6		12.VI	A + B 6 = 117°	A + B 6 = 117°	12.VI	6,3	6

Tabelul nr. 6
Numărul de zile și data răsăritului stabilite teoretic și pe baza de observări în cîmp, ne epoci, la soiurile 1298 și 5904-I, semănate la Stațiunea experimentală Brânceni, în anul 1962

Nr. crt.	Epoca	Soiul 1298			Soiul 5904-I		
		data semănatului	nr. zile de la semănat la răsărit	teoretic	data semănatului	nr. zile de la semănat la răsărit	teoretic
1	I	5.IV	23,8	24,0	28.IV	26—30.IV	5.IV
2	II	18.IV	13,6	14,0	3.V	29.IV—3.V	18.IV
3	III	29.IV	13,3	13,0	12.V	12.V	29.IV
4	IV	10.V	7,5	8,0	18.V	18.V	10.V
5	V	20.V	6,6	7,0	27.V	27.V	20.V
6	VI	12.VI	6,7	6,0	19.VI	18.VI	12.VI

Tabelul nr. 7
Consumul de căldură al soiurilor 1298 și 5904-I semănate, la Stațiunea experimentală Brânceni, la 18.IV.1962

Nr. crt.	Soiul	Perioada de la semănat la recoltat 90—95% din producție			sumă temperatură inactivă °C
		data semănatului	data recoltării	nr. zile	
1	1298	18.IV	20.IX	156	3 172
2	5904-I	18.IV	31.X	197	3 708

Tabelul nr. 8

Rezultatele analizei varianței în anul 1962

Cauza variabilității	S.P.	G.L.	s^2	Proba F
Total	229,62	71		
Blocuri	0,46	5		
Coloane	1,76	5		
Epoci	169,25	5	33,85	$\frac{33,85}{0,10} = 338,5(2,40)$
Soiuri	33,93	1	33,93	$\frac{33,93}{0,10} = 339,3(4,03)$
A.C. epoci × soiuri	19,24	5	3,85	$\frac{3,85}{0,10} = 38,5(2,40)$
Eroarea	4,98	50	0,10	

Tabelul nr. 9

Comparația epocilor, indiferent de soi, în anul 1962

Epoca	Produsul absolut kg/ha	Produsul relativă %	d. kg/ha	Semnificația
5.IV	1 156	97	- 45	00
18.IV	1 191	100	-	
29.IV	1 130	95	- 61	000
10.V	1 018	85	- 73	000
20.V	891	75	- 200	000
12.V	765	64	- 426	000

D.L. 5% = 32 kg/ha
D.L. 1% = 48 kg/ha
D.L. 0,1% = 56 kg/ha

Tabelul nr. 10

Comparația solurilor, indiferent de epocă, în anul 1962

Soiul	Produsul absolut kg/ha	Produsul relativă %	d. kg/ha	Semnificația
1298	1 094	100	-	
5904-I	956	87,4	-138	000

D.L. 5% = 12 kg/ha
D.L. 1% = 16 kg/ha
D.L. 0,1% = 21 kg/ha

Tabelul nr. 11

Rezultatele de producție ale acțiunii combinate epocă × soi, în anul 1962

Combinația	Produsul absolut kg/ha	Produsul relativă %	d. kg/ha	Gradul semnificației
Epoca I × 1298	1 265	100	-	
Epoca I × 5904-I	1 047	83	-218	000
Epoca II × 1298	1 213	100	-	
Epoca II × 5904-I	1 170	96	- 43	
Epoca III × 1298	1 137	100	-	
Epoca III × 5904-I	1 122	99	- 15	
Epoca IV × 1298	1 115	100	-	
Epoca IV × 5904-I	930	83	-185	000
Epoca V × 1298	925	100	-	
Epoca V × 5904-I	857	93	- 68	0
Epoca VI × 1298	916	100	-	
Epoca VI × 5904-I	613	67	-303	000

D.L. 5% = 66 kg/ha
D.L. 1% = 88 kg/ha
D.L. 0,1% = 115 kg/ha

Din tabelul nr. 6 rezultă în cele mai multe cazuri o concordanță între numărul de zile calculat teoretic și numărul de zile stabilit prin observații pentru parcursarea perioadei de la semănat la răsărit. În unele cazuri există diferență de pînă la o zi între numărul de zile calculat teoretic și cel stabilit prin observații, deoarece pe de o parte faza începe înainte ca 50% din plante să fi trecut prin ea, iar pe de altă parte răsărirea este influențată și de alți factori în afară de temperatură.

Din tabelul nr. 7 rezultă că suma de temperatură acumulată de soiul 1298 în perioada de vegetație este de 3 172°C, iar la soiul 5904-I de 3 708°C, date apropiate de cele indicate de literatura de specialitate (2), (15), (22); suma temperaturilor efectiv folosite de plantă este la soiul 1298 de 1 706°C, iar la soiul 5904-I de 1 917°C, adică soiul 5 904-I, necesită un consum de căldură efectivă mai mare cu 211°C de cît celălalt.

c. Rezultatele de producție. Din tabelul nr. 8, în care sunt prezentate rezultatele analizei varianței, proba F arată că atît diferențele între epoci cît și între soiuri sunt marcant semnificative.

Din tabelul nr. 9 reiese că epoca a II-a (18.IV) a dat o producție medie de bumbac brut de 1 191 kg/ha (indiferent de soi), celelalte epoci au dat deficiete de producție distinct semnificative sau foarte semnificative.

Din tabelul nr. 10, în care sunt prezentate producțiile medii pentru soiuri indiferent de epocă, rezultă că 5904-I a realizat numai 87% din producția lui 1298 de 1 094 kg/ha, minusul de producție fiind foarte semnifi-

ficativ. Aceasta se datorește faptului că soiul 5904—I semănat la epoca tîrziu realizează producții foarte mici.

Analizând datele din tabelul nr. 11 se observă că soiul 5904—I realizează din producția aceleiași epoci a soiului 1298 procente ridicate, și anume 96% în epoca a II-a și 99% în epoca a III-a; deficitele de producție nefiind semnificative, producțiile soiurilor sunt practic egale.

Din tabelul nr. 12 reiese că de la soiul 1298 se obține cea mai mare producție prin însămîntarea în epoca de la 5.IV (1 265 kg/ha) și în epoca de la 18.IV (1 213 kg/ha) și se realizează o producție de peste 1 100 kg/ha prin însămîntarea între 5.IV și 10.V. O situație similară o prezintă producția de fibră. În ceea ce privește soiul 5904—I, cele mai mari producții se obțin prin însămîntarea la 18.IV (1 170 kg/ha) și la 29.IV (1 122 kg/ha) se obține o producție de peste 1 000 kg/ha prin însămîntarea între 1 și 29.IV. O situație asemănătoare este și în privința producției de fibră și 29.IV.

d. *Mersul coacerii*. În general, deschiderea capsulelor la soiul 5904—I a fost în întîrziere față de soiul 1298 în toate epociile. Din figura 1 reiese că la bumbacul semănat în epoca de la 18.IV pînă la 10.IX s-a recoltat 74% din soiul 1298 și numai 10% din soiul 5904—I, iar pînă la cădere brumei s-a recoltat 99% din soiul 1298 și 91% din producția totală de bumbac a soiului 5904—I.

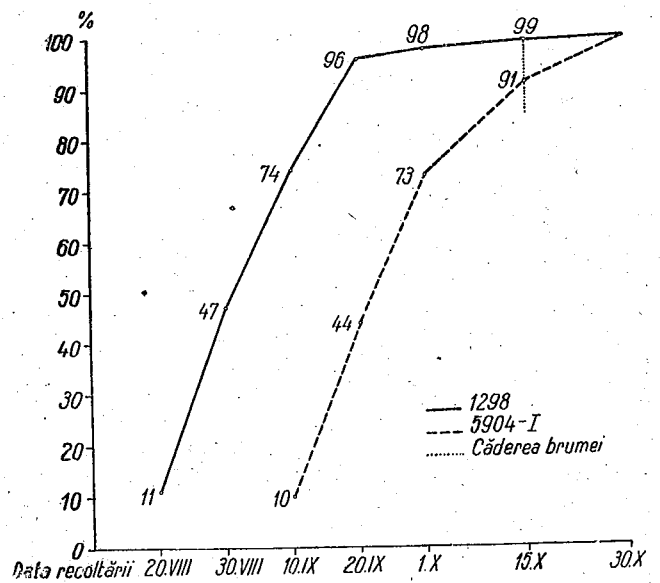


Fig. 1. — Mersul coacerii soiurilor 1298 și 5904—I semăuate la 18.IV.1962

e. Însusirile fizico-mecanice ale fibrei de bumbac. Din tabelul nr. reiese că cele mai bune însușiri privind calitatea fibrei se realizează ambele soiuri prin însămîntare la 18.IV. Comparînd însușirile fizic

Tabelul nr. 12

Producția de bumbac în anul 1962, pe epoci și solurile 1298 și 5904 - I												
Epoca	Soiul 1298						Soiul 5904 - I					
	producția de bumbac brut			producția de fibră			producția de bumbac brut			producția de fibră		
	totală	kg/ha	% Mt.	totală	kg/ha	% Mt.	totală	kg/ha	% Mt.	totală	% Mt.	
1	5.IV	1.265	100	1.243	98	100	33,9	429	100	1.047	100	
2	18.IV	1.213	96	1.201	99	97	33,5	406	95	1.710	112	
3	29.IV	1.137	90	1.113	98	90	33,4	380	89	1.122	107	
4	10.V	1.105	87	1.070	97	86	33,3	368	86	1.356	85	
5	20.V	925	73	893	97	72	33,4	309	72	765	82	
6	12.VI	900	71	780	85	63	33,5	302	70	857	81	

Tabelul nr. 13

Nr. crt.	Epoca	Soiul 1298				Soiul 5904 - I			
		lungimea fibrei modula	lungimea fibrei filtrator mm	sarcina de maturitatea utilor- militare baza %	lungimea fibrei modula	lungimea fibrei filtrator mm	sarcina de maturitatea utilor- militare baza %	lungimea fibrei modula	
1	5.IV	21,97	24,41	58,8	1.292	1,53	4,03	5.398	22
2	18.IV	23,69	26,74	54,1	1.282	1,78	4,34	5.447	24
3	29.IV	22,97	26,36	54,0	1.240	1,43	3,86	5.373	21
4	10.V	23,09	26,50	53,3	1.284	1,45	3,96	5.808	23
5	20.V	23,21	26,59	52,2	1.212	1,41	3,82	5.873	23
6	12.VI	-	-	-	-	-	-	26,95	30,80
								47,0	47,0
								1.067	1,57
								4,21	4,21
								6.498	27

mecanice ale fibrei soiului 5904—I cu ale fibrei soiului 1298, se constată că primul are fibra de calitate mai bună, depășind calitatea fibrei soiului 1298 cu 3—4,5 mm la lungime, precum și la rezistență, finețe și lungimea de rupere în km.

CONCLUZII

1. Soiul 5904—I are întreaga perioadă de vegetație mai lungă în diferite epoci cu 19—25 de zile decât soiul 1298, datorită mai ales perioadei de la înflorire la coacere.
2. Pentru perioada de la semănat la răsărit, soiul 5904—I are constanta B de $9,1^{\circ}\text{C}$ și constanta A de $67,9^{\circ}\text{C}$, iar soiul 1298 are constanta B de $9,4^{\circ}\text{C}$ și constanta A de $69,2^{\circ}\text{C}$.
3. Suma de temperatură acumulată în perioada de vegetație este la soiul 1298 de 3172°C , iar la soiul 5904—I de 3708°C , iar suma temperaturilor efectiv folosite de plantă este la 1298 de 1706°C , iar la 5904—I de 1917°C .
4. Soiul 5904—I realizează 87% din producția de bumbac a soiului 1298, indiferent de epocă, iar în epociile 18 și 29.IV realizează producții egale cu 1298.
5. Ambele soiuri realizează cea mai bună calitate a fibrei în epoca 18.IV. Soiul 5904—I are fibra de calitate mult superioară fibrei soiului 1298 (cu 3—4,5 mm mai lungă, mai rezistentă și mai fină).

BIBLIOGRAFIE

1. BACSIS GH. și PIPIE A., Anal. I.C.C.A., seria C, 1961, 29.
2. BĂLAN ION, *Bumbacul și cultura lui*, București, 1949.
3. BILTEANU GH., Probleme agricole, 1954, 6.
4. BERBECEL O. și colab., Anal. I.C.C.A., seria C, 1962, 30.
5. — Zonarea ecologică a plantelor în R.P.R., Edit. Acad. R.P.R., București, 1960.
6. CĂRPINĂSAN TR. și colab., Contribuții la raionarea soiurilor de bumbac în R.P.R., Anal. I.C.A.R., seria nouă, 1956, 24, 5.
7. — Anal. I.C.A.R., seria C, 1959, 27.
8. CEAPOIU N. și ITOAFA E., *Elemente de tehnică experimentală agricolă*, București, 1959, partea I.
9. ГОЛЬДВЕРГ Г., Хлопководство, 1959, 3.
10. ЯКУШКИН И.П., Растениеводство, Москва, 1953.
11. КУЛИК М.С., Метеорология и гидрология, 1962, 6.
12. ЛЫСЕНКО Т.Д., Стадийное развитие растений, Москва, 1952.
13. МАУЕР Ф. М., Хлопчатник, Изд. Акад. наук УзССР, Ташкент, 1955, 2.
14. НАГИБИН Я.Д., Основные сведения по биологии хлопчатника, Справочник по хлопководству, Госиздат УзССР, Ташкент, 1949.
15. OBREJANU G. și colab., *Manualul inginerului agronom*, Edit. agro-silvică, București, 1959, 1.
16. PLĂCINTEANU I., Teoria erorilor de măsurare și metoda celor mai mici patrate, Edit. tehnică, București, 1957.
17. РУДЕНКО А. И., Определение фаз развития сельскохозяйственных растений, Москва, 1950.
18. SĂULESCU N., *Cimpul de experiență*, Edit. agro-silvică, București, 1959.

19. TEODORESCU I. C., Bul. științ. Acad. R.P.R., Secțiunea de științe biologice, agronomice, geologice și geografice, 1954, 6, 2.
20. УЛЯНОВА Е.С., *Методы агрометеорологических прогнозов*, Гидрометеоиздат, Ленинград, 1959.
21. ВАРУНЦИАН И., Советское хлопководство, 1952, 30, 187.
22. ЗАМФИРЕСКУ N. și colab., *Fitoteknia*, Edit. agro-silvică, București, 1958, 2.
23. * * * Инструкции по лабораторному анализу хлопко-волокна, ГХЗЛЕГПРОМ, Москва, 1951.

Institutul de cercetări pentru cereale și plante tehnice, Fundulea, Centrul experimental Brănești.

Primită în redacție la 15 iunie 1963.

CONTRIBUȚII LA STUDIUL FORMĂRII ȘI DEZVOLTĂRII
PICNIDIILOR DE *PHOMA LINGAM* (TODE) DESM.*

DE

VERA BONTEA

581(05)

Lucrarea se referă la studiul formării și dezvoltării picnidiilor de *Phoma lingam* (Tode) Desm., parazită pe varză. Aceste procese s-au urmărit atât pe țesuturi vii, cât și pe mediul nutritiv de cartof. Se presupune existența unui heterotatism; miceliile de tipuri diferite s-ar influența fie direct prin anastomoze, fie numai prin simpla excitare hormonală, ceea ce contribuie la formarea masivă a picnidiilor în cazul însămîntării pe mediu a cantităților mari de spori de diferite proveniențe.

Cu ocazia studiului biologiei ciupercii *Phoma lingam* (Tode) Desm.¹ am observat că pe plante picnidiile se formează sub epidermă, pe care o împing bombînd-o la început, apoi o rup și apar la suprafața organelor atacate sub formă de puncte brune-închis sau negre (fig. 1). În majoritatea cazurilor, picnidiile au apărut pe plante la două săptămâni după infecție.

Pe mediul nutritiv din extract de cartofi cu glucoză, la temperatură camerei (18—20°C), dezvoltarea picnidiilor a durat de cele mai multe ori 40—48 de ore. Am observat întotdeauna formarea picnidiilor în număr mai mare și într-un timp mai scurt în cazul cînd am urmărit acest proces în culturi din mai mulți spori de diferite proveniențe. În cazul culturilor monosporale, picnidiile adesea nu se formau sau apăreau în cantitate foarte redusă. Acest fapt ne-a determinat să renunțăm la culturi mono-

* Lucrare publicată și în „Revue roumaine de biologie — Série de botanique”, 1964, IX, 6, p. 441 (în limba germană).

¹ Mulțumim lui Mioara Todică pentru ajutorul dat la efectuarea preparatelor microscopice.

sporale atunci cînd urmăream obținerea de material bogat necesar pentru infecții experimentale, în vederea stabilirii rezistenței plantelor, duratei perioadei de incubație etc. În același timp, am constatat că tulpinile de *Phoma lingam* izolate din semințe și din plante de diferite proveniențe se comportă altfel în ceea ce privește dezvoltarea miceliului și formarea picnidior. Astfel, în timp ce în unele culturi miceliul este foarte fin, aproape invizibil și picnidii apar în număr foarte mare (pl. I, a), în altele miceliul are dezvoltare luxuriantă, dar nu formează picnidii (pl. I, d).

Perioada în care are loc formarea picnidiorilor de la însămîntare pe mediu variază de asemenea în funcție de proveniența ciupercii. Astfel, în prima etapă a cercetărilor am lucrat cu o tulpină care forma picnidii la aproximativ două săptămîni de la însămîntare; mai tîrziu am izolat două tulpini, din care una, în aceleași condiții (pe mediu de cartofi, la 18–20°C), forma picnidii în număr foarte mare la 4–5 zile de la însămîntare (pl. I, e), iar alta se dezvoltă foarte încet în comparație cu prima și producea picnidii puține, foarte mici și la un interval mai mare de timp (8–10 zile) de la însămîntare (pl. I, f). Deoarece diferențe proveniente au caracterele morfologice și mai ales fiziologice felurite, putem presupune existența a diverse tipuri sau rase de *Phoma lingam*. Pentru delimitarea lor, sînt necesare însă cercetări speciale pe un material mai bogat.

În cazul culturilor provenite din mai mulți spori, am putut constata, la intervale diferențiate de la însămîntare, prezența a numeroase cazuri de anastomoza, fie prin contact direct al hifelor, fie prin una sau mai multe puncte de legătură (fig. 2, a). În aceste portiuni, se observă o ușoară îngroșare a filamentelor miceliene și ramificarea lor abundantă; prelungirile digitiforme ce iau naștere se întrețes și formează aglomerări la care se alătura și alte filamente miceliene ale ciupercii *Phoma lingam* (fig. 2, b). Aglomerarea și împărtirea hifelor sporește, luind proporții din ce în cele mai mari, pînă cînd se diferențiază picnidia (pl. II, a–c). Aceasta este la început hialină (pl. II, b), apoi se închide treptat la culoare, trecînd prin nuantele de galben-deschis, galben-închis, brun-deschis, brun-închis, și ajunge în cele din urmă la culoarea aproape neagră (pl. II, c). Paralel cu schimbarea culorii, se constată și diferențierea aglomerării de hife într-un perete pseudoparenchimatic, care închide o cavitate mai mult sau mai puțin sferică, în interiorul căreia prelungirile hifelor formează condiofori scurți. Acestea căptușesc întreg peretele interior al picnidiei și dau naștere la un număr foarte mare de picnospori, care în scurt timp umplu întreaga cavitate (fig. 3). La partea superioară a picnidior, se diferențiază un osteol, în jurul căruia uneori peretele se ridică formînd o papilă (fig. 4, a); cîteodată, la o picnidie se observă două osteole (fig. 4, b). Cînd picnidia ajunge la maturitate, sporii din interior se pun în libertate înglobați într-o masă mucilaginoasă, de cele mai multe ori de culoare roz, sub forma unui cordon serpuitor.

Faptul că în culturi monosporale picnidii nu apar întotdeauna, iar cînd apar în general numărul lor este foarte mic, ne conduce la ideea că ciuperca *Phoma lingam* ar fi heterotalică, iar heterotalismul aici ar fi de altă natură decît cel sexual. Heterotalismul, după cum arată Gwynne-Vughan și Maresque (citați după (5)), nu



Fig. 1, a–c. — Portiuni de varză mărite, cu fructificațiiile ciupercii *Phoma lingam* (Tode)
Desm.: a, frunză; b, tulpină de semincer; c, floare.

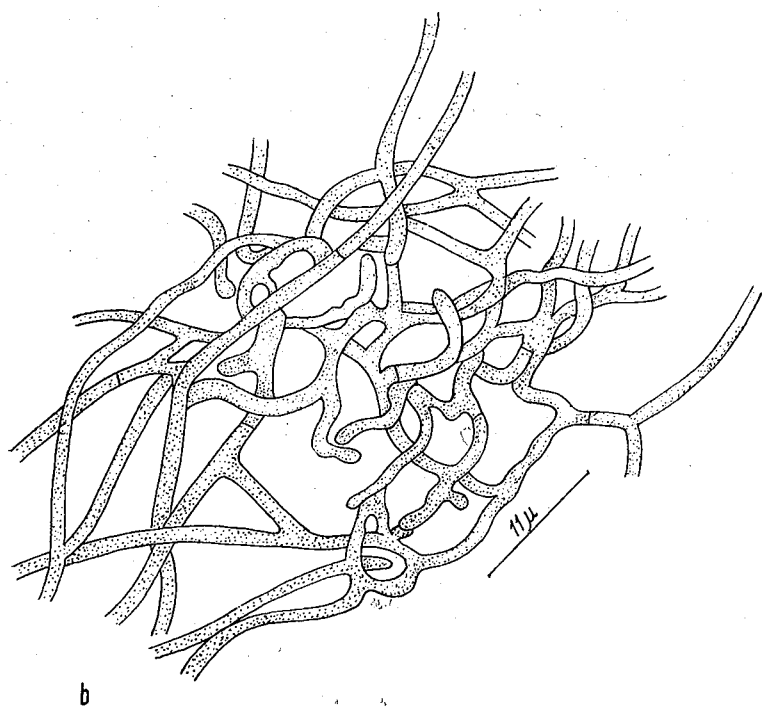
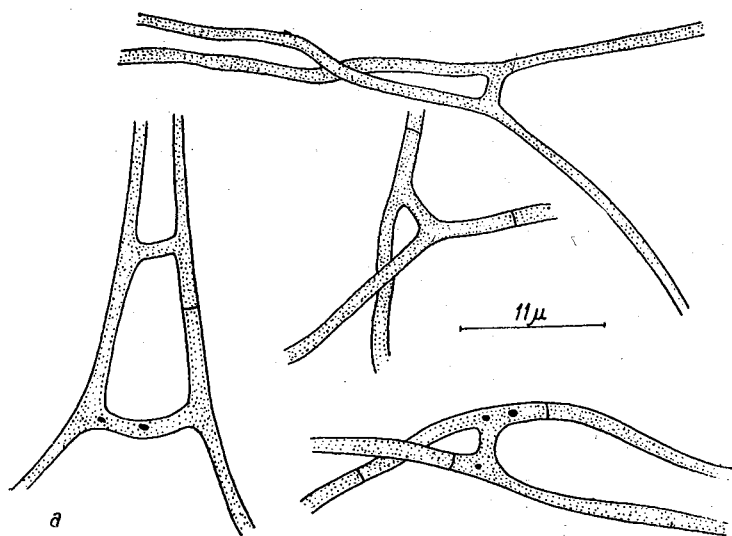


Fig. 2. — Miceliul ciupercii *Phoma lingam* (Tode) Desm.: a, filamente miceliene unite prin punți de legătură; b, filamente miceliene puternic ramificate și întrețesute reprezentând începutul formării picnidiei.

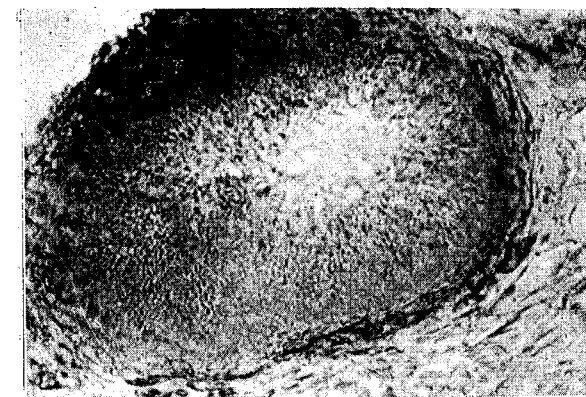


Fig. 3. — Secțiune transversală printr-o picnidie de *Phoma lingam* (Tode) Desm.

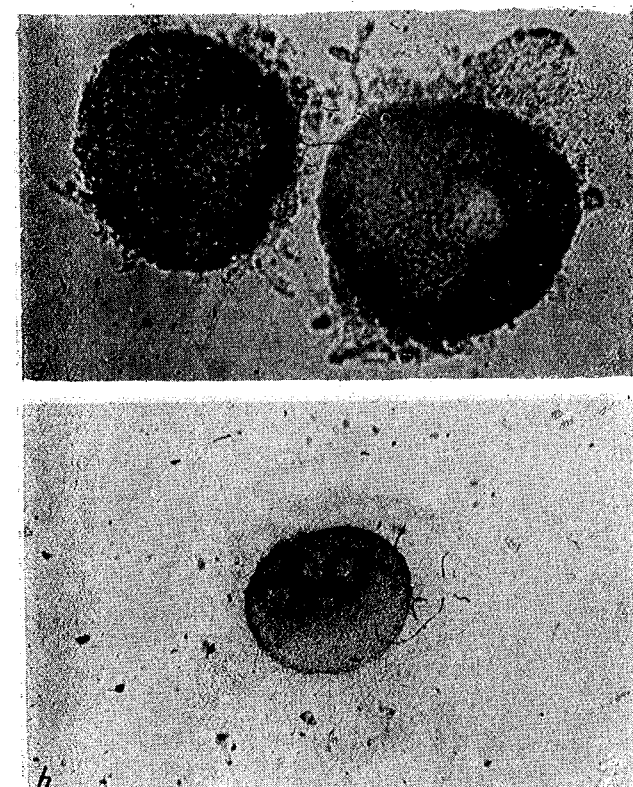


Fig. 4. — Picnidii tinere de *Phoma lingam* (Tode) Desm.; a, cu un singur osteol și cu papilă; b, cu două osteole.

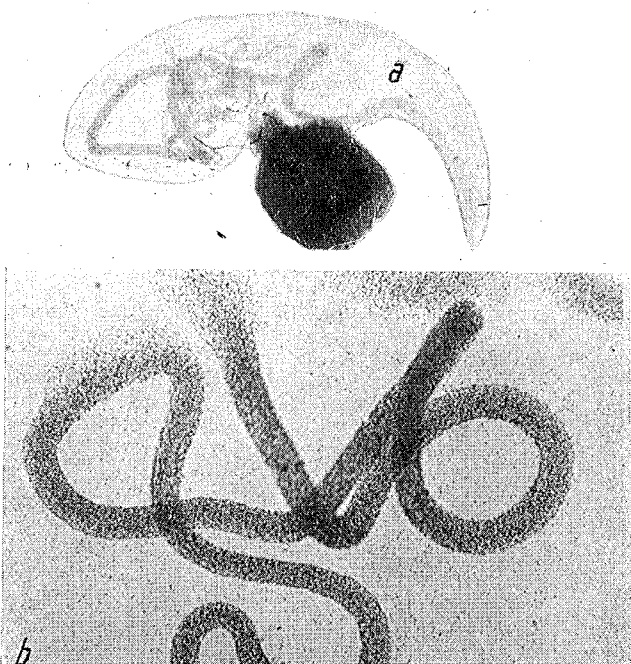
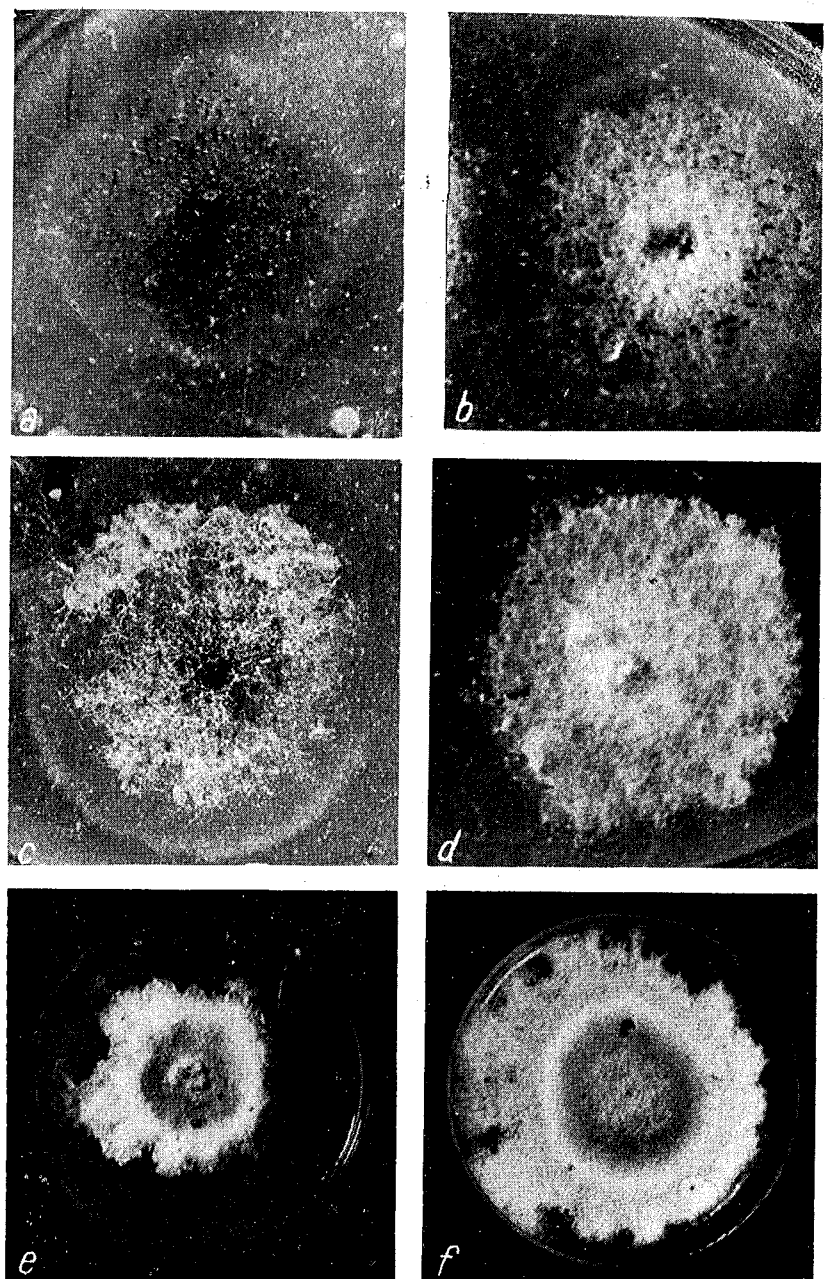
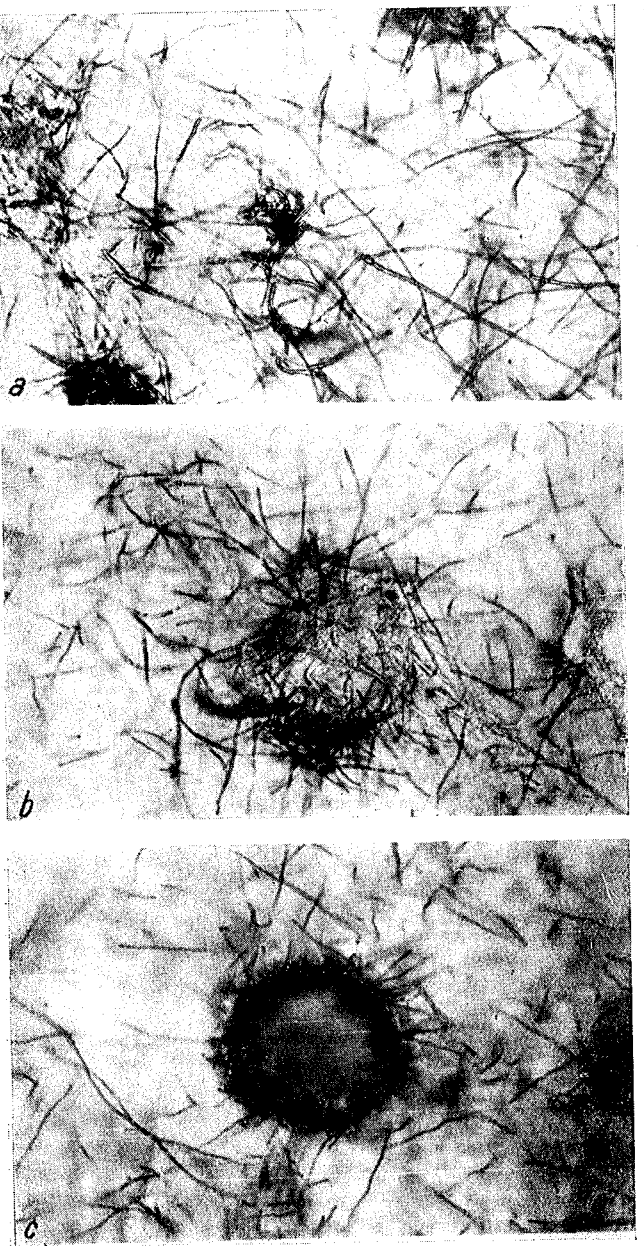


Fig. 5. — *Phoma lingam* (Tode) Desm. : a, picnidie punind în libertate spori; b, o porțiune mărită din cordonul cu spori.



Diverse tipuri de *Phoma lingam* (Tode) Desm. izolate din semințe (a-d) și din plante (e-f) de diferite proveniențe.

PLANŞA II



Diferite faze de formare a picnidiei de *Phoma lingam* (Tode)
Desm. (a-c).

este același lucru cu sexualitatea ; prin acești doi termeni se înțeleg dualisme independente, care în unele cazuri se pot suprapune. În cazul ciupercii *Phoma lingam*, este vorba probabil de un heterotalism legat mai mult de prezența unor substanțe sau hormoni într-un tal, care prin contact direct (anastomoză) sau la distanță ar excita „polul opus”, ducând astfel la formarea picnidiori într-un număr mai mare. În sprijinul afirmației că miceliul de *Phoma lingam* ar produce mai multe picnidii, chiar numai sub acțiunea unor hormoni, vine și cazul prezentat de O. H. Calvert și Glenn Pound (3) de obținere a unui număr mai mare de picnidii prin cultivarea în același vas de micelii nu numai de tipuri diferite ale speciei *Phoma lingam*, ci chiar de specii diferite ale genului *Phoma* (de exemplu *Phoma lingam* și *Ph. betae*). Noi am observat, în cazul culturilor de spori de diferite proveniențe, anastomoze și prezența nucleilor în apropierea punților de legătură și chiar în interiorul acestora (fig. 2) ; nu putem vorbi însă, cu toată siguranța, de un schimb de nuclei, pentru că nu am făcut studii speciale în această direcție.

Faptul că uneori se formează picnidii și în culturi monosporale, deși în număr redus, ne face să presupunem că hifele unor tulipini de *Phoma lingam* ar fi heterocariotice și că picnidiiile s-ar forma aici după tipul meristogen, pornind de la o singură celulă sau de la mai multe celule adiacente, așa cum arată O. H. Calvert și Glenn Pound (3).

Adâncirea cercetărilor în legătură cu modul de formare a picnidiori prezintă interes nu numai pentru cunoașterea biologiei ciupercii *Phoma lingam*, ci și a grupei *Fungi Imperfici* în general.

BIBLIOGRAFIE

1. BONTEA VERA, Anal. I.C.A.R., seria nouă, 1953, **22**, 3.
2. — *Putregaiul negru al verzei și agentul său patogen Phoma lingam (Tode) Desm.*, București, 1963.
3. CALVERT O. H. a. POUND GLENN, *Phytopathology*, 1949, **39**, 848–857.
4. GÄUMANN E., *Die Pilze. Grundzüge ihrer Entwicklungsgeschichte und Morphologie*, Verlag Birkhäuser, Basel, 1949.
5. MOREAU F., *Les champignons*, Paris, 1952, I.

*Institutul de biologie „Traian Săvulescu”,
Secția de fitopatologie și microbiologie.*

Primită în redacție la 30 iunie 1964.

UN NOU AGENT FITOPATOGEN PENTRU R.P.R., CARE
PRODUCE CIURUIREA FRUNZELOR DE PRUN
(*PSEUDOMONAS MORS-PRUNORUM*)

DE

I. LAZĂR

581(05)

În lucrare se descrie pentru prima dată în R.P.R. boala produsă de bacteria *Pseudomonas mors-prunorum* care, ca simptom caracteristic, prezintă pe aparatul foliar al sămburoaselor ciuruirea frunzelor. Se menționează că, din cele două faze ale ciclului de evoluție al bolii, pînă în prezent a fost observată numai faza de vară. Se evidențiază posibilitatea diferențierii petelor produse de această bacterie pe frunze de cele produse de alți trei agenți fitopatogeni (*Xanthomonas pruni*, *Clasterosporium carpophilum* și *Gloeosporium polystigmicola*), semnalati anterior în țara noastră.

Ciuriurea frunzelor la sămburoase, din punctul de vedere al etiologiei sale, are un caracter complex, datorită participării a mai multor agenți fitopatogeni, dintre care pot fi menționati : *Clasterosporium carpophilum* (Lev.) Aderh., *Xanthomonas pruni* (E. F. Smith) Dawson, *Pseudomonas mors-prunorum* Wormald, bolile virotice „Stecklenberger” și „tatter leaf” și *Gloeosporium polystigmicola* Bondarțev (1), (2), (3), (7), (12), (14).

În țara noastră, pînă în anul 1956 simptomul de ciuriure a frunzelor de sămburoase era atribuit numai ciupercii *Clasterosporium carpophyllum* (11).

În 1956 (2), (11) au fost semnalati pentru țara noastră încă doi agenți patogeni care pe frunzele de sămburoase produc simptomul de ciuriure. Este vorba de bacteria *Xanthomonas pruni* și ciuperca *Gloeosporium polystigmicola*, al căror studiu (îndeosebi a bacteriei *Xanthomonas pruni*) este prezentat în două lucrări apărute în ultimul timp (2), (6).

În vara anului 1962, pe frunzele unor pruni observați în diferite localități din regiunile Argeș și Hunedoara s-a constatat o ciuriire, care

după aspectul petelor nu putea fi atribuită nici una dintre cei 3 agenti fitopatogeni semnalati în țara noastră. Acest fapt ne-a atras atenția și, ca urmare, s-au efectuat investigații în scopul de a lămuri etiologia ciuruirii. Cercetările efectuate au condus la concluzia că pătarea constatată de noi pe frunzele de prun, care în stadiul final se manifestă printre-o ciuruire, se datorează atacului bacteriei *Pseudomonas mors-prunorum* Wormald, nesemnalată pînă în prezent în țara noastră.

Tinind seama de răspîndirea și pagubele pricinuite de acești 4 paraziți, putem arăta că pentru țara noastră cei mai importanți sunt *Clasterosporium carpophilum* și *Xanthomonas pruni*, primul mai frecvent și pagubitor pe cais, cireș și piersic, iar al doilea pe prun și piersic. Urmează *Pseudomonas mors-prunorum*, apoi *Gloeosporium polystigmica*, dintre care primul este mai frecvent pe cireș și prun, iar ultimul numai pe prun.

În lucrarea de față prezentăm istoricul și răspîndirea geografică a bolii provocate de bacteria *Pseudomonas mors-prunorum*, simptomatologia ei în condițiile țării noastre și descrierea agentului patogen izolat și studiat de noi.

Pentru prima dată boala a fost constatată, iar bacteria care o provoacă (*Ps. mors-prunorum*) izolată și studiată în 1931, în Anglia, de către W. O. M. A. L. D., căruia î se datorează și cele mai multe cunoștințe despre boală și agentul său patogen. În perioada 1938—1957, boala a mai fost semnalată în Olanda, Danemarca, Statele Unite, Suedia, New-South Wales, Noua Zeelandă, R.D.G., R.F.G., Franța (7), (13). Studiile cele mai numeroase privind variantele aspecte biologice ale bolii și combaterea ei au fost făcute în Anglia și Olanda (7), (13). Din observațiile și cercetările efectuate în diferite țări, se constată că boala se întâlnește pe: prun, cireș, cais, piersic, *Prunus amygdalus*, *Pr. divaricata*, *Pr. pisardii* etc., cel mai atacat, mai ales sub formă de canceră bacteriene ale scoarței tulipinii, ramurilor sau lăstărilor și yestejire urmată de uscarea mugurilor, fiind cireșul.

SIMPTOMELE BOLII

Sînt afectate de această boală toate organele plantei: tulipa, ramuri, lăstării, mugurii, frunzele și fructele. În evoluția sa boala are două faze: una de vară — toamnă pe frunze, fructe și lăstari proaspăt formați și alta de iarnă — primăvară pe scoarță verde a tulipinii, ramurilor și lăstărilor. C. Stapp (13) denumește aceste două faze mai scurt: de vară și de iarnă.

Faza de vară care se manifestă, sub formă de pete pe frunze, începe din primăvară o dată cu formarea frunzelor și se extinde în timpul verii pe frunzele, fructele și lăstării proaspăt formați. Pe frunze, mai ales în cursul primăverii și începutul verii, în urma infecției prin stomate, apar numeroase pete al căror număr și diametru depind de timpul umed din primăvară și vară. În verile umede, petele pot atinge ușor diametrul de 5 mm. Centrul acestor pete treptat se necrozează, devine brun, iar în jurul său, sub forma unui halou caracteristic, o portiune însemnată din țesut este de un verde-

pal-gălbui (pl. I). La limita dintre marginea acestui halou și portiunea sănătoasă a frunzei, țesutul se desprinde, putînd să cadă (aspectul de ciuruire al frunzei) sau să persiste pînă toamna la cădere frunzelor (pl. I).

Fructele sunt și ele atacate, însă mai puțin. Pe ele, apar pete mici, circulare, cu suprafața rugoasă. Numărul petelor variază în funcție de condițiile climatice și momentul infecției.

Timpul răcoros și umed este cel care favorizează vara infecția frunzelor prin stomate, iar toamna infecția lăstarilor, rămurelelor, ramurilor și tulpinilor pomilor tineri, prin leziunile sau cicatricele nevindecate rămase în urma căderii frunzelor.

Faza de iarnă, sub formă de canceră pe scoarță verde a tulipinii, ramurilor și lăstarilor, începe din toamnă, evoluează în timpul iernii și devine evidentă în cursul primăverii și începutul verii.

Zonele atacate de pe lăstării și ramurile tinere, care au scoarță relativ subțire, sunt clar circumscrise și ușor cufundate. Pe ramurile și rămurelele mai bătrîne cu scoarță groasă, acest simptom nu este evident, se observă însă ca simptom caracteristic o exsudatie abundantă de elei. În secțiune, țesutul din dreptul unei astfel de zone este brunificat și contrastază marcant cu țesutul învecinat verde și sănătos. Frecvent, în dreptul acestor zone canceroase se observă crăpături; de asemenea astfel de zone pot înconjura în anumite portiuni ramura sau lăstarul, ducînd ulterior la moartea extremității superioare a acestora. O acțiune foarte dăunătoare o are boala asupra mugurilor, care, atunci cînd sunt afectați, mai întîi se umflă și apoi se vestejește, iar ramurile pe care ei se află pier în timpul verii. În cazul unui atac puternic al mugurilor, aceștia nu se mai desfac, iar cînd atacul este mai slab, datorită unei evoluții încete a bolii în timpul iernii și al primelor zile mai călduroase din primăvară, mugurii se deschid, însă frunzele rezultate rămîn mici, clorotice, cu tendință de a se răsuci sau ofili. Prezența în timpul verii, pe ramurile mai bătrîne, a frunzelor de un verde-palid pînă la galben, precum și căderea prematură a lor, poate constitui, așa cum arată C. Stapp (13), într-o oarecare măsură un indiciu că asemenea ramuri în anul următor vor muri.

În timpul iernii boala urmează o evoluție lentă, dar prezentă, care se intensifică și se manifestă evident în primăvară și vară prin distrugerea mugurilor, formarea de leziuni canceroase cufundate pe tulipină, ramuri, lăstari și uscarea ramurilor atacate sau chiar pieirea totală a pomului. O dată cu formarea frunzelor și fructelor începe infecția acestora produsă de către bacteriile spălate de ploi sau luate de vînt din mugurii bolnavi sau leziunile canceroase. Aceasta constituie sfîrșitul perioadei de iarnă și începutul celei de vară.

Unii autori (13) semnalăază că, o dată cu începerea sezonului de vară, scoarța capătă o rezistență, în sensul că nu se mai produc noi infecții, extinderea atacului în țesut este oprită, iar bacteriile aflate în țesuturile bolnave de obicei mor. Această rezistență de vară a țesutului scoarței durează pînă toamna în momentul intrării pomilor în perioada de repaus, cînd scoarța devine iar susceptibilă atacului bacteriei. De asemenea s-a constatat că în mugurii total sau parțial distrusi, la sfîrșitul iernii sau în primăvară, bacteria supraviețuiește și reprezintă o sursă de infecție.

a frunzelor, care la rîndul lor își pierd sensibilitatea la infecție pe măsura maturării.

Din observațiile făcute de noi în cursul anilor 1962 și 1963, în țara noastră, s-a pus în evidență numai faza de vară a bolii, adică de pete caracteristice pe frunze. Faza de iarnă, adică de cancer pe tulpină, ramuri și lăstari și de ofilire și uscare a mugurilor nu a fost observată. Aceasta nu înseamnă însă că faza respectivă lipsește la noi — întrucât însăși faza de vară își are originea în prezența celei de iarnă. Noi considerăm că această fază a scăpat observației noastre probabil și datorită faptului că în condițiile de la noi dă simptome mai puțin evidente, dar că în viitor, în urma unor observații mai amănunte și sistematice ea va putea fi pusă în evidență. Situația constatată de noi în prezent este semnalată și de alți autori, (8), (13) care menționează că în timpul verii pot fi observate simptomele caracteristice bolii pe frunze și fructe fără a se constata în acel moment pe tulpini și ramuri.

De asemenea faptul că noi am constatat boala numai pe prun nu exclude posibilitatea prezenței ei și pe alte simburoase și în special pe cires. Considerăm că observațiile ce se vor efectua în anii următori vor lămuri atât acest aspect, cît și cel legat de prezența celor două faze componente ale ciclului evolutiv normal al bolii.

Deoarece pentru țara noastră în momentul de față sănătății patru agenți fitopatogeni care produc ciuruirea frunzelor de simburoase, s-ar părea că posibilitatea diferențierii lor după simptome externe este dificilă. În lucrările lui D. Becker și colaboratori (2) și E. Bucur și colaboratori (6) apărute în ultimii ani se dau o serie de caractere deosebitoare de simptomatologie macroscopică între *Clasterosporium carpophilum*, *Gloeosporium polystigmicola* și *Xanthomonas pruni*. Din observațiile făcute de noi putem afirma că între simptomele produse de acești trei agenți fitopatogeni și cele provocate de *Pseudomonas mors-prunorum* de asemenea există unele deosebiri. Aceasta se referă în special la diametrul și aspectul petelor de pe frunze (pl. I). În cele ce urmează prezentăm principalele simptome deosebitoare pe frunze între cei 4 agenți fitopatogeni semnalati pînă în prezent în țara noastră:

Xanthomonas pruni

Pete mici, rotunde sau ușor colțuroase, diametrul maxim 2 mm, halou transparent, translucid, sticlos. Pe suprafața petei o fină pojghiță de exudat. Tesutul atacat se desprinde și cade, dind frunzei aspectul de ciuruire.

Pseudomonas mors-prunorum

Pete circulare, rar foarte ușor colțuroase, diametrul ajunge frecvent pînă la 5 mm, halou verde-pal-gălbui, transparent, netranslucid. Pe suprafața petei o pojghiță de exudat. Petele se desprind și cad, iar uneori persistă (deși se văd desprinse parțial) pînă la cădere frunzelor.

Clasterosporium carpophilum

Pete circulare și adesea neregulate. Diametrul lor ajunge sau depășește frecvent 5 mm. Petele sunt înconjurate de o margine roșiatică-brunie, fără exudat. În cele din urmă întreaga pată devine necrozată, deci fără haloul caracteristic petelor bacteriene. Tesutul necrozat de obicei se desprinde și cade.

Din planșa I o bună parte dintre aceste caractere deosebitoare se pot ușor urmări.

Trebuie adăugat că, acolo unde există posibilități, studiul microbiologic de laborator înălță orice dubiu, permitînd o diagnosticare precisă a fiecăruia dintre cele 4 microorganisme menționate mai sus.

AGENTUL PATOGEN

Din petele de pe frunze în repetate rînduri s-a izolat cu destulă ușurință în mod constant o bacterie care pe geloză crește sub formă de colonii albe, circulare, netede, strălucitoare, convexe, cu marginea întreagă la început, apoi foarte ușor ondulată. Această bacterie a fost determinată pe baza însușirilor morfologice, culturale, fiziologice și biochimice ca fiind *Pseudomonas mors-prunorum* Wormald, care în literatura de specialitate se mai întâlnește cu sinonimiile: *Agrobacterium mors-prunorum* (Wormald) Săvulescu, 1947, *Bacterium mors-prunorum* Wormald, 1932, *Phytomonas mors-prunorum* Bergey, 1939, iar în ultimii ani a fost inclusă de unii autori în specia *Ps. syringae* Van Hall (4), (9), (10).

Ca o confirmare a determinării noastre, pentru comparație s-a folosit o tulpină de *Ps. mors-prunorum* primită de la Colecția națională de bacterii fitopatogene din Harpenden, ale cărei însușiri sănătății sunt identice cu ale organismului izolat de noi.

Iată pe scurt însușirile bacteriei izolate de noi din petele de pe frunzele de prun: bacterie se prezintă sub formă de bastonașe de $0,3-0,6 \times 0,8-2,3 \mu$, capetele rotunjite, mobile prin flageli dispuși polar, asporogenă, pe alocuri în mici lanțuri. Pe geloză atât cu macerat de carne, cît și cu extract de porumb, formează colonii albe. În bulion se dezvoltă bine, producînd tulburarea omogenă și puternică a acestuia chiar după 48 de ore, nu formează peliculă și inel, iar sedimentul după prima săptămînă este foarte puțin, pentru ca după 3-4 săptămîni să se depună o cantitate apreciabilă. *Gelatina* este slab și foarte încet lichefiată. *Laptele* nu este transformat în cheag nici după 3-4 săptămîni de la însămînțare, iar turnesoul nu este redus. Pe *felii de cartof* cu bulion glicerinat 5%,

Gloeosporium polystigmicola

Se dezvoltă pe stromele de *Polystigma rubrum*; produce perforări în general cu diametrul mult mai mare decît ceilalți agenți menționați, în urma desprinderii țesutului atacat.

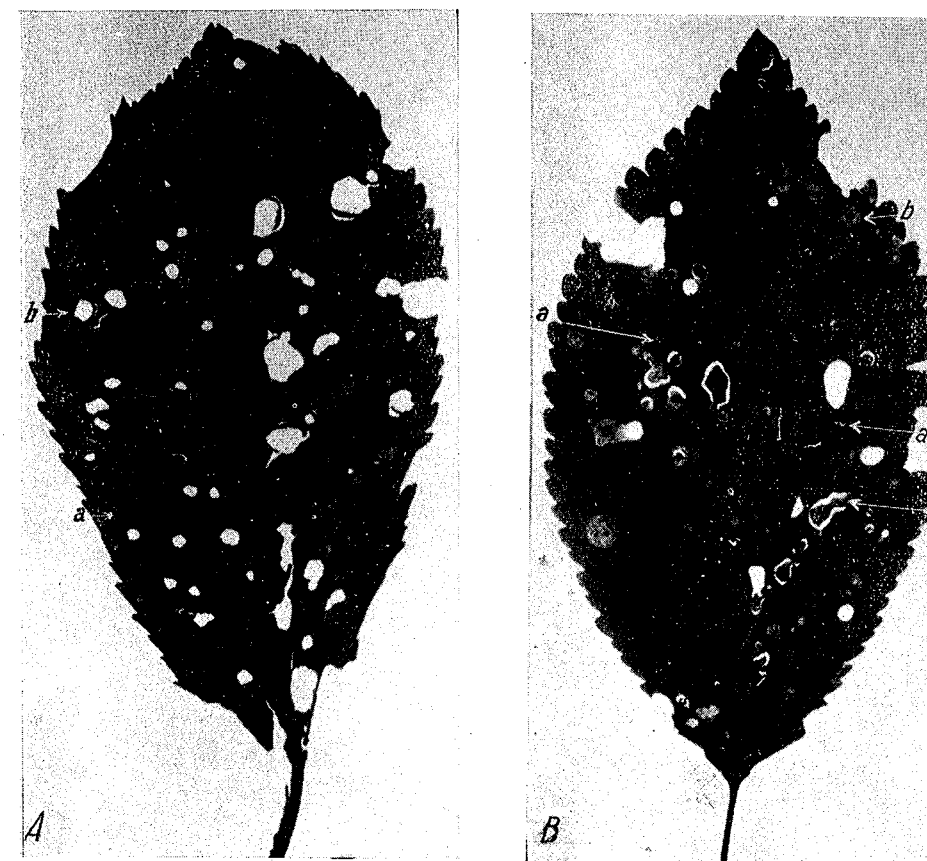
dezvoltarea este foarte bună, sub forma unui depozit bacterian de culoare albă-gălbui; culoarea feliei devine ușor brună-cenușie; lichidul de sub felie se tulbură intens și devine puternic fluorescent, fapt care nu s-a constatat în cazul speciei *Ps. syringae*, observată paralel. Pe felii de cartof cu NaCl 5% dezvoltarea este bună. În soluția Cohn se dezvoltă bine, mediul devenind omogen tulbure. Are o ușoară acțiune de transformare a nitrațiilor în nitrizi. Indol și H_2S nu produce. Scatol produce urme, iar amoniac produce evident. Amidonul este hidrolizat foarte puțin (numai în dreptul creșterii coloniei bacteriene). Catalaza este produsă în cantitate mică.

Produce acid pe xiloză, glucoză, fructoză, galactoză, manzoză, levuloză, glicerol și dextroză; nu produce acid pe lactoză, maltoză, rafinoză, inulină, dextrină, manită, salicină, adonită și inozită.

Este aerobă și are ca temperatură optimă 25–26°C, maximă în jur de 35°C și mortală peste 46°C. Rezultatele obținute de noi sunt aproape identice cu cele indicate pentru *Ps. mors-prunorum* de către J. W. Dowsen (7), C. Stapp (13), T. R. Sävulescu (12), Ch. Elliott (8), R. S. Breed (5) etc. Cele cîteva neconcordanțe: lichefierea gelatinei (noi am constatat o foarte slabă și înceată lichefiere), neftransformarea evidentă a nitrațiilor în nitrizi (noi am constatat o ușoară transformare a nitrațiilor în nitrizi) considerăm că nu sunt decit simple variații, fără a crea dificultăți în atribuirea organismului nostru bacteriei *Pseudomonas mors-prunorum*. După unii autori (12), (13), (15), laptele este transformat într-un cheag moale, iar amidonul nefhidrolizat, în timp ce alți autori (4), printre care și unii din cei menționați mai sus, arată că laptele poate fi transformat în cheag moale, însă poate rămîne și neschimbăt, iar amidonul nu este hidrolizat sau, în unele cazuri, poate fi slab hidrolizat. Rezultatele obținute de noi confirmă pe cele ale ultimilor autori citați.

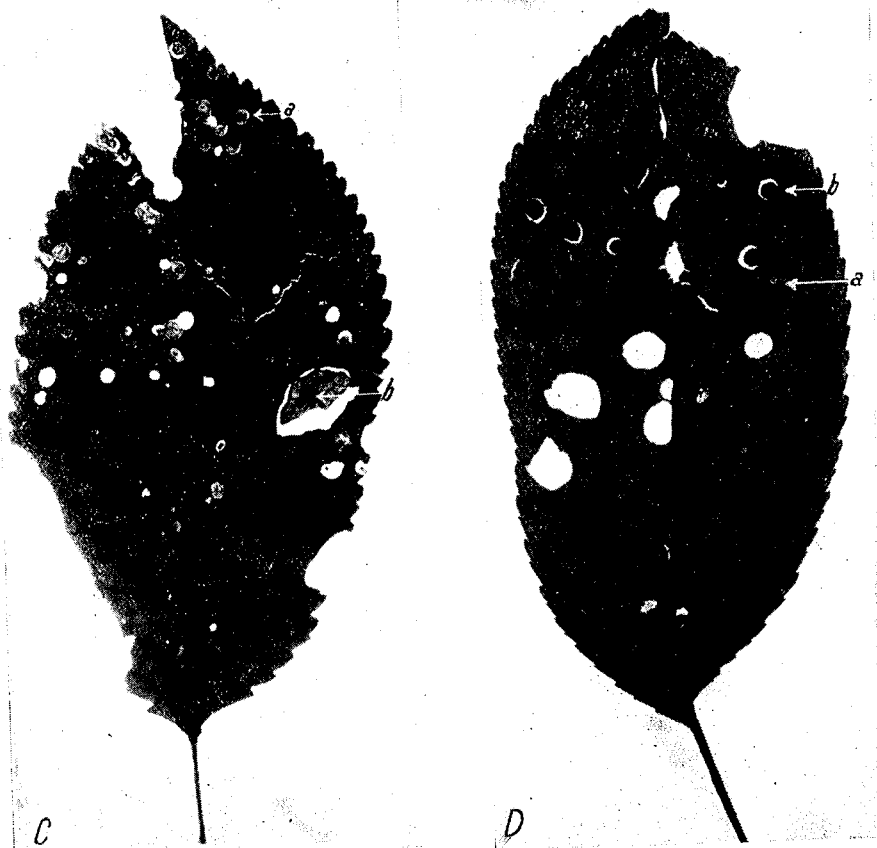
Pînă acum 5–6 ani, în lucrările diferenților autori (5), (7), (13) erau semnalate pentru *Ps. mors-prunorum* și *Ps. syringae* unele caractere deosebitoare, pe baza cărora aceste două bacterii erau privite ca specii distincte. În ultimii ani se poartă discuții pe marginea faptului că *Ps. mors-prunorum* nu trebuie să fie considerată ca specie independentă de *Ps. syringae*. Rezultatele cercetărilor din ultimii ani, printre care se numără în primul rînd cele ale lui H. Bortels și F. Geiring (4) publicate în 1960 și ale lui L. Lovrekovich, Z. Klement și J. W. Dowsen (10) publicate în 1963, sunt pentru includerea sușelor considerate ca *Ps. mors-prunorum* în specia *Ps. syringae*. Întrucît, pînă în prezent, cercetări în această direcție n-au fost întreprinse de noi, este dificil să ne formăm o opinie definitivă. Totuși, considerăm că avînd în vedere rezultatele autorilor citați, care nu întotdeauna sunt suficient de complexe, caracterul cuprinzător al speciei *Ps. syringae*, devenită în ultimul timp foarte mare, și faptul că și în alte grupe (genuri) de bacterii pot fi găsite situații similare (mai ales din punctul de vedere al structurii antigenice), includerea lui *Ps. mors-prunorum* în specia *Ps. syringae* ar mai trebui cercetată.

PLANSA I



A, Frunză de prun atacată de *Xanthomonas pruni* (a) și *Clasterosporium carpophilum* (b).
B, Frunză de prun atacată de *Xanthomonas pruni* (a), *Pseudomonas mors-prunorum* (b) și *Clasterosporium carpophilum* (c).

PLANŞA 1 (continuare)



C, Frunză de prun atacată de *Pseudomonas mors-prunorum* (a) și *Clasterosporium carpophilum* (b). D, Frunză de cireș atacată de *Xanthomonas pruni* (a) și *Clasterosporium carpophilum* (b).

CONCLUZII

1. În vara anului 1962 a fost semnalată, prima dată în țara noastră, o nouă bacterioză pentru simburoase, care pe aparatul foliar are ca simptom caracteristic ciuruirea frunzelor. În urma studiului efectuat, boala a fost atribuită bacteriei *Ps. mors-prunorum* Wormald, care în ultimii ani a fost inclusă de către unii autori în specia *Ps. syringae*.

2. Din cele două faze ale ciclului de evoluție a bolii, pînă în prezent a fost observată numai faza de vară, care se manifestă prin pătarea și ciuruirea frunzelor. Această observație nu exclude existența fazei de iarnă, ci numai nesemnalarea ei încă. De asemenea, boala a fost constată mai mult la prun și sporadic la piersic și cais. Pe cireș, specie mult citată în alte țări ca atacată de această bacterie, simptomele bolii n-au fost observate de noi.

3. Observațiile noastre au arătat că, între cei patru agenți fitopatogeni (*Cl. carpophilum*, *X. pruni*, *Ps. mors-prunorum* și *Gl. polystigmica*) semnalati pînă în prezent în țara noastră ca producînd ciuruirea frunzelor de simburoase, există posibilitatea diferențierii lor simptomatologice după caracteristicile petelor, produse de fiecare dintre ei pe frunze și fructe.

BIBLIOGRAFIE

1. BAUMAN G. u. KLINKOWSKI M., *Phytopat. Zeitsch.*, 1955, **25**, 1, 55–71.
2. BECERESCU D., BUCUR E., LAZĂR I. și VASILIU L., *Com. Acad. R.P.R.*, 1959, **IX**, 3, 253–258.
3. БОНДАРЦЕВ А., Сб. Бот. Сада, 1913, **13**.
4. BORTELS H. u. GEHRING F., *Nachrbl. Deutsch. Pflanzenschutzdienst*, 1960, **12**, 7–12.
5. BREED R. S., MURRAY E. G. D. a. SMITH N. R., *Bergey's Manual of determinative bacteriology*, Seventh edition Baltimore, 1957, 131.
6. BUCUR E., OLANGIU M., LAZĂR I. și POPA T., *Anal. I.C.A.R.*, seria C, 1960, **28**, 381–403.
7. DOWSON J. W., *Plant diseases due to bacteria*, Cambridge University Press, 1957, 107–110.
8. ELLIOTT CH., *Manual of bacterial plant pathogens*, Waltham Mas., U.S.A., 1951, 75.
9. ИЗРАИЛЬСКИЙ И.Б., *Бактериальные болезни растений*, Москва, 1960, 389–390.
10. LOVREKOVICH L., KLEMENT Z. a. DOWSON J. W., *Phytopat. Zeitsch.*, 1963, **47**, 1, 19–24.
11. SĂVULESCU TR. și colab., *Starea fitosanitară în România pe perioada 1928–1960*, București, 1929–1963.
12. SĂVULESCU TR., *Contribution à la classification des bactériacées phytopathogènes*, București, 1947.
13. STAPP C., *Bacterial plant pathogens*, Oxford University Press, 1961, 181.
14. TORALV RAMSFJELL, *Virussjukdommer på Fruktfræer*, in *Frukt og Baer*, Oslo, 1957, 64–76.
15. VIENNOT-BOURGIN L., *Les champignons parasites*, Masson et Cie., Paris, 1949, **2**.

Institutul de biologie „Traian Săvulescu”,
Laboratorul de virusuri și bacterii.

Primită în redacție la 18 ianuarie 1964.

Studii și cercetări de BIOLOGIE

SERIA BOTANICĂ

TOMUL 16

1964

INDEX ALFABETIC

Nr.	Pag.
6	547
5	413
3	249
6	557
2	99
3	221
6	571
2	151
4	341
3	243
1	31
4	281
1	3
3	187

ANITIÀ N., ILLE C. și VOICULESCU MARIA, Influența fosforului și azotului asupra sfeclei de zahăr
ATANASIU L., Despre unele fenomene fizioligice la cîteva conifere și cereale de toamnă, în decursul iernii
BALIF GABRIELA, GROU ELVIRA și PAȘOL P., Determinarea reziduurilor de DDT și HCH pe grâu
BACSIŞ GH., Contribuții la studiul biologic comparativ și comportării unor soiuri de bumbac
BĂRBAT I. și OCHEȘANU C., Rolul frunzei în reacția fotoperiodică. Expunerea minimă a frunzei la fotoperioada inductivă la *Perilla ocyoides* și *Chrysanthemum morifolium*
BÎNDIU C. și DONIȚĂ N., Aspecte metodice ale cercetărilor privind transpirația în ecologia vegetală
BONTEA VERA, Contribuții la studiul formării și dezvoltării picnidiiilor de *Phoma lingam* (Tode) Desm.
BORZA AL., *Iva xanthifolia* Nutt, în Maramureș
BORZA AL. și LUPȘA VIORICA, Despre *Chenopodium wolffii* Simk.
BUCUR ELENA și PLOAIE P. G., Cercetări biologice și morfologice asupra fagului bacteriei *Xanthomonas pruni* (E. F. Smith) Dow.
CELAN MARIA, Notă asupra algelor brune (*Phaeophyceae*) de pe litoralul românesc a Mării Negre
CHIRILEI H., ȘTEFAN V., DOROBANȚU N. și CURTICĂPEANU GEORGETA, Despre influența îngrășămintelor minerale organice și bacteriene asupra unor procese fizioligice la porumb (*Zea mays*).
CONSTANTINESCU GHERASIM, DONEAUD ANDREI și DRAGOMIR ELENA, Stabilirea valorii indicelui bioclimatic al viței de vie pentru principalele podgorii din R.P.R.
CONSTANTINESCU GHERASIM, Variația insușirilor agrobiologice la soiurile de viță roditoare — *Vitis vinifera sativa* — în funcție de condițiile eco-geo-geografice din Republica Populară Română și modul cum se reflectă în procesul de producție

- CONSTANTINESCU GHERASIM, MORLOVA IRINA, COSMIN SILVIA și MOLEA IOANA, Studiu citologic al genurilor *Vitis* și *Parthenocissus*
 CONSTANTINESCU GH. și DVORNIC V., Metoda microscopică de recunoaștere a fertilității polenului la viață de vie
 CSURÖS-KAPTÁLAN MARGARETA, Cercetări fitocenotice și ecologice în Valea Finătului (r. Tîrda)
 DIHORU GH., Caracterizarea geobotanică a rezervațiilor forestiere din Penteleu
 FABIAN-GALAN GEORGETA, Mersul intensității fotosintezei și al cantității unor substanțe din frunze în decursul zilei
 FAVOROV A. M. și VLOH V. G., Mediul și morfogeneza dirijată la hibrizii între soiurile de cartof
 GEORGESCU C. C., Cîteva considerații critice taxonomicice asupra noțiunii de specie la plantele superioare
 GEORGESCU C. C. și SANDA V., Considerații asupra modificărilor anatomic produse la frunzele de *Nardus stricta* L. prin tratare cu ierbicide și îngășaminte anorganice
 GEORGESCU C. C. și CIOBANU I. R., Cercetări asupra anatomiei pețioului la speciile *Quercus* aparținând serilor *Lanuginosae* și *Sessiliflorae* din R.P.R.
 GEORGESCU C. C., Noi considerații asupra speciei *Stigmella juniperina* (Georgescu et Badea) M. B. Ellis
 GRUIA L., Alge din solurile Masivului Bucegi
 HARING P., Contribuții la studiul evoluției pădurilor din districtul Cîmpia Someșului
 HODIȘAN ION, Noutăți floristice de pe teritoriul carstic al văii Feneșului (r. Alba, reg. Hunedoara)
 LAZĂR I. și BUCUR ELENA, Contribuții la studiul înegririi bazei tulipinii și putregaiului umed al tuberculelor de cartof în R.P.R.
 LAZĂR I., Un nou agent fitopatogen pentru R.P.R., care produce ciuruirea frunzelor de prun (*Pseudomonas mors-prunorum*)
 MIHAI GH., VITĂLARU GH. și CHIFU TH., Contribuții la studiul florei Dobrogei
 NYÁRÁDY E. I. și NYÁRÁDY A., Studiu asupra speciilor secției *Ovinæ* Fr. a genului *Festuca* din R.P. Româna (I)
 NYÁRÁDY E. I. și NYÁRÁDY A., Studiu asupra speciilor secției *Ovinæ* Fr. a genului *Festuca* din R.P. Româna (II)
 PARASCHIV M., Fotosinteză și respirația la hibrizi de viață de vie
 PASCOVSCHI S., Specii de *Azolla* în imprejurimile capitalei
 PÉTERFI LEONTIN STEFAN, Studiu asupra fitoplanctonului din Lacul fără fund din Alba-Iulia
 PETROVA V. I. și SKOLKA H., Dezvoltarea masivă a speciei *Nitzschia seriata* Cl. în apele Mării Negre
 POP EMIL, SORAN VIOREL, VINTILĂ ROZALIA, BOSICA IOAN și STIRBAN MIRCEA, Efectul tratamentului continuu cu d-glucoză asupra curentilor protoplasmatici. II. Acțiunea unor relații izo- și hipertonice în geneza și desfașurarea mișcării protoplasmaticice la *Allium cepa*

- POP EMIL și DIACOMEASA BĂLUȚĂ, Analiza palinologică a unui profil de turbă glaciara din raionul Zălau
 POP E., BOȘCAIU N., RĂȚIU FLAVIA, DIACOMEASA B. și TEODORU ARIANA, Efectele precipitațiilor atmosferice asupra concentrațiilor de polen și spori din aeroplanton
 POP E., SORAN V., VINTILĂ ROZALIA și STIRBAN M., Cercetări statistice privind mișcarea protoplasmei din celulele rizodermale de diferite dimensiuni
 POPESCU ION, Cercetări asupra ritmicității diurne a unor fenomene fizioligice la unele plante de cultură și arbusti fructiferi
 POPESCU-ZELETIN I. și DISSESCU R., Structura arboretelor virgine din Penteleu
 PRIADCENCU AL., BORDEIANU T., GRINDVALD CLARA, ȘTEFAN N., BELDIE AL., ANGHEL GH., CEAPOIU N., CĂRĂUȘU D. și COCIU V., Conceptia despre specii reflectată în lucrările românești privind plantele de cultură
 RĂDULESCU EUG. și PERSECĂ E., Asupra biologiei ciupercii *Pleospora papaveracea* (De Not.) Sacc.
 RĂDULESCU E., NEGRU AL. și DOGEA E., Cîteva specii de *Ascochyta* și *Septoria* noi pentru micoflora R.P.R.
 SANDA V., CIOBANU I. R. și TUTUNARU V., Cercetări floristice asupra Dealului Istrița
 SANDU-VILLE C., LAZĂR AL. și HATMANU M., Noi contribuții la micromicetele din R.P.R.
 SĂLĂGEANU N., Despre relația dintre starea vie a protoplasmei și fotosinteză
 SĂLĂGEANU N., Contribuții la metoda curentului de aer pentru determinarea pe teren a intensității fotosintezei
 ȘERBĂNEȘCU-JITARIU GABRIELA, *Brachisincarpia* la *Butomus umbellatus* L.
 TĂNASE VIORICA, Mersul respirației și dinamica zaharurilor la cîteva soiuri de fructe în decursul dezvoltării lor pe pom
 TĂNASE VIORICA, Randamentul fotosintezei la unele plante de cultură
 TETEREVNIKOVA-BABAIAН D. N. și SIMONIAN S. A., Specii noi de ciuperci neperfecte din R.S.S. Armeană
 ZAHARIADI C., Taxonomia cîtorva fanerogame din flora R.P.R.

Nr.	Pag.
4	259
5	401
6	503
4	289
5	365
2	153
1	17
5	433
6	477
4	295
2	91
6	513
4	275
3	229
6	535
5	445
3	205

Revista „Studii și cercetări de biologie—Seria botanică” publică lucrări originale din toate domeniile biologiei vegetale: morfologie, sistematică, geobotanică, ecologie, fiziologie, genetică și microbiologie — fitopatologie. Sumarele revistei sunt completate cu alte rubrici ca: 1. *Viața științifică*, ce cuprinde unele manifestări științifice din domeniul biologiei vegetale, ca simpozioane, consfătuiri, schimburi de experiență între cercetătorii români și cei străini etc. 2. *Recenzii*, ale unor lucrări de specialitate apărute în țară și peste hotare.

NOTĂ CĂTRE AUTORI

Autorii sunt rugați să înainteze articolele, notele și recenziile dactilografiate la două rânduri. Tabelele vor fi dactilografiate pe pagini separate, iar diagramele vor fi executate în tuș, pe hîrtie de calc. Tabelele și ilustrațiile vor fi numerotate cu cifre arabe. Figurile din planșe vor fi numerotate în continuarea celor din text. Se va evita repetarea acclorași date în text, tabele și grafice. Explicația figurilor va fi dactilografiată pe pagină separată. Citarea bibliografiei în text se va face în ordinea numerelor. Numele autorilor va fi precedat de inițială. Titlurile revistelor citate în bibliografie vor fi prescurtate conform uzanțelor internaționale.

Autorii au dreptul la un număr de 50 de extrase, gratuit.

Responsabilitatea asupra conținutului articolelor revine în exclusivitate autorilor.

Corespondența privind manuscrisele, schimbul de publicații etc. se va trimite pe adresa comitetului de redacție, Splaiul Independenței nr. 296, București.